



MCV18E
数据手册

18 引脚闪存单片机

请注意以下有关 Microchip 器件代码保护功能的要点:

- Microchip 的产品均达到 Microchip 数据手册中所述的技术指标。
- Microchip 确信: 在正常使用的情况下, Microchip 系列产品是当今市场上同类产品中 safest 的产品之一。
- 目前, 仍存在着恶意、甚至是非法破坏代码保护功能的行为。就我们所知, 所有这些行为都不是以 Microchip 数据手册中规定的操作规范来使用 Microchip 产品的。这样做的人极可能侵犯了知识产权。
- Microchip 愿与那些注重代码完整性的客户合作。
- Microchip 或任何其他半导体厂商均无法保证其代码的安全性。代码保护并不意味着我们保证产品是“牢不可破”的。

代码保护功能处于持续发展中。Microchip 承诺将不断改进产品的代码保护功能。任何试图破坏 Microchip 代码保护功能的行为均可视为违反了《数字器件千年版权法案 (Digital Millennium Copyright Act)》。如果这种行为导致他人在未经授权的情况下, 能访问您的软件或其他受版权保护的成果, 您有权依据该法案提起诉讼, 从而制止这种行为。

提供本文档的中文版本仅为为了便于理解。请勿忽视文档中包含的英文部分, 因为其中提供了有关 Microchip 产品性能和使用情况的有用信息。Microchip Technology Inc. 及其分公司和相关公司、各级主管与员工及事务代理机构对译文中可能存在的任何差错不承担任何责任。建议参考 Microchip Technology Inc. 的英文原版文档。

本出版物中所述的器件应用信息及其他类似内容仅为为您提供便利, 它们可能由更新之信息所替代。确保应用符合技术规范, 是您自身应负的责任。Microchip 对这些信息不作任何明示或暗示、书面或口头、法定或其他形式的声明或担保, 包括但不限于针对其使用情况、质量、性能、适销性或特定用途的适用性的声明或担保。Microchip 对因这些信息及使用这些信息而引起的后果不承担任何责任。如果将 Microchip 器件用于生命维持和 / 或生命安全应用, 一切风险由买方自负。买方同意在由此引发任何一切伤害、索赔、诉讼或费用时, 会维护和保障 Microchip 免于承担法律责任, 并加以赔偿。在 Microchip 知识产权保护下, 不得暗或以其他方式转让任何许可证。

商标

Microchip 的名称和徽标组合、Microchip 徽标、dsPIC、KEELOQ、KEELOQ 徽标、MPLAB、PIC、PICmicro、PICSTART、rfPIC 和 UNI/O 均为 Microchip Technology Inc. 在美国和其他国家或地区的注册商标。

FilterLab、Hampshire、HI-TECH C、Linear Active Thermistor、MXDEV、MXLAB、SEEVAL 和 The Embedded Control Solutions Company 均为 Microchip Technology Inc. 在美国的注册商标。

Analog-for-the-Digital Age、Application Maestro、CodeGuard、dsPICDEM、dsPICDEM.net、dsPICworks、dsSPEAK、ECAN、ECONOMONITOR、FanSense、HI-TIDE、In-Circuit Serial Programming、ICSP、Mindi、MiWi、MPASM、MPLAB Certified 徽标、MPLIB、MPLINK、mTouch、Octopus、Omniscient Code Generation、PICC、PICC-18、PICDEM、PICDEM.net、PICKIT、PICKITtail、PIC³² 徽标、REAL ICE、rfLAB、Select Mode、Total Endurance、TSHARC、UniWinDriver、WiperLock 和 ZENA 均为 Microchip Technology Inc. 在美国和其他国家或地区的商标。

SQTP 是 Microchip Technology Inc. 在美国的服务标记。

在此提及的所有其他商标均为各持有公司所有。

© 2009, Microchip Technology Inc. 版权所有。

**QUALITY MANAGEMENT SYSTEM
CERTIFIED BY DNV
== ISO/TS 16949:2002 ==**

Microchip 位于美国亚利桑那州 Chandler 和 Tempe 与位于俄勒冈州 Gresham 的全球总部、设计和晶圆生产厂及位于美国加利福尼亚州和印度的设计中心均通过了 ISO/TS-16949:2002 认证。公司在 PIC[®] MCU 与 dsPIC[®] DSC、KEELOQ[®] 跳码器件、串行 EEPROM、单片机外设、非易失性存储器和模拟产品方面的质量体系流程均符合 ISO/TS-16949:2002。此外, Microchip 在开发系统的设计和生方面的质量体系也已通过了 ISO 9001:2000 认证。

18 引脚闪存单片机

单片机内核特性:

- 高性能 RISC CPU
- 仅需学习 35 条单字指令
 - 除程序跳转指令是双周期指令外，所有指令都是单周期指令
- 工作速度: DC – 20 MHz 时钟输入
DC – 200 ns 指令周期
- 中断能力 (最多 7 个内部 / 外部中断源)
- 8 级深硬件堆栈
- 直接、间接和相对寻址模式

单片机特性:

- 上电复位 (Power-on Reset, POR)
- 上电延时定时器 (Power-up Timer, PWRT) 和振荡器起振定时器 (Oscillator Start-up Timer, OST)
- 看门狗定时器 (Watchdog Timer, WDT), 具有自己的片上 RC 振荡器, 能够可靠工作
- 双电平欠压复位电路
 - 2.5 V_{BOR} (典型值)
 - 4.0 V_{BOR} (典型值)
- 可编程代码保护
- 节能休眠模式
- 可选的振荡器选项
- 全静态设计
- 在线串行编程 (In-Circuit Serial Programming™, ICSP™)

CMOS 技术:

- 宽工作电压范围:
 - 工业级: 5.5V
- 高灌 / 拉电流: 25/25 mA
- 宽温度范围:
 - 工业级: -40°C 至 85°C

低功耗特性:

- 待机电流:
 - 2.4V 时最小值为 125 nA
- 工作电流:
 - 32 kHz、2.4V 时最小值为 17.5 μA
 - 1 MHz、2.4V 时最小值为 150 μA
- 看门狗定时器电流:
 - 2.4V 时最小值为 1.25 μA
- Timer1 振荡器电流:
 - 32 kHz、2.4V 时最小值为 3.75 μA

外设特性:

- Timer0: 带有 8 位预分频器的 8 位定时器 / 计数器
- Timer1: 带有预分频器的 16 位定时器 / 计数器, 能通过外部晶振 / 时钟在休眠期间进行递增
- Timer2: 带有 8 位周期寄存器、预分频器和后分频器的 8 位定时器 / 计数器
- 增强型捕捉 / 比较 / PWM 模块:
 - 捕捉模块为 16 位, 最大分辨率为 12.5 ns
 - 比较模块为 16 位, 最大分辨率为 200 ns
 - PWM 模块最大分辨率为 10 位
- 增强型 PWM:
 - 单 PWM、半桥和全桥模式
 - 数字可编程死区延时
 - 自动关闭 / 重启
- 8 位多通道模数转换器
- 可单独进行方向控制的 13 个 I/O 引脚
- PORTB 上的可编程弱上拉

| 器件 | 存储器 | | I/O | 8 位 A/D (通道) | 8/16 位定时器 | PWM (输出) | V _{DD} 范围 |
|--------|-----------|---------|-----|--------------|-----------|----------|--------------------|
| | 闪存 | 数据 | | | | | |
| MCV18E | 2048 x 14 | 128 x 8 | 13 | 4 | 2/1 | 1/2/4 | 5.5V |

MCV18E

18 引脚图

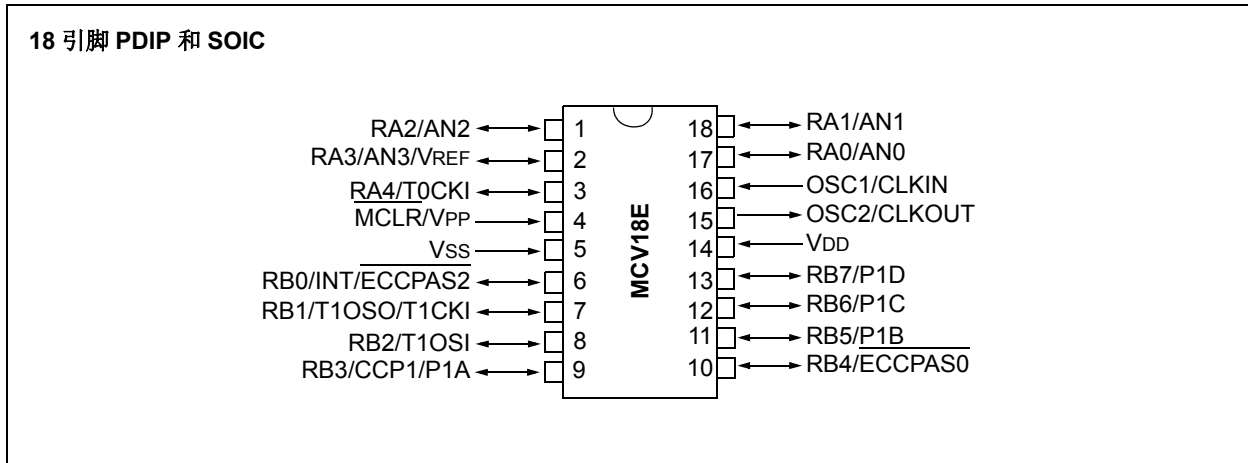


表 1: 18 引脚 PDIP 和 SOIC 汇总

| I/O | 引脚 | 模拟 | ECCP | 定时器 | 中断 | 上拉 | 基本功能 |
|-----|----|----------|----------|-------------|-----|----|-------------|
| RA0 | 17 | AN0 | — | — | — | — | — |
| RA1 | 18 | AN1 | — | — | — | — | — |
| RA2 | 1 | AN2 | — | — | — | — | — |
| RA3 | 2 | AN3/VREF | — | — | — | — | — |
| RA4 | 3 | — | — | T0CKI | — | — | — |
| RB0 | 6 | — | ECCPAS2 | — | INT | 有 | — |
| RB1 | 7 | — | — | T1OSO/T1CKI | — | 有 | — |
| RB2 | 8 | — | — | T1OSI | — | 有 | — |
| RB3 | 9 | — | CCP1/P1A | — | — | 有 | — |
| RB4 | 10 | — | ECCPAS0 | — | IOC | 有 | — |
| RB5 | 11 | — | P1B | — | IOC | 有 | — |
| RB6 | 12 | — | P1C | — | IOC | 有 | ICSPCLK |
| RB7 | 13 | — | P1D | — | IOC | 有 | ICSPDAT |
| — | 14 | — | — | — | — | — | VDD |
| — | 5 | — | — | — | — | — | Vss |
| — | 4 | — | — | — | — | — | MCLR/VPP |
| — | 16 | — | — | — | — | — | OSC1/CLKIN |
| — | 15 | — | — | — | — | — | OSC2/CLKOUT |

目录

| | |
|-------------------------------|-----|
| 1.0 器件概述 | 7 |
| 2.0 存储器构成 | 9 |
| 3.0 I/O 端口 | 21 |
| 4.0 Timer0 模块 | 29 |
| 5.0 带门控的 Timer1 模块 | 33 |
| 6.0 Timer2 模块 | 39 |
| 7.0 模数转换器 (ADC) 模块 | 41 |
| 8.0 增强型捕捉 / 比较 / PWM 模块 | 51 |
| 9.0 CPU 的特殊功能 | 65 |
| 10.0 电气特性 | 81 |
| 11.0 封装信息 | 95 |
| 附录 A: 版本历史 | 99 |
| 索引 | 101 |
| 产品标识体系 | 107 |

致客户

我们旨在提供最佳文档供客户正确使用 Microchip 产品。为此，我们将不断改进出版物的内容和质量，使之更好地满足您的要求。出版物的质量将随新文档及更新版本的推出而得到提升。

如果您对本出版物有任何问题和建议，请通过电子邮件联系我公司 TRC 经理，电子邮件地址为 CTRC@microchip.com，或将本数据手册后附的《读者反馈表》传真到 86-21-5407 5066。我们期待您的反馈。

最新数据手册

欲获得本数据手册的最新版本，请与当地的 Microchip 销售办事处联系。

<http://www.microchip.com>

查看数据手册中任意一页下边角处的文献编号即可确定其版本。文献编号中数字串后的字母是版本号，例如：DS30000A 是 DS30000 的 A 版本。

客户通知系统

欲及时获知 Microchip 产品的最新信息，请到我公司网站 www.microchip.com 上注册。

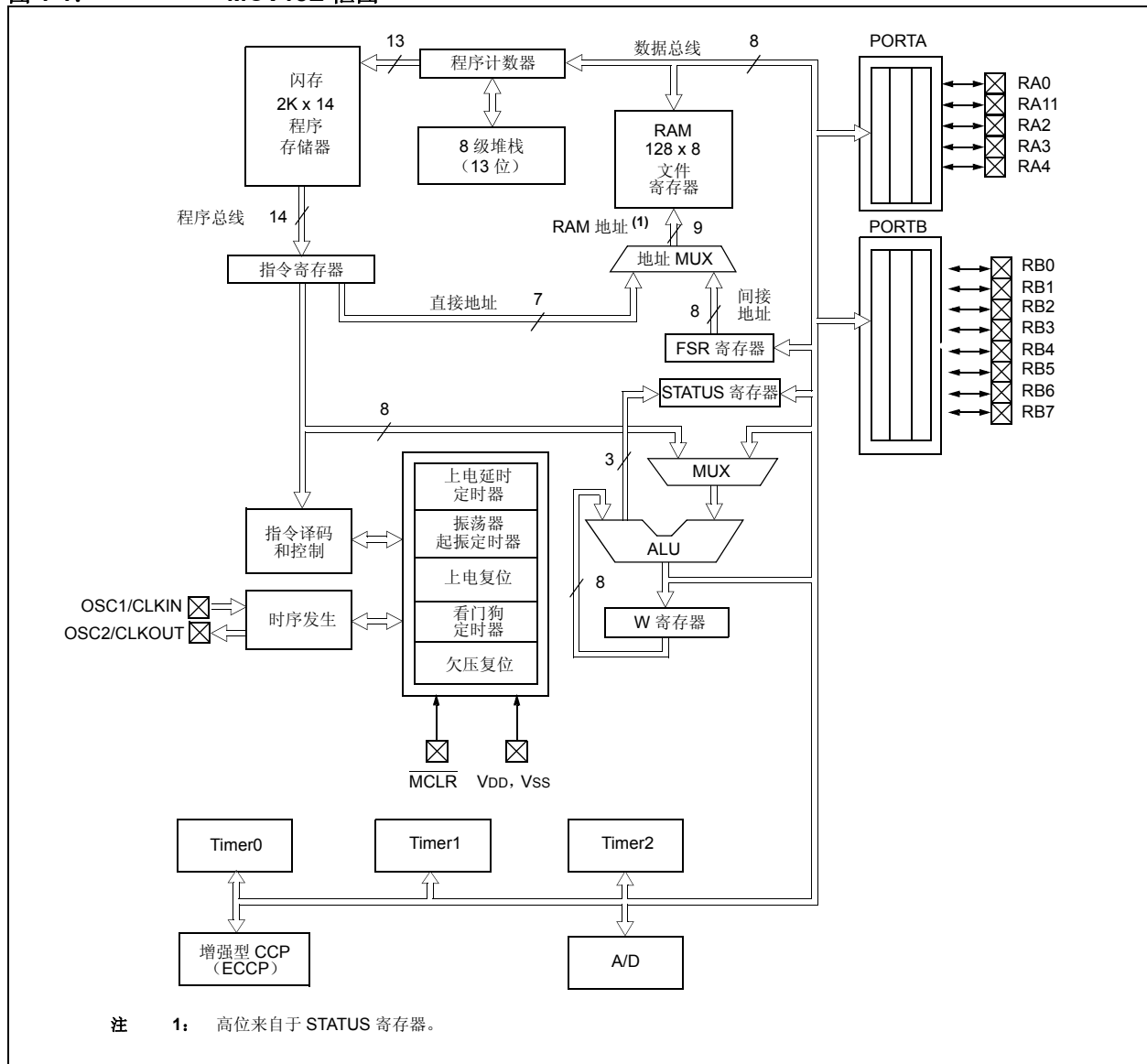
MCV18E

注:

1.0 器件概述

本文档包含针对 MCV18E 器件的具体信息。图 1-1 给出了 MCV18E 器件的框图。引脚配置见表 1-1。

图 1-1: MCV18E 框图



MCV18E

表 1-1: MCV18E 引脚配置说明

| 名称 | 功能 | 输入类型 | 输出类型 | 说明 |
|-----------------|---------|------|------|---|
| MCLR/VPP | MCLR | ST | — | 主复位输入。此引脚为低电平有效的器件复位输入端。 |
| | VPP | P | — | 编程电压输入 |
| OSC1/CLKIN | OSC1 | XTAL | — | 晶振输入 |
| | CLKIN | CMOS | — | 外部时钟源输入 |
| | CLKIN | ST | — | RC 振荡器模式 |
| OSC2/CLKOUT | OSC2 | XTAL | — | 晶振输出。在晶振模式下，该引脚与晶振或谐振器相连。 |
| | CLKOUT | — | CMOS | 在 RC 模式下，OSC2 引脚输出 CLKOUT 信号，其频率是 OSC1 引脚上信号频率的 1/4，该频率等于指令周期的倒数。 |
| RA0/AN0 | RA0 | TTL | CMOS | 双向 I/O |
| | AN0 | AN | — | 模拟通道 0 输入 |
| RA1/AN1 | RA1 | TTL | CMOS | 双向 I/O |
| | AN1 | AN | — | 模拟通道 1 输入 |
| RA2/AN2 | RA2 | TTL | CMOS | 双向 I/O |
| | AN2 | AN | — | 模拟通道 2 输入 |
| RA3/AN3/VREF | RA3 | TTL | CMOS | 双向 I/O |
| | AN3 | AN | — | 模拟通道 3 输入 |
| | VREF | AN | — | A/D 参考电压输入 |
| RA4/T0CKI | RA4 | ST | OD | 双向 I/O。当配置为输出时为漏极开路。 |
| | T0CKI | ST | — | Timer0 外部时钟输入 |
| RB0/INT/ECCPAS2 | RB0 | TTL | CMOS | 双向 I/O。可编程弱上拉。 |
| | INT | ST | — | 外部中断 |
| | ECCPAS2 | ST | — | ECCP 自动关闭引脚 |
| RB1/T1OSO/T1CKI | RB1 | TTL | CMOS | 双向 I/O。可编程弱上拉。 |
| | T1OSO | — | XTAL | Timer1 振荡器输出。在振荡器模式下，该引脚与晶振相连。 |
| | T1CKI | ST | — | Timer1 外部时钟输入 |
| RB2/T1OSI | RB2 | TTL | CMOS | 双向 I/O。可编程弱上拉。 |
| | T1OSI | XTAL | — | Timer1 振荡器输入。在振荡器模式下，该引脚与晶振相连。 |
| RB3/CCP1/P1A | RB3 | TTL | CMOS | 双向 I/O。可编程弱上拉。 |
| | CCP1 | ST | CMOS | 捕捉 1 输入 / 比较 1 输出 / PWM1 输出。 |
| | P1A | — | CMOS | PWM P1A 输出 |
| RB4/ECCPAS0 | RB4 | TTL | CMOS | 双向 I/O。可编程弱上拉。电平变化中断。 |
| | ECCPAS0 | ST | — | ECCP 自动关闭引脚 |
| RB5/P1B | RB5 | TTL | CMOS | 双向 I/O。可编程弱上拉。电平变化中断。 |
| | P1B | — | CMOS | PWM P1B 输出 |
| RB6/P1C | RB6 | TTL | CMOS | 双向 I/O。可编程弱上拉。电平变化中断。用作 ICSP™ 编程时钟时为 ST 输入。 |
| | P1C | — | CMOS | PWM P1C 输出 |
| RB7/P1D | RB7 | TTL | CMOS | 双向 I/O。可编程弱上拉。电平变化中断。用作 ICSP™ 编程数据时为 ST 输入。 |
| | P1D | — | CMOS | PWM P1D 输出 |
| Vss | Vss | P | — | 逻辑和 I/O 引脚的参考地。 |
| VDD | VDD | P | — | 逻辑和 I/O 引脚的正电源。 |

图注: I = 输入 AN = 模拟输入或输出 OD = 漏极开路
 O = 输出 TTL = TTL 兼容输入 ST = CMOS 电平的施密特触发器输入
 P = 电源 XTAL = 晶振 CMOS = CMOS 兼容输入或输出

2.0 存储器构成

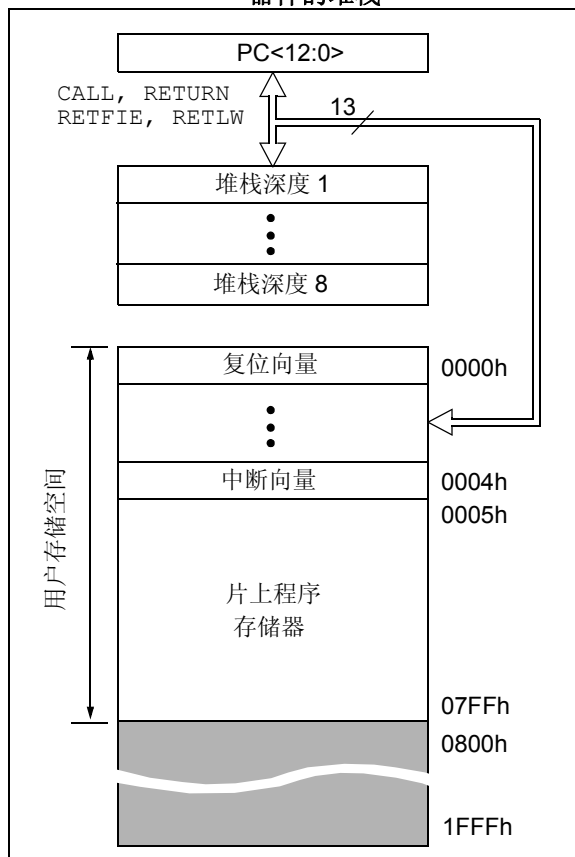
MCV18E 器件中有两个存储块。每个存储块（程序存储器和数据存储器）都有自己的总线，因此可以同时访问它们。

2.1 程序存储器构成

MCV18E 器件具有一个 13 位程序计数器（Program Counter, PC），能够寻址 8K x 14 的程序存储空间。MCV18E 器件具有 2K x 14 字的程序存储器。访问上述物理实现地址之外的存储单元，将会导致循环返回到有效地址空间。

复位向量位于 0000h，而中断向量位于 0004h。

图 2-1: 程序存储器映射和 MCV18E 器件的堆栈



2.2 数据存储器构成

数据存储器被划分为多个存储区，每个存储区由通用寄存器（General Purpose Register, GPR）和特殊功能寄存器（Special Function Register, SFR）组成。STATUS 寄存器的 RP1 和 RP0 位是存储区选择位。

| RP<1:0> ⁽¹⁾ (状态位 <6:5>) | 存储区 |
|---------------------------------------|------------------|
| 00 | 0 |
| 01 | 1 |
| 10 | 2 ⁽²⁾ |
| 11 | 3 ⁽²⁾ |

注 1: 保持状态位 bit 6 清零以确保与未来产品向上兼容。

注 2: 未实现。

每个存储区的容量扩展到 7Fh（128 字节）。每个存储区的低地址单元保留为特殊功能寄存器。在特殊功能寄存器之上为通用寄存器，以静态 RAM 的形式实现。所有已实现的存储区均包含特殊功能寄存器。Bank 1 中 GPR 空间的高 16 字节和一些使用频率较高的特殊功能寄存器被映射到 Bank 0 中，以节省代码和提高访问速度。

MCV18E

2.2.1 通用寄存器文件

寄存器文件可以直接访问，或通过文件选择寄存器（File Select Register, FSR）间接访问（第 2.5 节“间接寻址、INDF 和 FSR 寄存器”）。

图 2-2: 寄存器文件映射

| 文件地址 | | | 文件地址 |
|------|---------------------|-----------------------|------|
| 00h | INDF ⁽¹⁾ | INDF ⁽¹⁾ | 80h |
| 01h | TMR0 | OPTION_REG | 81h |
| 02h | PCL | PCL | 82h |
| 03h | STATUS | STATUS | 83h |
| 04h | FSR | FSR | 84h |
| 05h | PORTA | TRISA | 85h |
| 06h | PORTB | TRISB | 86h |
| 07h | | | 87h |
| 08h | | | 88h |
| 09h | | | 89h |
| 0Ah | PCLATH | PCLATH | 8Ah |
| 0Bh | INTCON | INTCON | 8Bh |
| 0Ch | PIR1 | PIE1 | 8Ch |
| 0Dh | | | 8Dh |
| 0Eh | TMR1L | PCON | 8Eh |
| 0Fh | TMR1H | | 8Fh |
| 10h | T1CON | | 90h |
| 11h | TMR2 | | 91h |
| 12h | T2CON | PR2 | 92h |
| 13h | | | 93h |
| 14h | | | 94h |
| 15h | CCPR1L | | 95h |
| 16h | CCPR1H | | 96h |
| 17h | CCP1CON | | 97h |
| 18h | PWM1CON | | 98h |
| 19h | ECCPAS | | 99h |
| 1Ah | | | 9Ah |
| 1Bh | | | 9Bh |
| 1Ch | | | 9Ch |
| 1Dh | | | 9Dh |
| 1Eh | ADRES | | 9Eh |
| 1Fh | ADCON0 | ADCON1 | 9Fh |
| 20h | 通用寄存器 | 通用寄存器 32 字节 | A0h |
| | 80 字节 | | BFh |
| | | | C0h |
| 6Fh | | | EFh |
| 70h | 16 字节 | 快速操作 存储区 70-7Fh | F0h |
| 7Fh | | | FFh |
| | Bank 0 | Bank 1 | |

未实现的数据存储单元，读为 0。
注 1: 不是物理寄存器。

2.2.2 特殊功能寄存器

特殊功能寄存器是 CPU 和外设模块用来控制所需器件操作的寄存器。这些寄存器以静态 RAM 的形式实现。表 2-1 中列出了这些寄存器。

特殊功能寄存器可分为两组：内核（CPU）和外设。本节详细说明与内核功能相关的特殊功能寄存器。与外设功能操作相关的特殊功能寄存器将在相应的外设功能章节中详细说明。

表 2-1: 特殊功能寄存器汇总, BANK 0

| 地址 | 名称 | Bit 7 | Bit 6 | Bit 5 | Bit 4 | Bit 3 | Bit 2 | Bit 1 | Bit 0 | POR/BOR 时的值 | 所在页 |
|---------|-------------------------|--------------------------------------|--------------------|------------------|-----------------|-----------------|-----------------------|------------------|---------|-------------|-----|
| 00h | INDF ⁽¹⁾ | 通过用 FSR 的内容寻址这个存储单元来寻址数据存储器（不是物理寄存器） | | | | | | | | 0000 0000 | 20 |
| 01h | TMR0 | Timer0 模块寄存器 | | | | | | | | xxxx xxxx | 29 |
| 02h | PCL ⁽¹⁾ | 程序计数器（PC）的最低有效字节 | | | | | | | | 0000 0000 | 19 |
| 03h | STATUS ⁽¹⁾ | IRP ⁽⁴⁾ | RP1 ⁽⁴⁾ | RP0 | \overline{TO} | \overline{PD} | Z | DC | C | 0001 1xxx | 13 |
| 04h | FSR ⁽¹⁾ | 间接数据存储器地址指针 | | | | | | | | xxxx xxxx | 20 |
| 05h | PORTA ^(5,6) | — | — | — ⁽⁷⁾ | RA4 | RA3 | RA2 | RA1 | RA0 | ---x 0000 | 21 |
| 06h | PORTB ^(5,6) | RB7 | RB6 | RB5 | RB4 | RB3 | RB2 | RB1 | RB0 | xxxx xxxx | 23 |
| 07h-09h | — | 未实现 | | | | | | | | — | |
| 0Ah | PCLATH ^(1,2) | — | — | — | 程序计数器高 5 位的写缓冲区 | | | | | ---0 0000 | 19 |
| 0Bh | INTCON ⁽¹⁾ | GIE | PEIE | TOIE | INTE | RBIE | T0IF | INTF | RBIF | 0000 000x | 15 |
| 0Ch | PIR1 | — | ADIF | — | — | — | CCP1IF | TMR2IF | TMR1IF | -0-- -000 | 17 |
| 0Dh | — | 未实现 | | | | | | | | — | |
| 0Eh | TMR1L | 16 位 TMR1 寄存器最低有效字节的保持寄存器 | | | | | | | | xxxx xxxx | 33 |
| 0Fh | TMR1H | 16 位 TMR1 寄存器最高有效字节的保持寄存器 | | | | | | | | xxxx xxxx | 33 |
| 10h | T1CON | — | — | T1CKPS1 | T1CKPS0 | T1OSCEN | $\overline{T1SYNC}$ | TMR1CS | TMR1ON | --00 0000 | 36 |
| 11h | TMR2 | Timer2 模块寄存器 | | | | | | | | 0000 0000 | 39 |
| 12h | T2CON | — | TOUTPS3 | TOUTPS2 | TOUTPS1 | TOUTPS0 | TMR2ON | T2CKPS1 | T2CKPS0 | -000 0000 | 40 |
| 13h-14h | — | 未实现 | | | | | | | | — | |
| 15h | CCPR1L | 捕捉 / 比较 / PWM 寄存器 1 (LSB) | | | | | | | | xxxx xxxx | 52 |
| 16h | CCPR1H | 捕捉 / 比较 / PWM 寄存器 1 (MSB) | | | | | | | | xxxx xxxx | 52 |
| 17h | CCP1CON | P1M1 | P1M0 | DC1B1 | DC1B0 | CCP1M3 | CCP1M2 | CCP1M1 | CCP1M0 | 0000 0000 | 52 |
| 18h | PWM1CON | PRSEN | PDC6 | PDC5 | PDC4 | PDC3 | PDC2 | PDC1 | PDC0 | 0000 0000 | 64 |
| 19h | ECCPAS | ECCPASE | ECCPAS2 | — ⁽⁸⁾ | ECCPAS0 | PSSAC1 | PSSAC0 | PSSBD1 | PSSBD0 | 00-0 0000 | 61 |
| 1Ah-1Dh | — | 未实现 | | | | | | | | — | |
| 1Eh | ADRES | A/D 结果寄存器 | | | | | | | | xxxx xxxx | 41 |
| 1Fh | ADCON0 | ADCS1 | ADCS0 | CHS2 | CHS1 | CHS0 | GO/ \overline{DONE} | — ⁽⁷⁾ | ADON | 0000 0000 | 45 |

图注: x = 未知, u = 不变, q = 值取决于具体条件, — = 未实现 (读为 0)。阴影单元未实现, 读为 0。

- 注**
- 1: 可以从任何存储区访问这些寄存器。
 - 2: 不能直接访问程序计数器的高字节。PCLATH 是 PC<12:8> 的保持寄存器, 其内容被传送到程序计数器的高字节。
 - 3: 其他 (非上电) 复位包括: 通过 MCLR 的外部复位和看门狗定时器复位。
 - 4: IRP 和 RP1 位保留。始终保持这两位清零。
 - 5: 发生任何器件复位时, 这些引脚都被配置为输入。
 - 6: 这是将保存在端口输出锁存器中的值。
 - 7: 保留位, 不要使用。
 - 8: MCV18E 器件上不使用 ECCPAS1 位。

MCV18E

表 2-2: 特殊功能寄存器汇总, BANK 1

| 地址 | 名称 | Bit 7 | Bit 6 | Bit 5 | Bit 4 | Bit 3 | Bit 2 | Bit 1 | Bit 0 | POR/BOR 时的值 | 所在页 |
|---------|-------------------------|---------------------------------------|--------------------|------------------|-----------------|------------|--------|--------|-------------|-------------|--------|
| 80h | INDF ⁽¹⁾ | 通过用 FSR 的内容寻址这个存储单元来寻址数据存储器 (不是物理寄存器) | | | | | | | | 0000 0000 | 20 |
| 81h | OPTION_REG | RBP \bar{U} | INTEDG | T0CS | T0SE | PSA | PS2 | PS1 | PS0 | 1111 1111 | 14 |
| 82h | PCL ⁽¹⁾ | 程序计数器 (PC) 的最低有效字节 | | | | | | | | 0000 0000 | 19 |
| 83h | STATUS ⁽¹⁾ | IRP ⁽⁴⁾ | RP1 ⁽⁴⁾ | RP0 | \bar{TO} | \bar{PD} | Z | DC | C | 0001 1xxx | 13 |
| 84h | FSR ⁽¹⁾ | 间接数据存储器地址指针 | | | | | | | | xxxx xxxx | 20 |
| 85h | TRISA | — | — | — ⁽⁷⁾ | TRISA4 | TRISA3 | TRISA2 | TRISA1 | TRISA0 | ---1 1111 | 21 |
| 86h | TRISB | TRISB7 | TRISB6 | TRISB5 | TRISB4 | TRISB3 | TRISB2 | TRISB1 | TRISB0 | 1111 1111 | 23 |
| 87h-89h | — | 未实现 | | | | | | | | — | |
| 8Ah | PCLATH ^(1,2) | — | — | — | 程序计数器高 5 位的写缓冲区 | | | | --- | 0000 | 19 |
| 8Bh | INTCON ⁽¹⁾ | GIE | PEIE | TOIE | INTE | RBIE | TOIF | INTF | RBF | 0000 000x | 15 |
| 8Ch | PIE1 | — | ADIE | — | — | — | CCP1IE | TMR2IE | TMR1IE | -0-- -000 | 16 |
| 8Dh | — | 未实现 | | | | | | | | — | |
| 8Eh | PCON | — | — | — | — | — | — | POR | \bar{BOR} | ---- -qq | 16 |
| 8Fh-91h | — | 未实现 | | | | | | | | — | |
| 92h | PR2 | Timer2 周期寄存器 | | | | | | | | 1111 1111 | 39, 56 |
| 93h-9Eh | — | 未实现 | | | | | | | | — | |
| 9Fh | ADCON1 | — | — | — | — | — | PCFG2 | PCFG1 | PCFG0 | ---- -000 | 46 |

- 图注:** x = 未知, u = 不变, q = 值取决于具体条件, - = 未实现 (读为 0)。阴影单元未实现, 读为 0。
- 注**
- 1: 可以从任何存储区访问这些寄存器。
 - 2: 不能直接访问程序计数器的高字节。PCLATH 是 PC<12:8> 的保持寄存器, 其内容被传送到程序计数器的高字节。
 - 3: 其他 (非上电) 复位包括: 通过 MCLR 的外部复位和看门狗定时器复位。
 - 4: IRP 和 RP1 位保留。始终保持这两位清零。
 - 5: 发生任何器件复位时, 这些引脚被配置为输入。
 - 6: 这是将保存在端口输出锁存器中的值。
 - 7: 保留位, 不要使用。

2.2.2.1 STATUS 寄存器

STATUS 寄存器（如寄存器 2-1 所示）包含 ALU 的算术运算状态、复位状态和数据存储器的存储区选择位。

和任何其他寄存器一样，STATUS 寄存器可以作为任何指令的目标寄存器。如果一条影响 Z、DC 或 C 位的指令以 STATUS 寄存器作为目标寄存器，那么对这三个位的写操作将被禁止。这些位根据器件逻辑被置 1 或清零。而且， \overline{TO} 和 PD 位均为不可写位。因此，当执行一条将 STATUS 寄存器作为目标寄存器的指令时，运行结果可能会与预想的不同。

例如，CLRF STATUS 将会清零高 3 位，并将 Z 位置 1。这将使 STATUS 寄存器中的值成为 000u u1uu（其中 u = 不变）。

因此，建议仅使用 BCF、BSF、SWAPF 和 MOVWF 指令来更改 STATUS 寄存器，因为这些指令不会影响 STATUS 寄存器的 Z、C 或 DC 位。关于其他不会影响任何状态位的指令，请参见“指令集汇总”。

- 注 1:** MCV18E 器件不使用 STATUS 寄存器的 IRP 和 RP1 位。保持这两位清零以确保与未来产品向上兼容。
- 注 2:** 在减法运算中，C 和 DC 位分别作为借位位和半借位位。

寄存器 2-1: STATUS: 状态寄存器

| | | | | | | | |
|-------|-----|-------|-----------------|-----|-------|-------|-------|
| 保留 | 保留 | R/W-0 | R-1 | R-1 | R/W-x | R/W-x | R/W-x |
| IRP | RP1 | RP0 | \overline{TO} | PD | Z | DC | C |
| bit 7 | | | | | | | bit 0 |

图注:

R = 可读位 W = 可写位 U = 未实现位，读为 0
 -n = POR 时的值 1 = 置 1 0 = 清零 x = 未知

- bit 7 **IRP:** 该位保留且应保持为 0
- bit 6 **RP1:** 该位保留且应保持为 0
- bit 5 **RP0:** 寄存器存储区选择位（用于直接寻址）
 1 = Bank 1（80h-FFh）
 0 = Bank 0（00h-7Fh）
- bit 4 **\overline{TO} :** 超时位
 1 = 在上电、执行 CLRWDT 指令或 SLEEP 指令后
 0 = 产生了 WDT 超时
- bit 3 **PD:** 掉电位
 1 = 在上电或执行 CLRWDT 指令后
 0 = 执行 SLEEP 指令
- bit 2 **Z:** 全零位
 1 = 算术运算或逻辑运算的结果为零
 0 = 算术运算或逻辑运算的结果不为零
- bit 1 **DC:** 半进位 / 借位位（ADDWF、ADDLW、SUBLW 和 SUBWF 指令），对于借位，极性是相反的。
 1 = 结果的第 4 个低位发生了进位
 0 = 结果的第 4 个低位未发生进位
- bit 0 **C:** 进位 / 借位位⁽¹⁾（ADDWF、ADDLW、SUBLW 和 SUBWF 指令）
 1 = 结果的最高有效位发生了进位
 0 = 结果的最高有效位未发生进位

注 1: 对于借位，极性是相反的。减法是通过加上第二个操作数的二进制补码来执行的。对于移位指令（RRF 和 RLF），此位来自源寄存器的最高位或最低位。

MCV18E

2.2.2.2 OPTION 寄存器

OPTION 寄存器是可读写的寄存器，它包含各种控制位，用于配置 TMR0 预分频器 /WDT 后分频器（单个可分配的寄存器也称为预分频器）、外部 INT 中断、TMR0 以及 PORTB 上的弱上拉。

注： 要使 Timer0 寄存器获得 1:1 的预分频比，可将预分频器分配给看门狗定时器。

寄存器 2-2: OPTION_REG: 选项寄存器

| | | | | | | | |
|-------|--------|-------|-------|-------|-------|-------|-------|
| R/W-1 | R/W-1 | R/W-1 | R/W-1 | R/W-1 | R/W-1 | R/W-1 | R/W-1 |
| RBPU | INTEDG | T0CS | T0SE | PSA | PS2 | PS1 | PS0 |
| bit 7 | | | | | | | bit 0 |

图注：

| | | |
|--------------|---------|---------------|
| R = 可读位 | W = 可写位 | U = 未实现位，读为 0 |
| -n = POR 时的值 | 1 = 置 1 | 0 = 清零 |
| | | x = 未知 |

- bit 7 **RBPU:** PORTB 上拉使能位
 1 = 禁止 PORTB 上拉
 0 = 根据各端口锁存值使能 PORTB 上拉
- bit 6 **INTEDG:** 中断边沿选择位
 1 = RB0/INT 引脚的上升沿触发中断
 0 = RB0/INT 引脚的下降沿触发中断
- bit 5 **T0CS:** Timer0 时钟源选择位
 1 = RA4/T0CKI 引脚上的电平跳变
 0 = 内部指令周期时钟 (Fosc/4)
- bit 4 **T0SE:** Timer0 时钟源边沿选择位
 1 = 在 RA4/T0CKI 引脚信号从高至低跳变时，递增计数
 0 = 在 RA4/T0CKI 引脚信号从低至高跳变时，递增计数
- bit 3 **PSA:** 预分频器分配位
 1 = 预分频器分配给 WDT
 0 = 预分频器分配给 Timer0 模块
- bit 2-0 **PS<2:0>:** 预分频比选择位

| 位值 | Timer0 预分频比 | WDT 预分频比 |
|-----|-------------|----------|
| 000 | 1 : 2 | 1 : 1 |
| 001 | 1 : 4 | 1 : 2 |
| 010 | 1 : 8 | 1 : 4 |
| 011 | 1 : 16 | 1 : 8 |
| 100 | 1 : 32 | 1 : 16 |
| 101 | 1 : 64 | 1 : 32 |
| 110 | 1 : 128 | 1 : 64 |
| 111 | 1 : 256 | 1 : 128 |

2.2.2.3 INTCON 寄存器

INTCON 寄存器是可读写的寄存器，它包含 TMR0 寄存器上溢、RB 端口电平变化和外部 RB0/INT 引脚中断等各种允许位和标志位。

注： 当中断条件发生时，无论相应的中断允许位或在 INTCON 寄存器中的全局中断允许位 GIE 的状态如何，中断标志位都将被置 1。用户软件应在允许一个中断前，先将相应的中断标志位清零。

寄存器 2-3: INTCON: 中断控制寄存器

| | | | | | | | |
|-------|-------|-------|-------|---------------------|---------------------|-------|-------|
| R/W-0 | R/W-0 | R/W-0 | R/W-0 | R/W-0 | R/W-0 | R/W-0 | R/W-x |
| GIE | PEIE | TOIE | INTE | RBIE ⁽¹⁾ | T0IF ⁽²⁾ | INTF | RBIF |
| bit 7 | | | | | | | bit 0 |

图注：

R = 可读位 W = 可写位 U = 未实现位，读为 0
 -n = POR 时的值 1 = 置 1 0 = 清零 x = 未知

- bit 7 **GIE:** 全局中断允许位
 1 = 允许所有未被屏蔽的中断
 0 = 禁止所有中断
- bit 6 **PEIE:** 外设中断允许位
 1 = 允许所有未被屏蔽的外设中断
 0 = 禁止所有外设中断
- bit 5 **TOIE:** Timer0 上溢中断允许位
 1 = 允许 Timer0 中断
 0 = 禁止 Timer0 中断
- bit 4 **INTE:** RB0/INT 外部中断允许位
 1 = 允许 RB0/INT 外部中断
 0 = 禁止 RB0/INT 外部中断
- bit 3 **RBIE:** PORTB 电平变化中断允许位 ⁽¹⁾
 1 = 允许 PORTB 电平变化中断
 0 = 禁止 PORTB 电平变化中断
- bit 2 **T0IF:** Timer0 上溢中断标志位 ⁽²⁾
 1 = TMR0 寄存器已上溢 (必须用软件清零)
 0 = TMR0 寄存器未上溢
- bit 1 **INTF:** RB0/INT 外部中断标志位
 1 = 发生了 RB0/INT 外部中断 (必须用软件清零)
 0 = 未发生 RB0/INT 外部中断
- bit 0 **RBIF:** PORTB 电平变化中断标志位
 1 = PORTB 中至少有一个通用 I/O 引脚的状态发生了变化 (必须用软件清零)
 0 = PORTB 通用 I/O 引脚状态均未发生变化

- 注**
- 1:** IOCB 寄存器也必须被使能。
 - 2:** 当 Timer0 计满返回时，T0IF 位将被置 1。Timer0 计数值在复位时不变，而且应在清零 T0IF 位之前对其进行初始化。

MCV18E

2.2.2.4 PIE1 寄存器

该寄存器包含各外设中断的允许位。

注： 必须将 INTCON 寄存器的 PEIE 位置 1，以允许任何外设中断。

寄存器 2-4: PIE1: 外设中断允许寄存器 1

| U-0 | R/W-0 | U-0 | U-0 | U-0 | R/W-0 | R/W-0 | R/W-0 |
|-------|-------|-----|-----|-----|--------|--------|--------|
| — | ADIE | — | — | — | CCP1IE | TMR2IE | TMR1IE |
| bit 7 | | | | | | | bit 0 |

图注:

R = 可读位

W = 可写位

U = 未实现位，读为 0

-n = POR 时的值

1 = 置 1

0 = 清零

x = 未知

bit 7 **未实现：** 读为 0

bit 6 **ADIE:** A/D 转换器 (ADC) 中断允许位

1 = 允许 ADC 中断

0 = 禁止 ADC 中断

bit 5-3 **未实现：** 读为 0

bit 2 **CCP1IE:** CCP1 中断允许位

1 = 允许 CCP1 中断

0 = 禁止 CCP1 中断

bit 1 **TMR2IE:** Timer2 与 PR2 匹配中断允许位

1 = 允许 Timer2 与 PR2 匹配中断

0 = 禁止 Timer2 与 PR2 匹配中断

bit 0 **TMR1IE:** Timer1 上溢中断允许位

1 = 允许 Timer1 上溢中断

0 = 禁止 Timer1 上溢中断

2.2.2.5 PIR1 寄存器

该寄存器包含各外设中断的标志位。

注： 当中断条件发生时，无论相应的中断允许位或在 INTCON 寄存器中的全局中断允许位 GIE 状态如何，中断标志位都将被置 1。用户软件应在允许一个中断前，先将相应的中断标志位清零。

寄存器 2-5: PIR1: 外设中断请求寄存器 1

| | | | | | | | |
|-------|-------|-------|-------|-------|--------|--------|--------|
| U-0 | R/W-0 | R/W-0 | R/W-0 | R/W-0 | U-0 | R/W-0 | R/W-0 |
| — | ADIF | — | — | — | CCP1IF | TMR2IF | TMR1IF |
| bit 7 | | | | | | | bit 0 |

图注：

R = 可读位 W = 可写位 U = 未实现位，读为 0
 -n = POR 时的值 1 = 置 1 0 = 清零 x = 未知

- bit 7 **未实现：** 读为 0
- bit 6 **ADIF:** A/D 中断标志位
 1 = A/D 转换完成
 0 = A/D 转换未完成或尚未开始
- bit 5-3 **未实现：** 读为 0
- bit 2 **CCP1IF:** CCP1 中断标志位
 捕捉模式
 1 = 发生了 TMR1 寄存器捕捉（必须用软件清零）
 0 = 未发生 TMR1 寄存器捕捉
 比较模式
 1 = 发生了 TMR1 寄存器的比较匹配（必须用软件清零）
 0 = 未发生 TMR1 寄存器的比较匹配
 PWM 模式
 在此模式下未使用
- bit 1 **TMR2IF:** Timer2 与 PR2 匹配中断标志位
 1 = Timer2 与 PR2 发生匹配（必须用软件清零）
 0 = Timer2 与 PR2 未发生匹配
- bit 0 **TMR1IF:** Timer1 上溢中断标志位
 1 = Timer1 寄存器上溢（必须用软件清零）
 0 = Timer1 寄存器未上溢

MCV18E

2.2.2.6 PCON 寄存器

电源控制 (PCON) 寄存器包含一个标志位, 用来区分上电复位 (POR)、外部 MCLR 复位或 WDT 复位。这些器件还包含一个额外的位来区分欠压复位条件和上电复位条件。

注: 如果 BOREN 配置位置 1, 在发生上电复位时 BOR 为 1, 在发生欠压条件时则复位为 0。随后用户必须将 BOR 置 1, 并在后续的复位发生时检查该位是否清零, 清零则指示发生了另一次欠压复位。

如果 BOREN 配置位清零, 在发生上电复位时 BOR 为未知状态。

寄存器 2-6: PCON: 电源控制寄存器

| | | | | | | | |
|-------|-----|-----|-----|-----|-----|-------|-------|
| U-0 | U-0 | U-0 | U-0 | U-0 | U-0 | R/W-0 | R/W-x |
| — | — | — | — | — | — | POR | BOR |
| bit 7 | | | | | | bit 0 | |

图注:

R = 可读位

W = 可写位

U = 未实现位, 读为 0

-n = POR 时的值

1 = 置 1

0 = 清零

x = 未知

bit 7-2 **未实现:** 读为 0

bit 1 **POR:** 上电复位状态位

1 = 未发生上电复位

0 = 发生了上电复位 (发生上电复位后必须用软件置 1)

bit 0 **BOR:** 欠压复位状态位

1 = 未发生欠压复位

0 = 发生了欠压复位 (发生欠压复位后必须用软件置 1)

2.3 PCL 和 PCLATH

程序计数器（PC）为 13 位宽。其低字节来自可写写的 PCL 寄存器，高字节（PC<12:8>）来自 PCLATH，不能直接读写。只要发生复位，PC 就将被清零。图 2-3 显示了装入 PC 值的两种情形。图 2-3 上方的示例说明在写 PCL 时（PCLATH<4:0> → PCH）是如何装入 PC 的。图 2-3 下方的示例说明在执行 CALL 或 GOTO 指令期间（PCLATH<4:3> → PCH）是如何装入 PC 的。

2.3.1 修改 PCL

在执行以 PCL 寄存器作为目标寄存器的任何指令的同时，也会使程序计数器的 PC<12:8> 位（PCH）被 PCLATH 寄存器的内容所代替。这使得可以通过将所需的高 5 位写入 PCLATH 寄存器来改变程序计数器的整个内容。当将低 8 位写入 PCL 寄存器时，程序计数器的所有 13 位都将变为 PCLATH 寄存器中和那些被写入 PCL 寄存器的值。

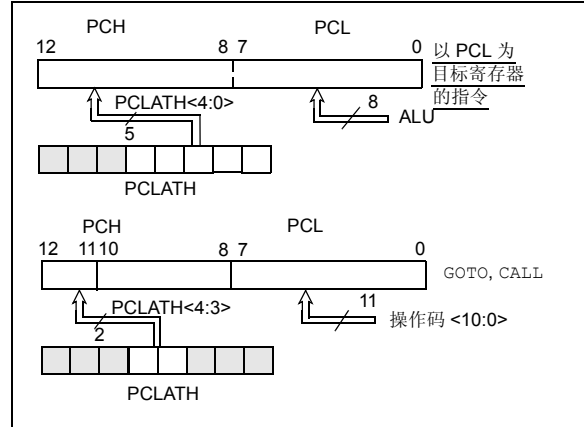
计算 GOTO 指令是通过向程序计数器加一个偏移量（ADDWF PCL）来实现的。当通过修改 PCL 寄存器跳转到查找表或程序跳转表（计算 GOTO）时，应特别注意。假设 PCLATH 被设置为表起始地址，如果表长度大于 255 条指令，或如果在表中间存储器地址的低 8 位从 0xFF 计满返回到 0x00，那么 PCLATH 必须为在表起始和表中的目标存储单元之间发生计满返回的每个地址进行递增。

更多信息，请参见应用笔记 AN556，“Implementing a Table Read”（DS00556）。

2.3.2 程序存储器分页

CALL 和 GOTO 指令提供了地址的 11 位，允许在任意 2K 程序存储器页内跳转。当执行 CALL 或 GOTO 指令时，由 PCLATH<3> 提供地址的高位。当执行 CALL 或 GOTO 指令时，用户必须确保已对页选择位编程，以便寻址所需的程序存储器页。如果执行了一条从 CALL 指令（或中断）返回的 RETURN 指令，则整个 13 位 PC 值从堆栈弹出。因此，RETURN 指令（该指令会使地址从堆栈弹出）无需对 PCLATH<3> 位进行操作。

图 2-3: 不同情形下 PC 的装入



2.4 堆栈

堆栈允许最多 8 次程序调用和中断的组合。堆栈包含了在程序执行过程中该跳转的返回地址。

中档器件具有 8 级深 x 13 位宽的硬件堆栈。堆栈空间既不占用程序存储空间，也不占用数据存储空间，而且堆栈指针是不可读写的。当执行 CALL 指令或当中断导致程序跳转时，PC 值将被压入堆栈。而在执行 RETURN、RETLW 或 RETFIE 指令时，将从堆栈中弹出 PC 值。当压入或弹出堆栈时，不会修改 PCLATH。

在压栈 8 次后，第 9 次压入堆栈的值将会覆盖第一次压栈时所保存的值，而第 10 次压入堆栈的值将覆盖第二次压栈时所保存的值（依此类推）。

MCV18E

2.5 间接寻址、INDF 和 FSR 寄存器

INDF 寄存器不是物理寄存器。寻址 INDF 实际上是对地址包含在 FSR 寄存器中的寄存器进行寻址（FSR 是一个指针）。这就是间接寻址。

例 2-1: 间接寻址

- 寄存器文件 05 包含值 10h
- 寄存器文件 06 包含值 0Ah
- 将值 05 装入 FSR 寄存器中
- 对 INDF 寄存器进行读操作将返回值 10h
- 将 FSR 寄存器的值递增 1（FSR = 06）
- 现在对 INDF 寄存器进行读操作将返回值 0Ah

间接对 INDF 自身进行读操作（FSR = 0）将产生 00h。间接对 INDF 寄存器进行写操作将导致空操作（尽管可能会影响状态位）。

例 2-2 给出了一个使用间接寻址将 RAM 地址单元 20h-2Fh 清零的简单程序。

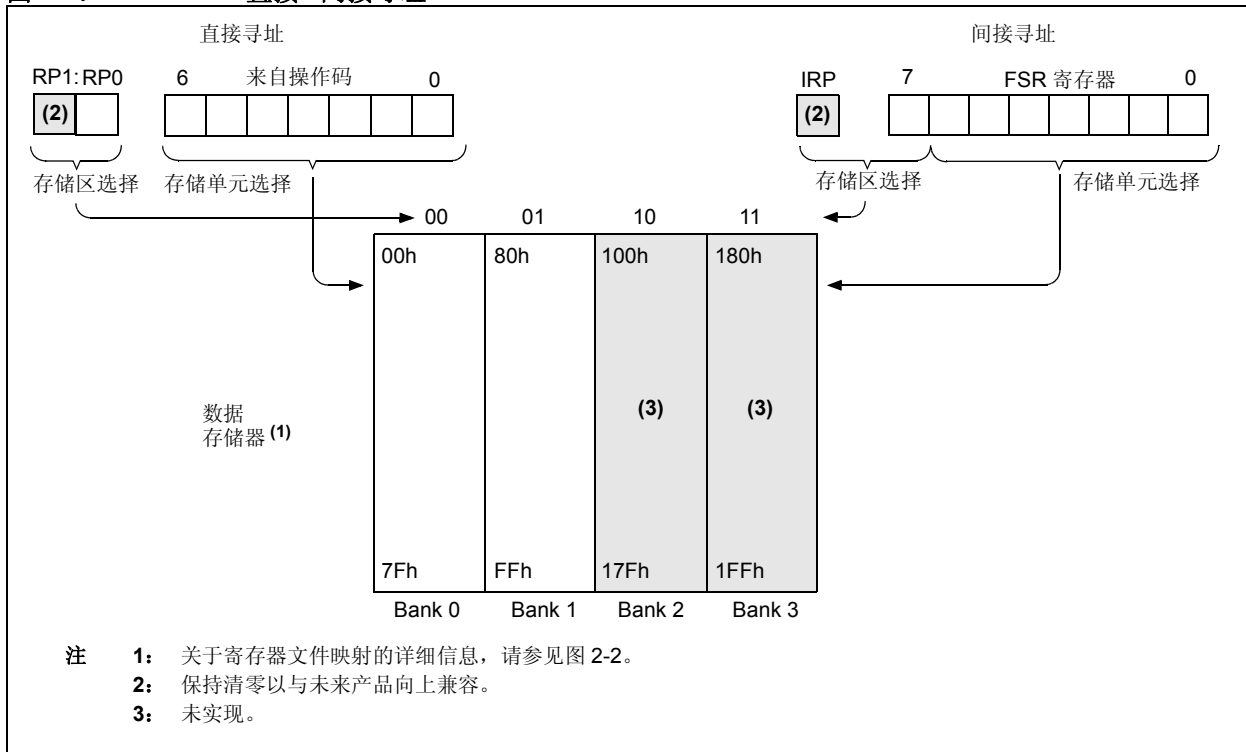
例 2-2: 如何使用间接寻址清零 RAM

```

MOV LW 0x20 ;initialize pointer
MOV WF FSR ;to RAM
NEXT   CLR F INDF ;clear RAM & FSR
       INC F FSR ;inc pointer
       BTFSS FSR,4 ;all done?
       GOTO NEXT ;no, clear next
CONTINUE
       : ;yes, continue
    
```

通过将 8 位 FSR 寄存器与 STATUS 寄存器的 IRP 位进行组合可得到一个有效的 9 位地址，如图 2-4 所示。但是，在 MCV18E 器件中不使用 IRP。

图 2-4: 直接 / 间接寻址



3.0 I/O 端口

I/O 端口的一些引脚与器件上外设功能复用。一般来说，当某个外设被使能时，其相关引脚可能不能用作通用 I/O 引脚。

3.1 PORTA 和 TRISA 寄存器

PORTA 是一个 5 位宽的双向端口。对应的数据方向寄存器是 TRISA。将 TRISA 某位置 1 (= 1) 时，会将 PORTA 的相应引脚设为输入（即，使相应的输出驱动器处于高阻模式）。将 TRISA 某位清零 (= 0) 时，会将 PORTA 的相应引脚设为输出（即，将输出锁存器中的内容输出到选中引脚）。

读取 PORTA 寄存器将读出相应引脚的电平状态，而对其进行写操作则是写入其端口锁存器。所有写操作都是读 - 修改 - 写操作。因此，写一个端口就意味着读该端口的引脚电平，修改读到的值，然后再将改好的值写入端口数据锁存器。

RA4 引脚与 Timer0 模块的时钟输入复用，成为 RA4/T0CKI 引脚。RA4/T0CKI 引脚是施密特触发器输入和漏极开路输出。所有其他 RA 端口引脚都是 TTL 输入电平和全 CMOS 输出驱动器。

PORTA 引脚 RA<3:0> 与模拟输入和模拟 VREF 输入复用。每个引脚的操作通过清零 / 置 1 ADCON1 寄存器 (A/D 控制寄存器 1) 中的控制位进行选择。

注： 发生上电复位后，这些引脚被配置为模拟输入且读为 0。

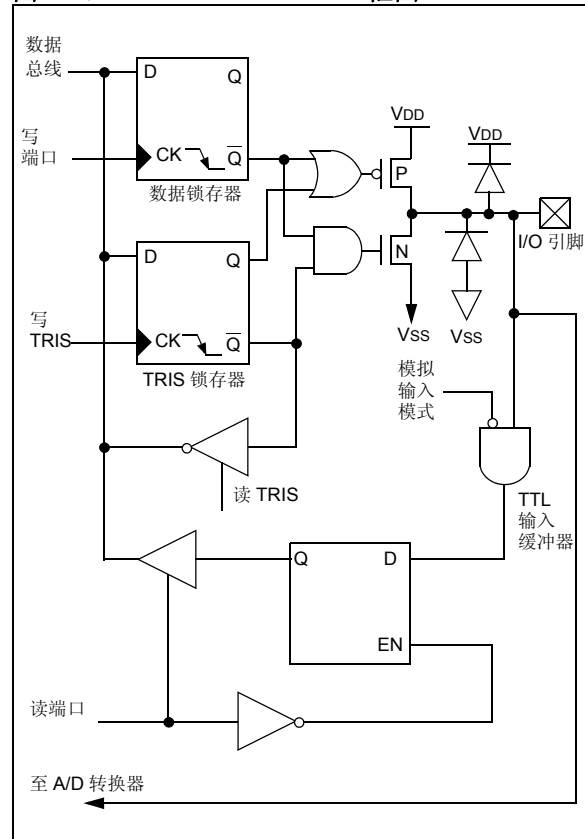
TRISA 寄存器控制 RA 引脚的方向，即使它们用作模拟输入引脚。当引脚用作模拟输入时，用户必须确保 TRISA 寄存器中的相应位保持置 1。

注： 在处于模拟模式时将 RA3:0 设置为输出将强制引脚输出数据锁存器的内容。

例 3-1: 初始化 PORTA

```
BCF STATUS, RP0 ;
CLRF PORTA      ;Initialize PORTA by
                 ;clearing output
                 ;data latches
BSF STATUS, RP0 ;Select Bank 1
MOVLW 0xEF      ;Value used to
                 ;initialize data
                 ;direction
MOVWF TRISA     ;Set RA<3:0> as inputs
                 ;RA<4> as outputs
BCF STATUS, RP0 ;Return to Bank 0
```

图 3-1: RA<3:0> 框图



MCV18E

图 3-2: RA4/T0CKI 引脚框图

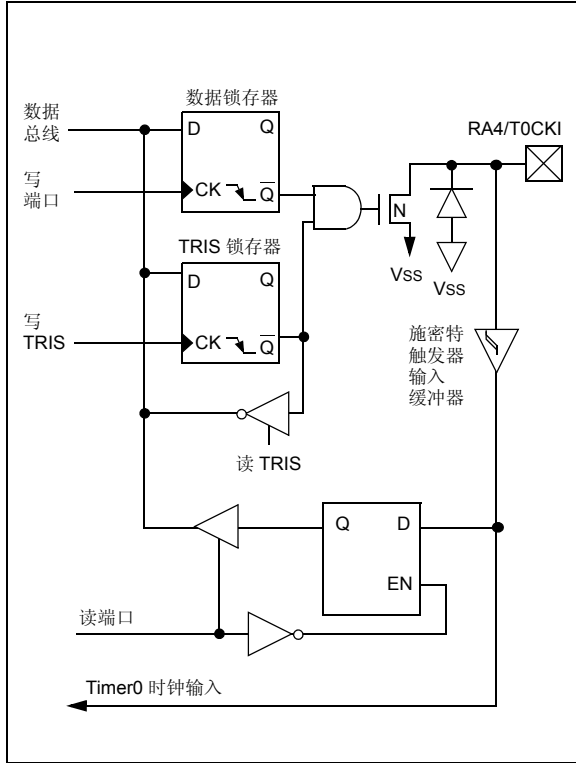


表 3-1: 与 PORTA 相关的寄存器汇总

| 名称 | Bit 7 | Bit 6 | Bit 5 | Bit 4 | Bit 3 | Bit 2 | Bit 1 | Bit 0 | POR/BOR 时的值 | 所有其他复位时的值 |
|--------|-------|-------|-------|--------|--------|--------|--------|--------|-------------|-----------|
| PORTA | — | — | — | RA4 | RA3 | RA2 | RA1 | RA0 | ---x 0000 | ---u uuuu |
| TRISA | — | — | — | TRISA4 | TRISA3 | TRISA2 | TRISA1 | TRISA0 | ---1 1111 | ---1 1111 |
| ADCON1 | — | — | — | — | — | PCFG2 | PCFG1 | PCFG0 | ---- -000 | ---- -000 |

图注: x = 未知, u = 不变, - = 未实现位 (读为 0)。PORTA 不使用阴影单元。

3.2 PORTB 和 TRISB 寄存器

PORTB 是一个 8 位宽的双向端口。对应的数据方向寄存器是 TRISB。将 TRISB 某位置 1 (= 1) 时, 会将 PORTB 的相应引脚设为输入 (即, 使相应的输出驱动器处于高阻模式)。将 TRISB 某位清零 (= 0) 时, 会将 PORTB 的相应引脚设为输出 (即, 将输出锁存器中的内容输出到选中引脚)。

例 3-2: 初始化 PORTB

```

BCF    STATUS, RP0    ;select Bank 0
CLRF   PORTB          ;Initialize PORTB by
                    ;clearing output
                    ;data latches
BSF    STATUS, RP0    ;Select Bank 1
MOVLW  0xCF           ;Value used to
                    ;initialize data
                    ;direction
MOVWF  TRISB          ;Set RB<3:0> as inputs
                    ;RB<5:4> as outputs
                    ;RB<7:6> as inputs
    
```

每个 PORTB 引脚都具有内部弱上拉。通过一个控制位即可接通所有上拉。这是通过清零 OPTION 寄存器的 RBPU 位实现的。当端口引脚被配置为输出时, 其弱上拉会自动关闭。上电复位会禁止上拉功能。

当使能外设功能时, 应小心定义每个 PORTB 引脚的 TRIS 位。有些外设会改写 TRIS 位的设置, 将引脚重新定义为输出引脚, 而有些则重新定义为输入引脚。由于 TRIS 位改写在外设使能时有效, 应当避免使用将 TRISB 用作目标寄存器的读 - 修改 - 写指令 (例如, BSF、BCF 和 XORWF)。用户应查阅相应的外设章节来正确设置 TRIS 位。

PORTB 的 4 个引脚 RB<7:4> 具有电平变化中断功能。仅当将这些引脚配置为输入时, 才可引起此中断功能的发生 (即当 RB<7:4> 中的任何一个引脚被配置为输出时, 该引脚将不再具有电平变化中断功能)。将输入引脚 RB<7:4> 的电平与 PORTB 上次读入锁存器的旧值进行比较。对 RB<7:4> 的“不匹配”输出进行逻辑或运算, 产生 RB 端口电平变化中断, 并将 INTCON 寄存器的标志位 RBIF 置 1。

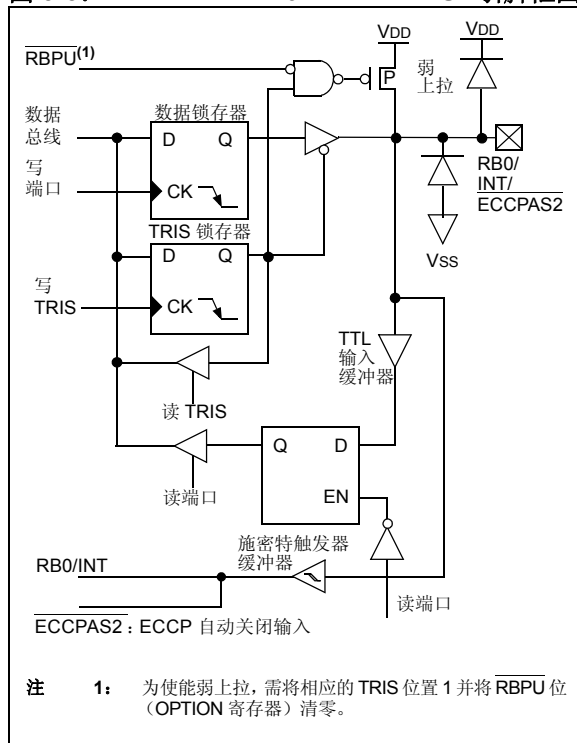
该中断可将器件从休眠状态唤醒。用户可用以下方式在中断服务程序中清除该中断:

1. 执行对 PORTB 的读操作以结束不匹配条件。
2. 清零标志位 RBIF。

不匹配条件将继续把标志位 RBIF 置 1。读 PORTB 将结束不匹配条件并允许将标志位 RBIF 清零。

建议使用电平变化中断功能实现按键唤醒操作, 以及那些仅用到 PORTB 的电平变化中断功能的操作。在使用电平变化中断功能时, 建议不要查询 PORTB 的状态。

图 3-3: RB0/INT/ECCPAS2 引脚框图



MCV18E

图 3-4: RB1/T1OSO/T1CKI 引脚框图

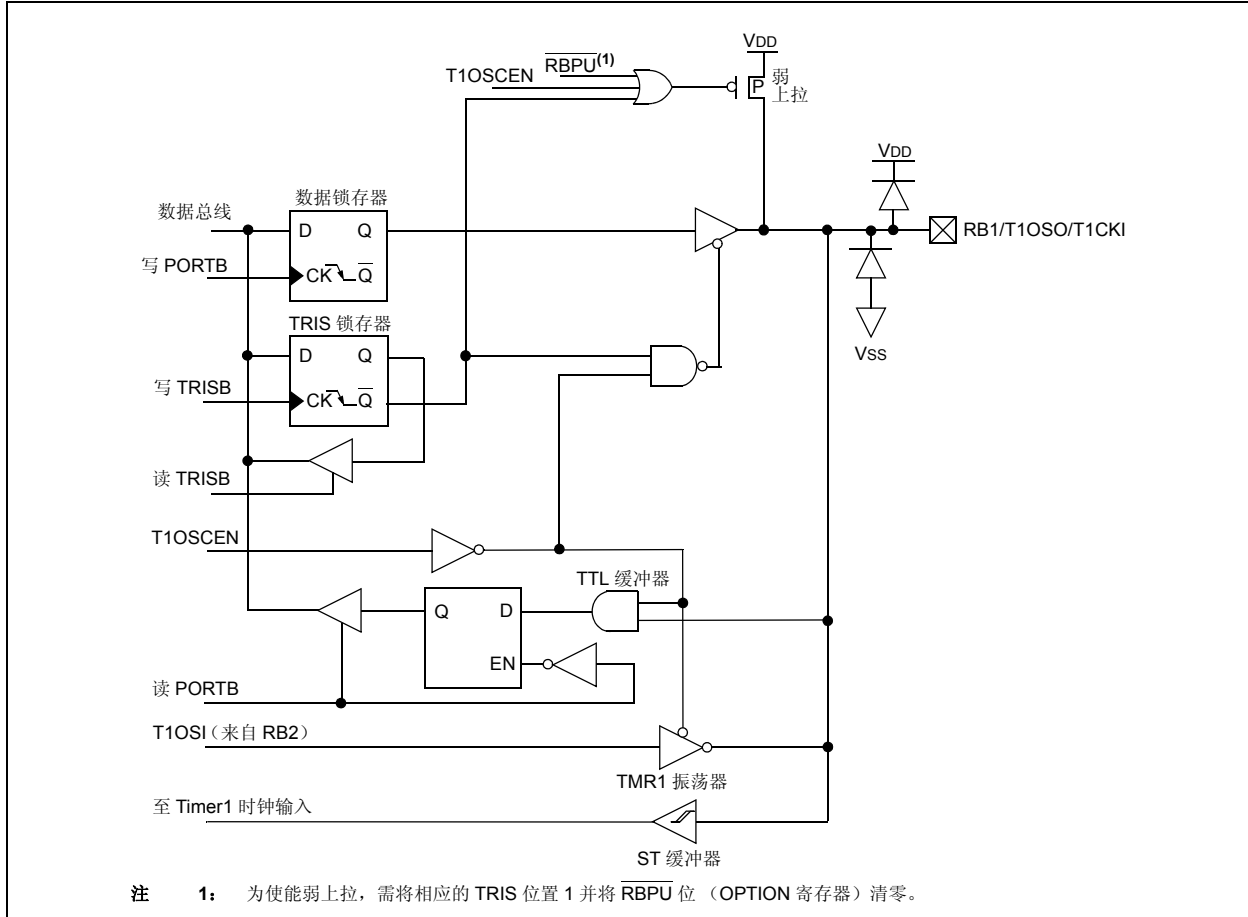


图 3-5: RB2/T1OSI 引脚框图

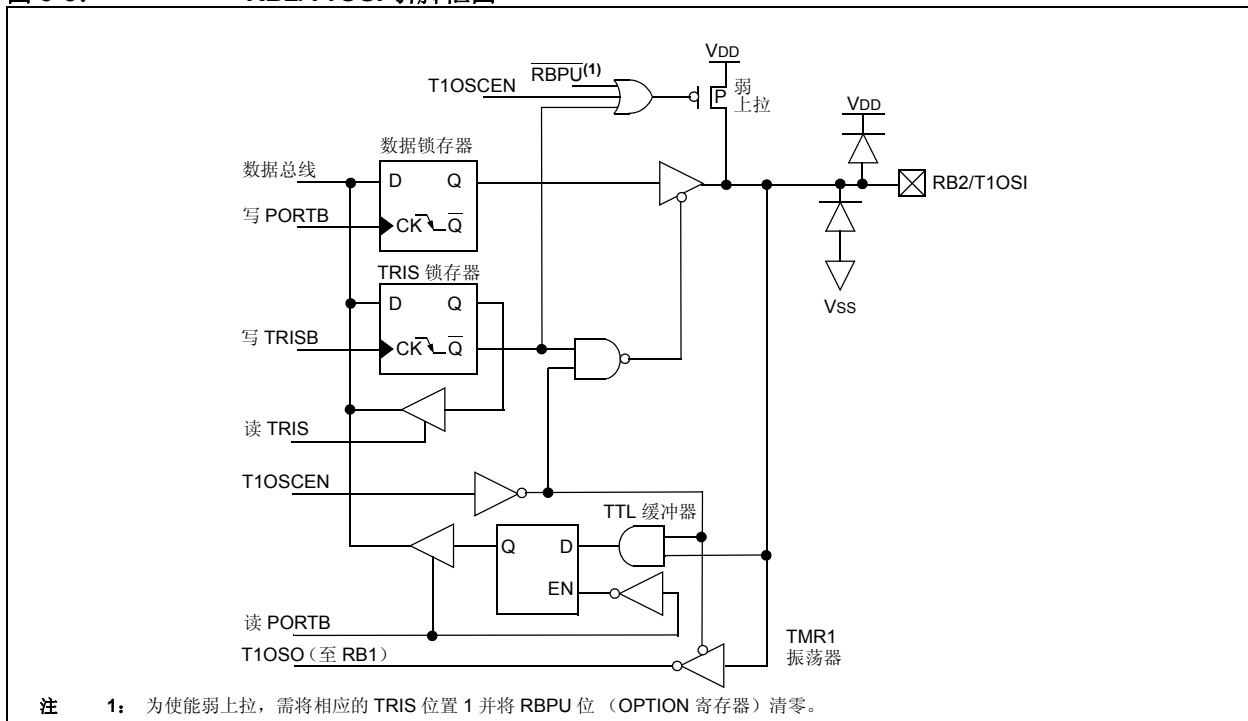


图 3-6: RB3/CCP1/P1A 引脚框图

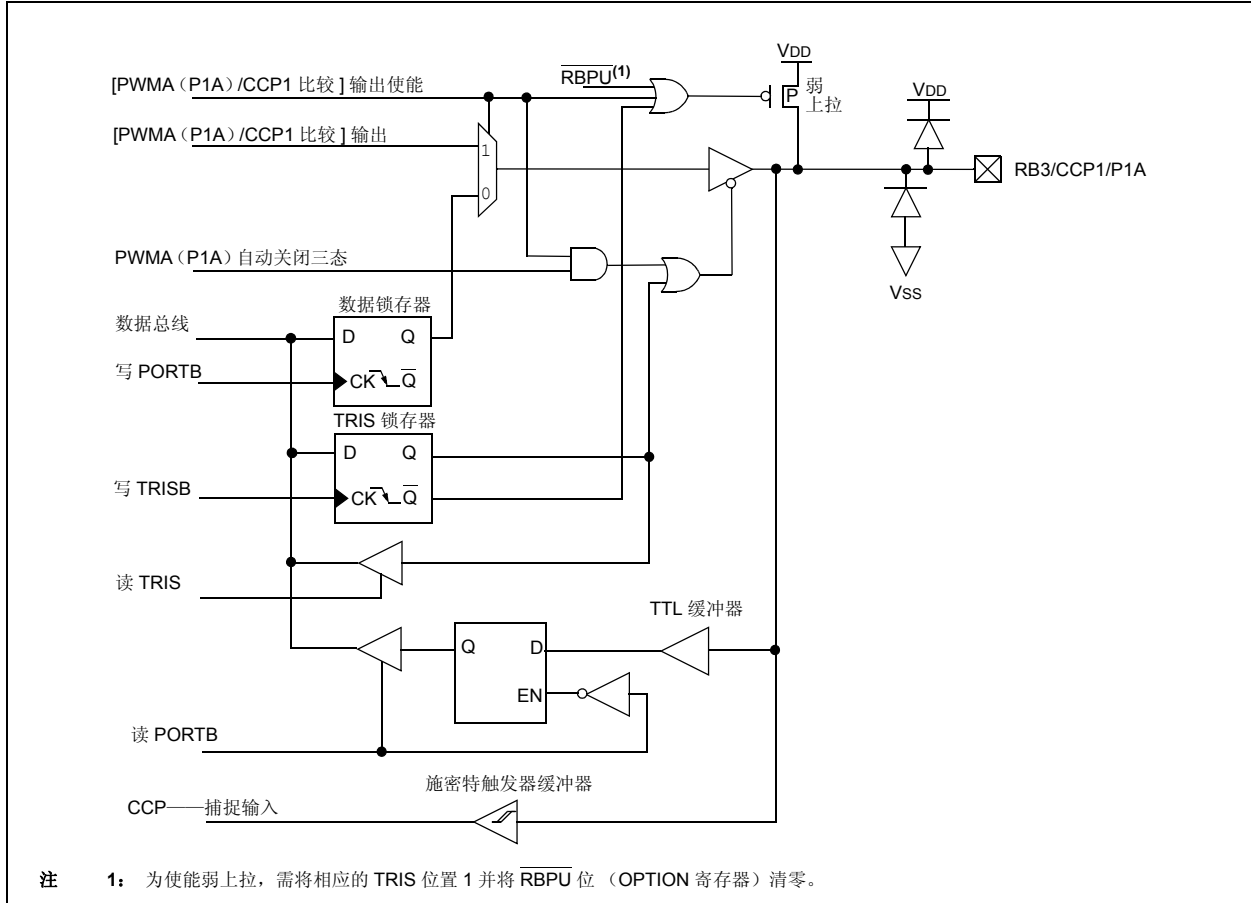
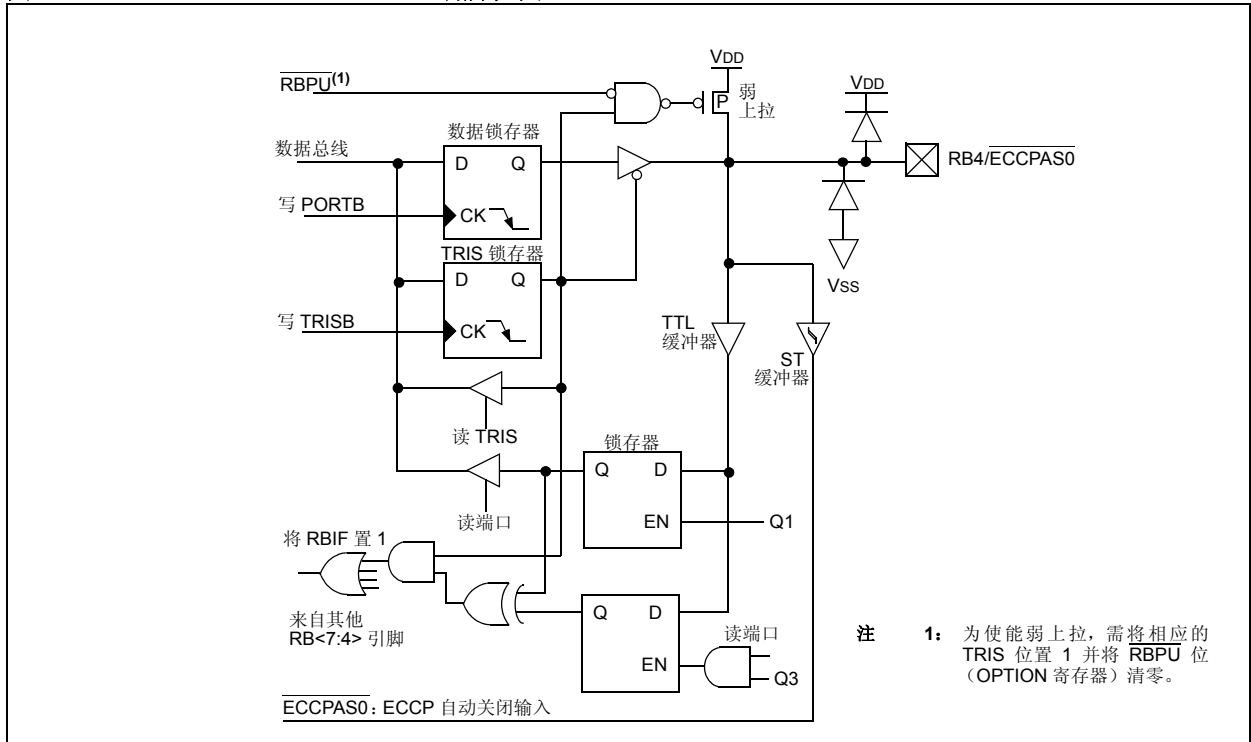


图 3-7: RB4/ECCPAS0 引脚框图



MCV18E

图 3-8: RB5/P1B 引脚框图

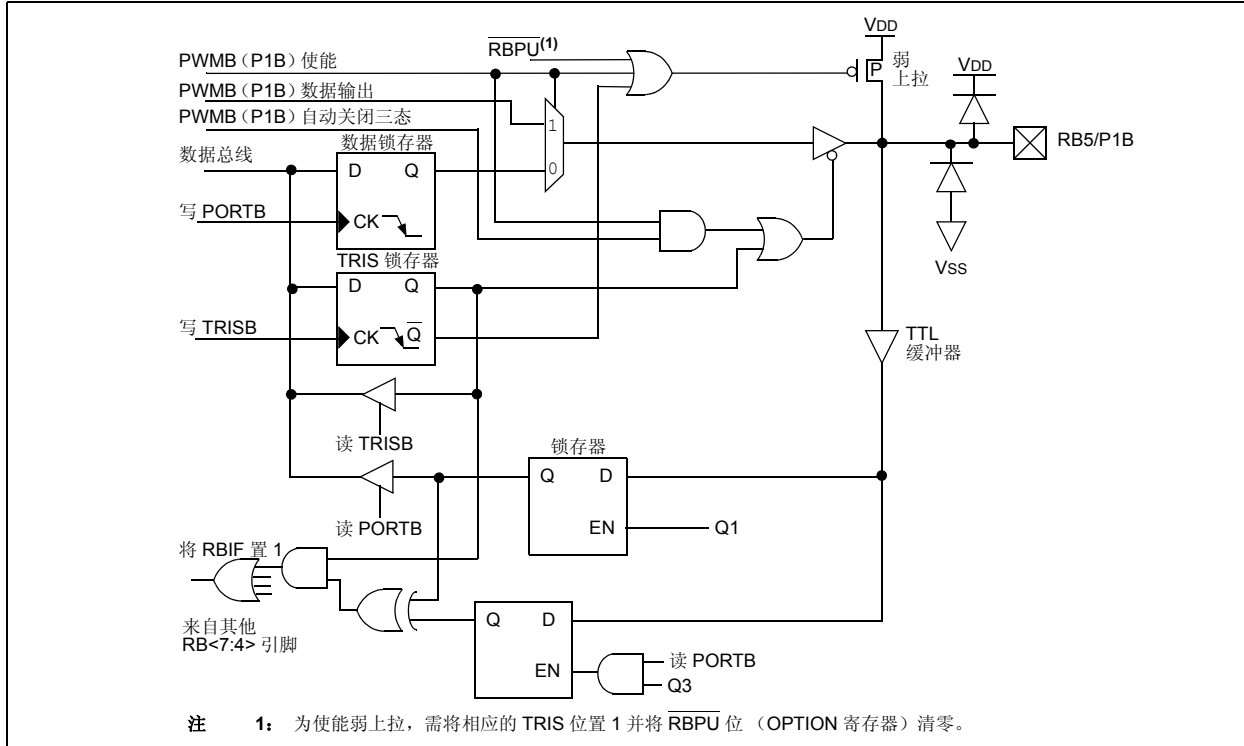


图 3-9: RB6/P1C 引脚框图

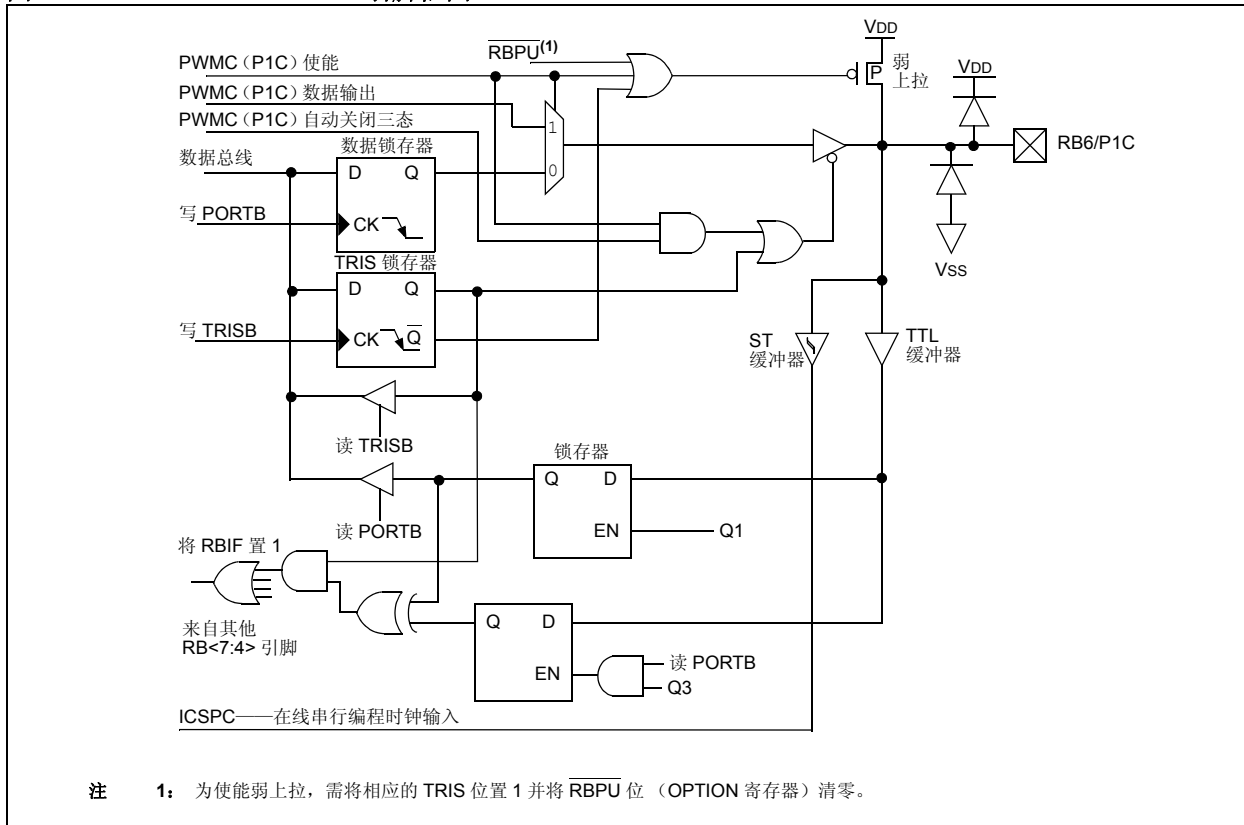


图 3-10: RB7/P1D 引脚框图

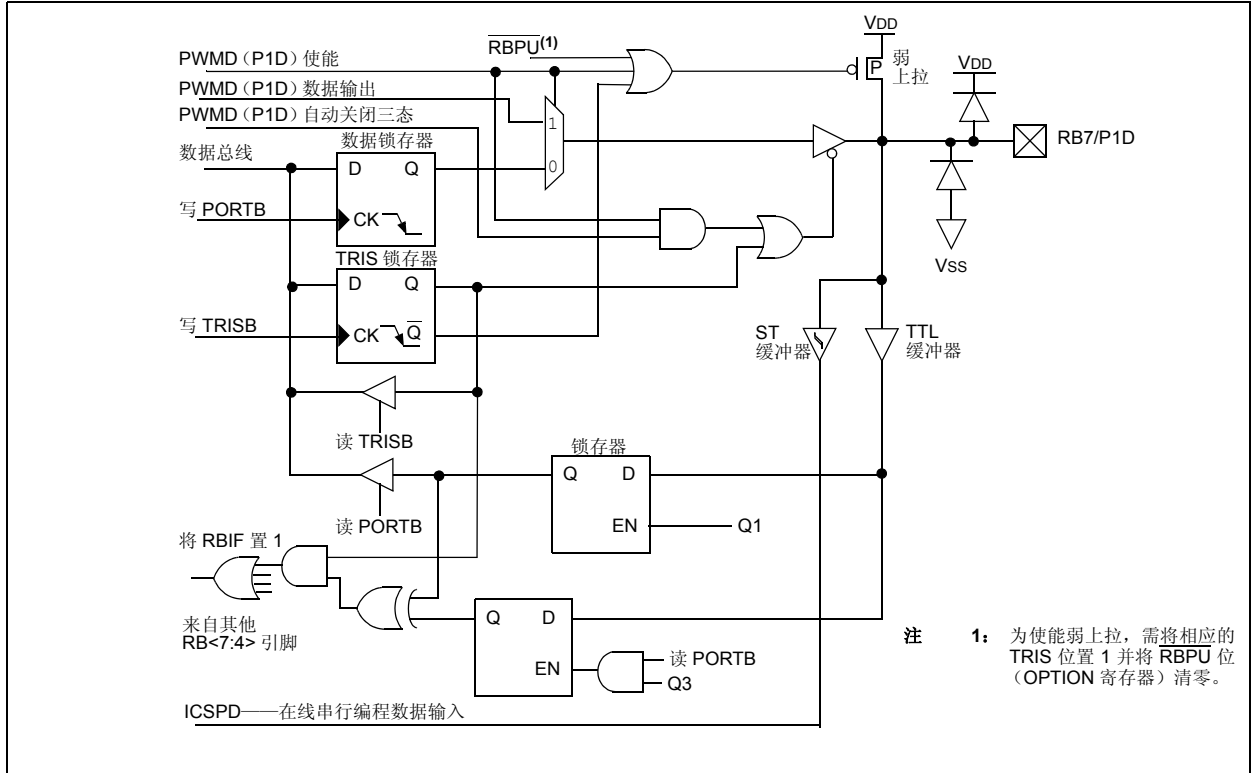


表 3-2: 与 PORTB 相关的寄存器汇总

| 名称 | Bit 7 | Bit 6 | Bit 5 | Bit 4 | Bit 3 | Bit 2 | Bit 1 | Bit 0 | POR/BOR 时的值 | 所有其他复位时的值 |
|------------|--------|--------|--------|--------|--------|--------|--------|--------|-------------|-----------|
| PORTB | RB7 | RB6 | RB5 | RB4 | RB3 | RB2 | RB1 | RB0 | xxxx xxxx | uuuu uuuu |
| TRISB | TRISB7 | TRISB6 | TRISB5 | TRISB4 | TRISB3 | TRISB2 | TRISB1 | TRISB0 | 1111 1111 | 1111 1111 |
| OPTION_REG | RBPU | INTEDG | T0CS | T0SE | PSA | PS2 | PS1 | PS0 | 1111 1111 | 1111 1111 |

图注: x = 未知, u = 不变。PORTB 不使用阴影单元。

MCV18E

注:

4.0 TIMER0 模块

Timer0 模块是 8 位定时器 / 计数器，具有以下特性：

- 8 位定时器 / 计数器寄存器 (TMR0)
- 8 位预分频器 (与看门狗定时器共用)
- 可编程内部或外部时钟源
- 可编程外部时钟边沿选择
- 上溢时产生中断

图 4-1 给出了 Timer0 模块的框图。

4.1 Timer0 工作原理

当用作定时器时，Timer0 模块可被用作 8 位定时器或 8 位计数器。

4.1.1 8 位定时器模式

当用作定时器时，Timer0 模块将在每个指令周期递增（不带预分频器）。通过清零 OPTION 寄存器的 T0CS 位选择定模式定时器。

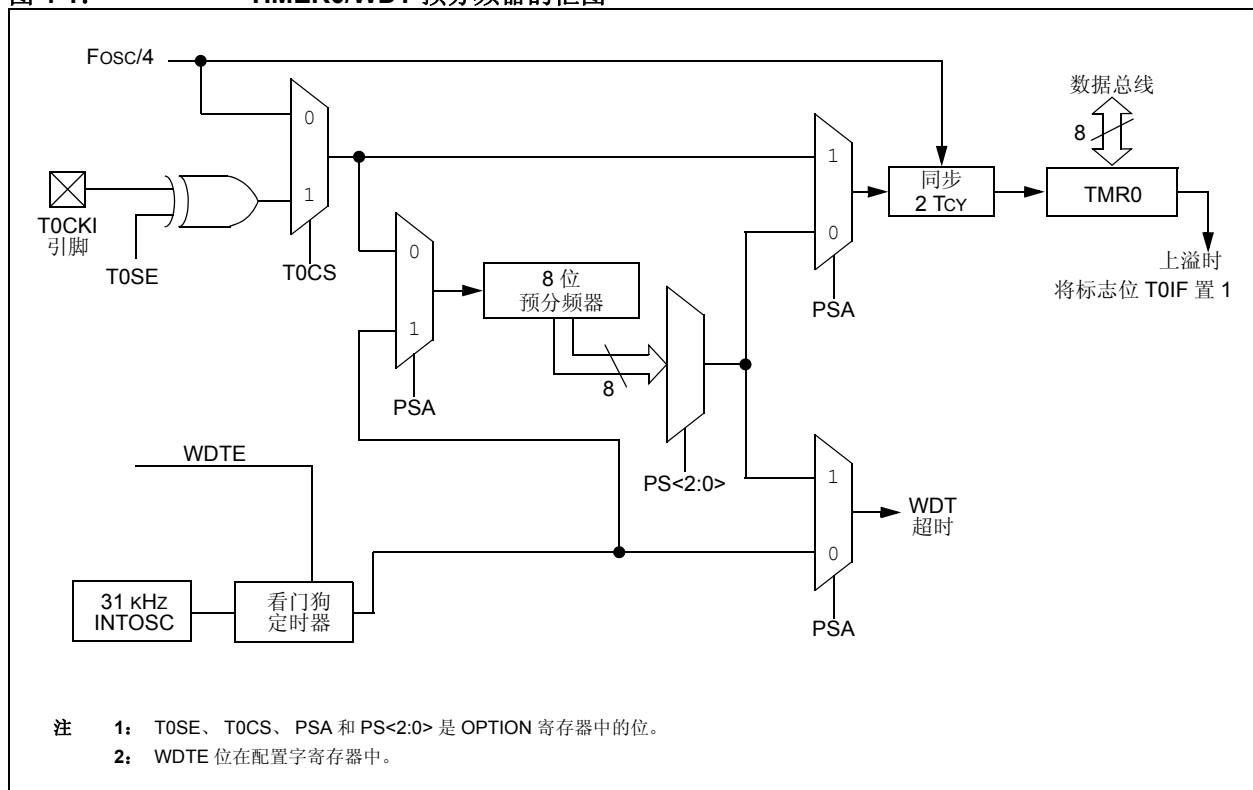
当写 TMR0 时，紧跟写操作之后的两个指令周期内禁止 TMR0 递增。

注： 当写 TMR0 时，考虑到存在两个指令周期的延时，可以调整写入 TMR0 寄存器的值。

4.1.2 8 位计数器模式

当用作计数器时，Timer0 模块将在 T0CKI 引脚的每个上升沿或下降沿递增。递增边沿由 OPTION 寄存器的 T0SE 位决定。通过将 OPTION 寄存器的 T0CS 位设置为 1 选择计数器模式。

图 4-1: TIMER0/WDT 预分频器的框图



4.1.3 可软件编程的预分频器

有一个可软件编程的预分频器可供 Timer0 或看门狗定时器 (WDT) 使用,但不能同时使用。预分频器的分配由 OPTION 寄存器的 PSA 位控制。要将预分频器分配给 Timer0,必须将 PSA 位清零。

Timer0 模块有 8 个预分频比选项,范围从 1:2 到 1:256。预分频值可通过 OPTION 寄存器的 PS<2:0> 位进行选择。为了让 Timer0 模块使用 1:1 预分频值,必须将预分频器分配给 WDT 模块。

预分频器是不可读写的。将其分配给 Timer0 模块时,所有写入 TMR0 寄存器的指令都会将预分频器清零。

将预分频器分配给 WDT 时, CLRWDT 指令会同时将预分频器和 WDT 清零。

4.1.3.1 在 Timer0 和 WDT 模块之间切换预分频器

由于将预分频器分配给 Timer0 或 WDT,在切换预分频值时,可能会产生意外的器件复位。当将预分频器从 Timer0 模块分配给 WDT 模块时,必须执行如例 4-1 中所示的指令序列。

例 4-1: 改变预分频器的分配 (TIMER0 → WDT)

```
BANKSEL TMR0 ;
CLRWDT ;Clear WDT
CLRF TMR0 ;Clear TMR0 and
;prescaler

BANKSEL OPTION_REG ;
BSF OPTION_REG,PSA ;Select WDT
CLRWDT ;
;

MOVLW b'11111000' ;Mask prescaler
ANDWF OPTION_REG,W ;bits
IORLW b'00000101' ;Set WDT prescaler
MOVWF OPTION_REG ;to 1:32
```

当将预分频器从 WDT 模块分配给 Timer0 模块时,必须执行以下指令序列 (见例 4-2)。

例 4-2: 改变预分频器的分配 (WDT → TIMER0)

```
CLRWDT ;Clear WDT and
;prescaler

BANKSEL OPTION_REG ;
MOVLW b'11110000' ;Mask TMR0 select and
ANDWF OPTION_REG,W ;prescaler bits
IORLW b'00000011' ;Set prescale to 1:16
MOVWF OPTION_REG ;
```

4.1.4 TIMER0 中断

TMR0 寄存器从 FFh 上溢到 00h 时,将产生 Timer0 中断。每次 TMR0 寄存器上溢时都会将 INTCON 寄存器的 TOIF 中断标志位置 1,这与是否允许 Timer0 中断无关。TOIF 位必须用软件清零。Timer0 中断允许位是 INTCON 寄存器的 TOIE 位。

注: 由于定时器在休眠状态下是停止的,所以 Timer0 中断无法将处理器从休眠状态唤醒。

4.1.5 TIMER0 与外部时钟配合使用

当 Timer0 处于计数器模式下时,通过对内部相位时钟 Q2 和 Q4 周期的预分频输出进行采样,可实现 T0CKI 输入与 Timer0 寄存器的同步。因此,外部时钟源的高低电平周期必须满足第 10.0 节“电气特性”中所示的时序要求。

表 4-1: 与 **TIMER0** 相关的寄存器汇总

| 名称 | Bit 7 | Bit 6 | Bit 5 | Bit 4 | Bit 3 | Bit 2 | Bit 1 | Bit 0 | POR/BOR 时的值 | 所有其他复位时的值 |
|------------|--------------------|--------|-------|--------|--------|--------|--------|--------|-------------|-----------|
| TMR0 | Timer0 模块寄存器 | | | | | | | | xxxx xxxx | uuuu uuuu |
| INTCON | GIE | PEIE | T0IE | INTE | RBIE | T0IF | INTF | RBIF | 0000 000x | 0000 000u |
| OPTION_REG | RBP \overline{U} | INTEDG | T0CS | T0SE | PSA | PS2 | PS1 | PS0 | 1111 1111 | 1111 1111 |
| TRISA | — | — | — | TRISA4 | TRISA3 | TRISA2 | TRISA1 | TRISA0 | ---1 1111 | ---1 1111 |

图注: — = 未实现位 (读为 0), u = 不变, x = 未知。Timer0 模块不使用阴影单元。

MCV18E

注:

5.0 带门控的 TIMER1 模块

Timer1 模块是 16 位定时器 / 计数器，具有以下特性：

- 16 位定时器 / 计数器寄存器对 (TMR1H:TMR1L)
- 可编程内部或外部时钟源
- 3 位预分频器
- 可选的 LP 振荡器
- 同步或异步工作
- 上溢时产生中断
- 上溢触发唤醒 (仅限外部时钟, 异步模式)
- 捕捉 / 比较功能的时基
- 特殊事件触发 (带 ECCP)

图 5-1 给出了 Timer1 模块的框图。

5.1 Timer1 工作原理

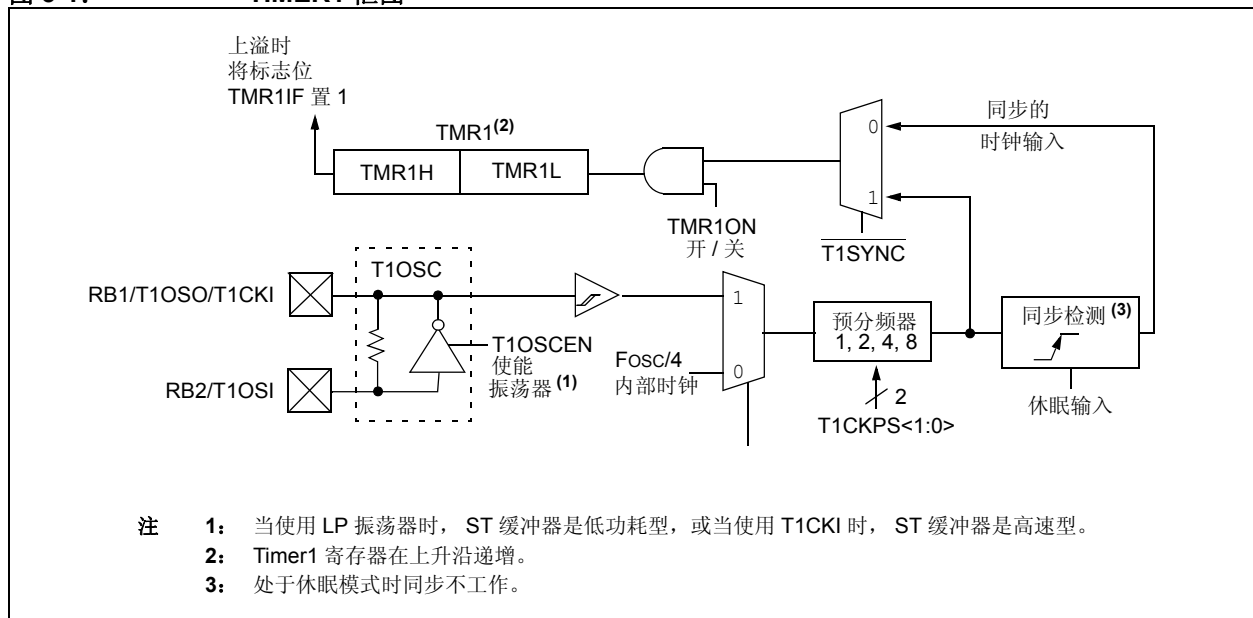
Timer1 模块是 16 位递增计数器，可通过 TMR1H:TMR1L 寄存器对访问。写 TMR1H 或 TMR1L 会直接更新计数器。

当与内部时钟源一起使用时，模块用作定时器。当与外部时钟源一起使用时，模块既可作为定时器，也可用作计数器。

5.2 时钟源选择

T1CON 寄存器的 TMR1CS 位用于选择时钟源。当 TMR1CS = 0 时，时钟源的频率为 $F_{osc}/4$ 。当 TMR1CS = 1 时，时钟源由外部提供。

图 5-1: TIMER1 框图



5.2.1 内部时钟源

当选择内部时钟源时，TMR1H:TMR1L 寄存器对将在 T_{cy} 的整数倍 (由 Timer1 预分频器决定) 处递增。

5.2.2 外部时钟源

当选择外部时钟源时，Timer1 模块可以作为定时器或计数器工作。

计数时，Timer1 在外部时钟输入 T1CKI 的上升沿递增。此外，计数器模式时钟可以与单片机系统时钟同步，也可以异步工作。

在计数器模式下，发生以下一个或多个情况后，计数器在首个上升沿递增前，必须先经过一个下降沿：

- Timer1 在 POR 或 BOR 后被使能
- 写入 TMR1H 或 TMR1L
- 当 Timer1 被禁止时，T1CKI 为高电平；当 Timer1 被重新使能时，T1CKI 为低电平。请参见图 5-2。

5.3 Timer1 预分频器

Timer1 有 4 种预分频比选择，允许对时钟输入进行 1、2、4 或 8 分频。T1CON 寄存器的 T1CKPS 位控制预分频器计数器。对预分频器计数器不能直接进行读写操作；但是，通过写入 TMR1H 或 TMR1L 可将预分频器计数器清零。

5.4 Timer1 振荡器

在引脚 T1OSI（输入）和 T1OSO（输出）之间接有一个内置低功耗 32.768 kHz 晶振。通过将 T1CON 寄存器的 T1OSCEN 控制位置 1 可使能该振荡器。在休眠期间，振荡器将继续工作。

Timer1 振荡器与系统 LP 振荡器共用。因此，只有当主系统时钟来自于内部振荡器或工作在 LP 振荡器模式下时，Timer1 才能使用该模式。用户必须提供软件延时以确保振荡器的正常起振。

当 Timer1 振荡器被使能时，将 TRISB1 和 TRISB2 位置 1。RB1 和 RB2 位读为 0，而 TRISB1 和 TRISB2 位读为 1。

注： 振荡器在使用之前需要一定的起振和稳定时间。因此，T1OSCEN 应置 1，且在使能 Timer1 之前确保有适当的延时。

5.5 异步计数器模式下的 Timer1 操作

如果 T1CON 寄存器的控制位 T1SYNC 置 1，外部时钟输入将不同步。定时器继续异步于内部相位时钟进行递增计数。在休眠模式下，定时器将继续递增，并在上溢时产生中断以唤醒处理器。但是，用软件对定时器进行读/写操作时，要特别当心（见第 5.5.1 节“在异步计数器模式下读写 Timer1”）。

- 注 1：** 当从同步切换到异步操作时，可能会跳过一次递增。当从异步切换到同步操作时，可能会产生一次额外递增。
- 2：** 在异步计数器模式下，Timer1 不能用作 ECCP 模块的捕捉或比较模式的时基。

5.5.1 在异步计数器模式下读写 TIMER1

当定时器采用外部异步时钟工作时，对 TMR1H 或 TMR1L 的读操作将确保为有效读（由硬件实现）。但是，用户应该注意的是，通过读两个 8 位值来读取 16 位定时器本身就会产生某些问题，这是因为定时器可能在两次读操作之间产生上溢。

对于写操作，建议用户直接停止定时器，然后写入需要的值。如果定时器寄存器正进行递增计数，对定时器寄存器进行写操作，可能会导致写入竞争，从而可能在 TMR1H:TMR1L 寄存器对中产生不可预测的值。

5.6 Timer1 中断

Timer1 寄存器对（TMR1H:TMR1L）递增到 FFFFh，然后计满返回到 0000h。当 Timer1 计满返回时，PIR1 寄存器的 Timer1 中断标志位将置 1。为允许计满返回时的中断，必须将以下位置 1：

- PIE1 寄存器的 Timer1 中断允许位
- INTCON 寄存器的 PEIE 位
- INTCON 寄存器的 GIE 位

在中断服务程序中将 TMR1IF 位清零将清除中断。

注： 在重新允许中断前，应将 TMR1H:TMR1L 寄存器对以及 TMR1IF 位清零。

5.7 休眠期间的 Timer1 操作

只有在设置为异步计数器模式时，Timer1 才能在休眠模式下工作。在该模式下，可使用外部晶振或时钟源使计数器递增计数。要设置定时器以唤醒器件：

- 必须将 T1CON 寄存器的 TMR1ON 位置 1
- 必须将 PIE1 寄存器的 TMR1IE 位置 1
- 必须将 INTCON 寄存器的 PEIE 位置 1

器件将在上溢时被唤醒并执行下一条指令。如果将 INTCON 寄存器的 GIE 位置 1，器件将调用中断服务程序（0004h）。

5.8 ECCP 捕捉 / 比较时基

当工作在捕捉或比较模式下时，ECCP 模块使用 TMR1H:TMR1L 寄存器对作为时基。

在捕捉模式下，当发生配置的事件时，TMR1H:TMR1L 寄存器对中的值被复制到 CCPR1H:CCPR1L 寄存器对中。

在比较模式下，当 CCPR1H:CCPR1L 寄存器对中的值与 TMR1H:TMR1L 寄存器对中的值相匹配时触发事件。该事件可以是特殊事件触发信号。

更多信息，请参见第 8.0 节“增强型捕捉 / 比较 / PWM 模块”。

5.9 ECCP 特殊事件触发信号

当将 ECCP 配置为触发特殊事件时，触发信号将清零 TMR1H:TMR1L 寄存器对。该特殊事件不会引起 Timer1 中断。ECCP 模块仍然可以配置为产生 ECCP 中断。

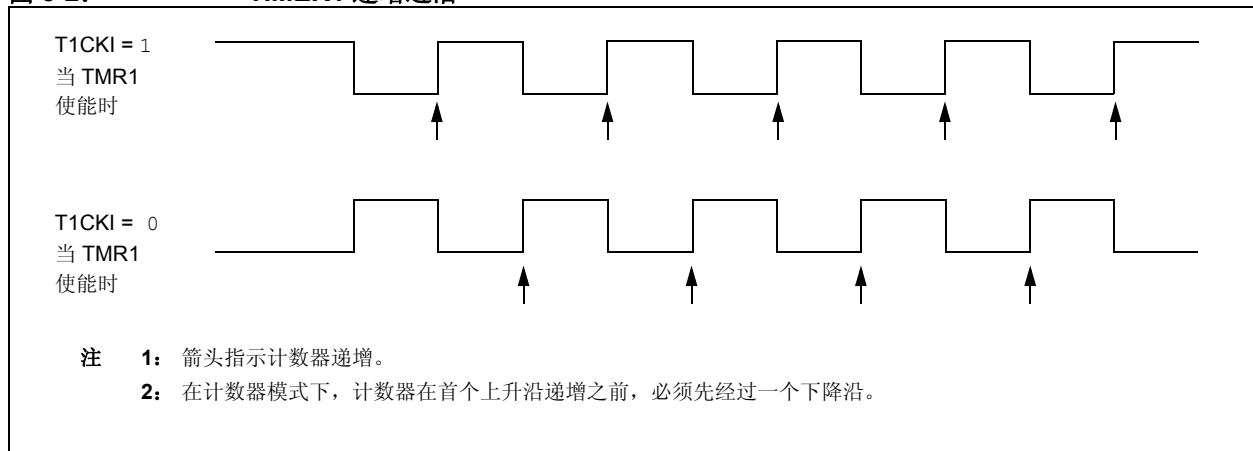
在该工作模式下，CCPR1H:CCPR1L 寄存器对实际上变成 Timer1 的周期寄存器。

要利用特殊事件触发信号，应使 Timer1 与 Fosc 同步。Timer1 的异步操作会导致错过特殊事件触发信号。

如果对 TMR1H 或 TMR1L 的写操作和来自 ECCP 的特殊事件触发信号同时发生，则写操作优先。

更多信息，请参见第 8.0 节“增强型捕捉 / 比较 / PWM 模块”。

图 5-2: TIMER1 递增边沿



MCV18E

5.10 Timer1 控制寄存器

Timer1 控制寄存器 (T1CON) (如寄存器 5-1 所示)
用于控制 Timer1 以及选择 Timer1 模块的各种特性。

寄存器 5-1: T1CON: TIMER1 控制寄存器

| | | | | | | | |
|-------|-----|---------|---------|---------|---------------------|--------|--------|
| U-0 | U-0 | R/W-0 | R/W-0 | R/W-0 | R/W-0 | R/W-0 | R/W-0 |
| — | — | T1CKPS1 | T1CKPS0 | T1OSCEN | $\overline{T1SYNC}$ | TMR1CS | TMR1ON |
| bit 7 | | | | | | | bit 0 |

图注:

R = 可读位

W = 可写位

U = 未实现位, 读为 0

-n = POR 时的值

1 = 置 1

0 = 清零

x = 未知

- bit 7-6 **未实现:** 读为 0
- bit 5-4 **T1CKPS<1:0>:** Timer1 输入时钟预分频比选择位
11 = 1:8 预分频比
10 = 1:4 预分频比
01 = 1:2 预分频比
00 = 1:1 预分频比
- bit 3 **T1OSCEN:** Timer1 振荡器使能控制位
1 = 使能 Timer1 振荡器
0 = 禁止 Timer1 振荡器
- bit 2 **$\overline{T1SYNC}$:** Timer1 外部时钟输入同步控制位
TMR1CS = 1:
1 = 不同步外部时钟输入
0 = 同步外部时钟输入
TMR1CS = 0:
该位为无关位。Timer1 使用内部时钟
- bit 1 **TMR1CS:** Timer1 时钟源选择位
1 = 使用来自 T1CKI 引脚 (在上升沿) 的外部时钟
0 = 内部时钟 (FOSC/4)
- bit 0 **TMR1ON:** Timer1 使能位
1 = 使能 Timer1
0 = 停止 Timer1

表 5-1: 与 TIMER1 相关的寄存器汇总

| 名称 | Bit 7 | Bit 6 | Bit 5 | Bit 4 | Bit 3 | Bit 2 | Bit 1 | Bit 0 | POR/BOR 时的值 | 所有其他复位时的值 |
|--------|---------------------------|-------|---------|---------|---------|-----------------|--------|--------|-------------|-----------|
| INTCON | GIE | PEIE | T0IE | INTE | RBIE | T0IF | INTF | RBIF | 0000 000x | 0000 000x |
| PIE1 | — | ADIE | — | — | — | CCP1IE | TMR2IE | TMR1IE | -0-- -000 | -0-- -000 |
| PIR1 | — | ADIF | — | — | — | CCP1IF | TMR2IF | TMR1IF | -0-- -000 | -0-- -000 |
| TMR1H | 16 位 TMR1 寄存器最高有效字节的保持寄存器 | | | | | | | | xxxx xxxx | uuuu uuuu |
| TMR1L | 16 位 TMR1 寄存器最低有效字节的保持寄存器 | | | | | | | | xxxx xxxx | uuuu uuuu |
| T1CON | — | — | T1CKPS1 | T1CKPS0 | T1OSCEN | T1SYN \bar{C} | TMR1CS | TMR1ON | --00 0000 | --uu uuuu |

图注: x = 未知, u = 不变, - = 未实现 (读为 0)。Timer1 模块不使用阴影单元。

MCV18E

注:

6.0 TIMER2 模块

Timer2 模块是一个 8 位定时器，具有以下特性：

- 8 位定时器寄存器（TMR2）
- 8 位周期寄存器（PR2）
- TMR2 与 PR2 匹配时产生中断
- 可软件编程的预分频器（分频比为 1:1、1:4 和 1:16）
- 可软件编程的后分频器（分频比为 1:1 到 1:16）

Timer2 框图请参见图 6-1。

6.1 Timer2 工作原理

Timer2 模块的时钟输入是系统指令时钟（Fosc/4）。时钟送入 Timer2 预分频器，Timer2 预分频器提供 1:1、1:4 或 1:16 三种预分频比选择。然后预分频器的输出用于递增 TMR2 寄存器。

TMR2 的值与 PR2 的值不断进行比较以确定它们何时匹配。TMR2 将从 00h 开始递增，直到与 PR2 中的值匹配。当匹配发生时，会发生以下两件事：

- TMR2 在下一个递增周期复位为 00h
- Timer2 后分频器递增

Timer2/PR2 比较器的匹配输出被送入 Timer2 后分频器。后分频器具有 1:1 到 1:16 的后分频比选择。Timer2 后分频器的输出用于将 PIR2 寄存器中的 TMR2IF 中断标志位置 1。

TMR2 和 PR2 寄存器均可完全读写。在发生任何复位时，TMR2 寄存器被设置为 00h，PR2 寄存器被设置为 FFh。

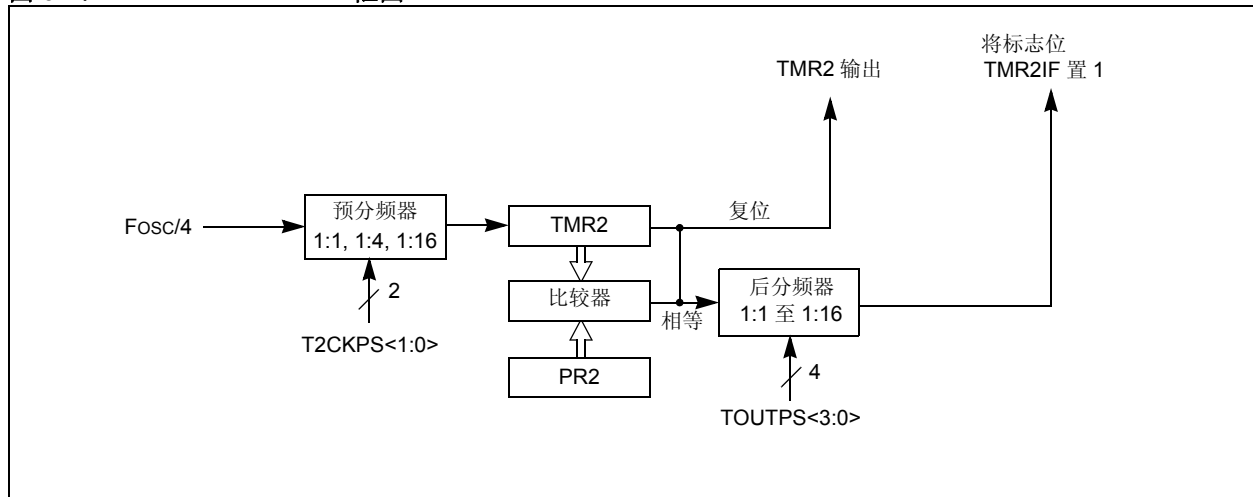
通过将 T2CON 寄存器中的 TMR2ON 位设置为 1 可开启 Timer2。通过将 TMR2ON 位设置为 0 可关闭 Timer2。

Timer2 预分频器由 T2CON 寄存器中的 T2CKPS 位控制。Timer2 后分频器由 T2CON 寄存器中的 TOUTPS 位控制。发生以下事件时，预分频器和后分频器计数器均会清零：

- 对 TMR2 进行写操作。
- 对 T2CON 进行写操作。
- 发生任何器件复位（上电复位、 $\overline{\text{MCLR}}$ 复位、看门狗定时器复位或欠压复位）。

注： 写 T2CON 时 TMR2 不会清零。

图 6-1: TIMER2 框图



MCV18E

寄存器 6-1: T2CON: TIMER2 控制寄存器

| | | | | | | | |
|-------|---------|---------|---------|---------|--------|---------|---------|
| U-0 | R/W-0 | R/W-0 | R/W-0 | R/W-0 | R/W-0 | R/W-0 | R/W-0 |
| — | TOUTPS3 | TOUTPS2 | TOUTPS1 | TOUTPS0 | TMR2ON | T2CKPS1 | T2CKPS0 |
| bit 7 | | | | | | | bit 0 |

图注:

R = 可读位 W = 可写位 U = 未实现位, 读为 0
 -n = POR 时的值 1 = 置 1 0 = 清零 x = 未知

- bit 7 **未实现:** 读为 0
- bit 6-3 **TOUTPS<3:0>:** Timer2 输出后分频比选择位
 - 0000 = 1:1 后分频比
 - 0001 = 1:2 后分频比
 - 0010 = 1:3 后分频比
 - 0011 = 1:4 后分频比
 - 0100 = 1:5 后分频比
 - 0101 = 1:6 后分频比
 - 0110 = 1:7 后分频比
 - 0111 = 1:8 后分频比
 - 1000 = 1:9 后分频比
 - 1001 = 1:10 后分频比
 - 1010 = 1:11 后分频比
 - 1011 = 1:12 后分频比
 - 1100 = 1:13 后分频比
 - 1101 = 1:14 后分频比
 - 1110 = 1:15 后分频比
 - 1111 = 1:16 后分频比
- bit 2 **TMR2ON:** Timer2 使能位
 - 1 = 使能 Timer2
 - 0 = 关闭 Timer2
- bit 1-0 **T2CKPS<1:0>:** Timer2 时钟预分频比选择位
 - 00 = 预分频比为 1
 - 01 = 预分频比为 4
 - 1x = 预分频比为 16

表 6-1: 与 TIMER2 相关的寄存器汇总

| 名称 | Bit 7 | Bit 6 | Bit 5 | Bit 4 | Bit 3 | Bit 2 | Bit 1 | Bit 0 | POR/BOR 时的值 | 所有其他复位时的值 |
|--------|--------------------|---------|---------|---------|---------|--------|---------|---------|-------------|-----------|
| INTCON | GIE | PEIE | TOIE | INTE | RBIE | T0IF | INTF | RBIF | 0000 000x | 0000 000x |
| PIE1 | — | ADIE | — | — | — | CCP1IE | TMR2IE | TMR1IE | -0-- -000 | -0-- -000 |
| PIR1 | — | ADIF | — | — | — | CCP1IF | TMR2IF | TMR1IF | -0-- -000 | -0-- -000 |
| PR2 | Timer2 模块周期寄存器 | | | | | | | | 1111 1111 | 1111 1111 |
| TMR2 | 8 位 TMR2 寄存器的保持寄存器 | | | | | | | | 0000 0000 | 0000 0000 |
| T2CON | — | TOUTPS3 | TOUTPS2 | TOUTPS1 | TOUTPS0 | TMR2ON | T2CKPS1 | T2CKPS0 | -000 0000 | -000 0000 |

图注: x = 未知, u = 不变, - = 未实现 (读为 0)。Timer2 模块不使用阴影单元。

7.0 模数转换器 (ADC) 模块

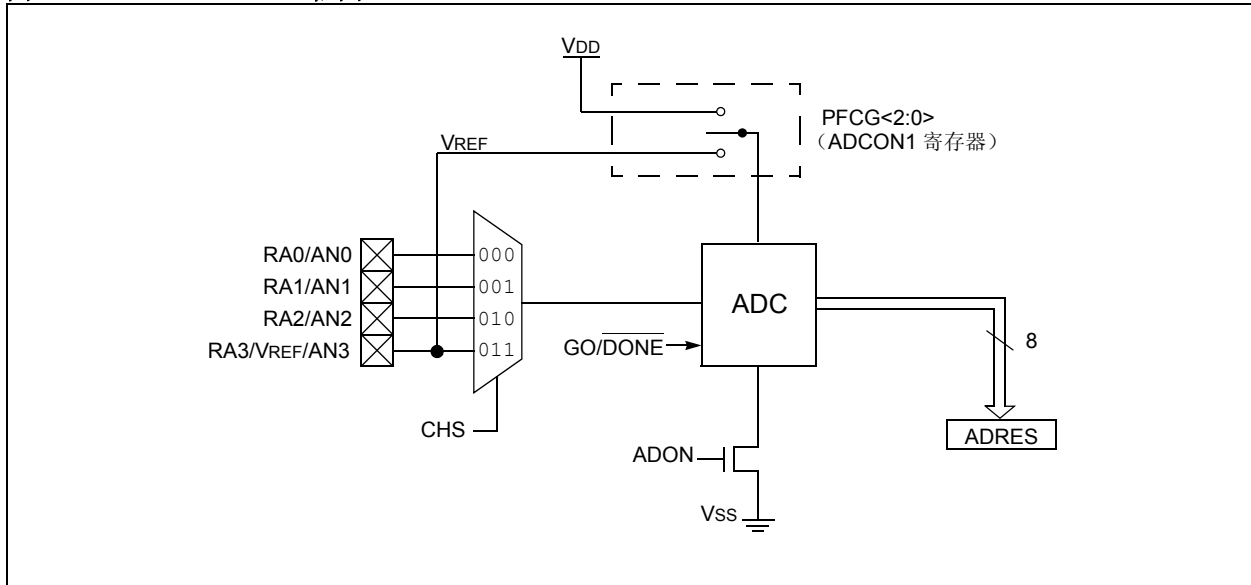
模数转换器 (Analog-to-digital Converter, ADC) 可将模拟输入信号转换为信号的 8 位二进制表示。该模块使用模拟输入, 这些输入通过多路开关连接到同一个采样和保持电路。采样和保持电路的输出与转换器的输入相连接。转换器通过逐次逼近法产生 8 位二进制结果, 并将转换结果存储在 ADC 结果寄存器 (ADRES) 中。

可通过软件选择 VDD 或施加在外部参考引脚上的电压作为 ADC 参考电压。

ADC 可在转换完成时产生中断。该中断可用于将器件从休眠状态唤醒。

图 7-1 给出了 ADC 的框图。

图 7-1: ADC 框图



MCV18E

7.1 ADC 配置

配置和使用 ADC 时必须考虑以下功能：

- 端口配置
- 通道选择
- ADC 参考电压选择
- ADC 转换时钟源
- 中断控制

7.1.1 端口配置

ADC 可用于转换模拟和数字信号。转换模拟信号时，应通过设置相关的 TRIS 和 ADCON1 位将 I/O 引脚配置为模拟输入引脚。更多信息，请参见有关相应端口的章节。

注： 在任何定义为数字输入的引脚上施加模拟电压可能导致输入缓冲器消耗的电流过大。

7.1.2 通道选择

ADCON0 寄存器的 CHS 位决定与采样和保持电路相连接的通道。

当改变通道时，在开始下一次转换前需要一段延时。更多信息，请参见第 7.2 节“ADC 工作原理”。

7.1.3 ADC 参考电压

ADCON1 寄存器的 PCFG 位用于独立控制正参考电压。正参考电压可以是 VDD 或外部电压源。

7.1.4 转换时钟

可通过软件设置 ADCON0 寄存器的 ADSC 位来选择转换时钟源。有以下 4 种时钟频率可供选择：

- Fosc/2
- Fosc/8
- Fosc/32
- FRC （专用内部振荡器）

完成一个位转换所需的时间定义为 TAD。一次完整的 8 位转换需要 9.5 个 TAD 周期。

为正确转换，必须满足合适的 TAD 规范。更多信息，请参见第 10.0 节“电气特性”中的 A/D 转换要求。表 7-1 给出了合适的 ADC 时钟选择的示例。

注： 除非使用 FRC，否则系统时钟频率的任何改变都会改变 ADC 时钟频率，这会影响到 ADC 结果。

表 7-1: 不同器件工作频率下的 TAD

| A/D 时钟源 (TAD) | | 器件频率 | | | |
|---------------|-----------|----------------------------|----------------------------|----------------------------|-----------------------|
| 工作条件 | ADCS<1:0> | 20 MHz | 5 MHz | 1.25 MHz | 333.33 kHz |
| 2 TOSC | 00 | 100 ns ⁽²⁾ | 400 ns ⁽²⁾ | 1.6 μs | 6 μs |
| 8 TOSC | 01 | 400 ns ⁽²⁾ | 1.6 μs | 6.4 μs | 24 μs ⁽³⁾ |
| 32 TOSC | 10 | 1.6 μs | 6.4 μs | 25.6 μs ⁽³⁾ | 96 μs ⁽³⁾ |
| RC | 11 | 2-6 μs ^{(1), (4)} | 2-6 μs ^{(1), (4)} | 2-6 μs ^{(1), (4)} | 2-6 μs ⁽¹⁾ |

图注： 阴影单元表示超出了建议范围。

- 注
- 1: RC 时钟源的典型 TAD 时间为 4 μs。
 - 2: 这些值均违反了所需的最小 TAD 时间。
 - 3: 为了加快转换速度，建议选用另一个时钟源。
 - 4: 当器件频率高于 1 MHz 时，仅在休眠操作时才推荐使用 RC A/D 转换时钟源。

7.1.5 中断

ADC 模块可在模数转换完成时产生中断。ADC 中断标志位是 PIR1 寄存器中的 ADIF 位。ADC 中断允许位是 PIE1 寄存器中的 ADIE 位。ADIF 位必须用软件清零。

| |
|---|
| 注： ADIF 位在每次转换完成时置 1，与是否允许 ADC 中断无关。 |
|---|

器件工作或休眠时都可产生该中断。如果器件处于休眠状态，该中断会唤醒器件。从休眠状态唤醒时，总是执行紧跟 SLEEP 指令后的下一条指令。如果用户试图从休眠状态唤醒器件并恢复主代码执行，必须禁止全局中断。如果允许了全局中断，执行将切换到中断服务程序。

更多信息，请参见第 7.1.5 节“中断”。

7.2 ADC 工作原理

7.2.1 启动转换

要使能 ADC 模块，ADCON0 寄存器的 ADON 位必须设置为 1。将 ADCON0 寄存器的 GO/DONE 位设置为 1 将启动模数转换。

注： 不应在启动 ADC 的同一条指令中将 GO/DONE 位置 1。请参见第 7.2.6 节“A/D 转换步骤”。

7.2.2 转换完成

转换完成时，ADC 模块将：

- 清零 GO/DONE 位
- 将 ADIF 标志位置 1
- 用新的转换结果更新 ADRES 寄存器

7.2.3 终止转换

如果必须在转换完成前终止转换，可用软件将 GO/DONE 位清零。部分完成的模数转换结果将不会更新 ADRES 寄存器。相反，ADRES 寄存器仍然保留前一次转换的值。此外，必须经过 2 TAD 的延时后才能开始下一次采集。延时结束后，将自动开始对选定通道的输入进行采集。

注： 器件复位将强制所有寄存器进入复位状态。因此，ADC 模块被关闭，任何在进行中的转换操作被终止。

7.2.4 休眠期间的 ADC 操作

ADC 模块可以在休眠模式下工作。这需要将 ADC 时钟源设置为 FRC 选项。当选择 FRC 时钟源时，ADC 需等待一个额外的指令周期后才能启动转换。这使得可以执行 SLEEP 指令，这将降低转换期间的系统噪声。如果允许了 ADC 中断，转换完成时器件将从休眠状态唤醒。如果禁止了 ADC 中断，尽管 ADON 位仍保持置 1，转换完成后 ADC 模块将关闭。

ADC 时钟源不是 FRC 时，尽管 ADON 位仍保持置 1，SLEEP 指令会导致当前转换中止，ADC 模块关闭。

7.2.5 特殊事件触发器

ECCP 特殊事件触发器允许定期 ADC 测量而无需软件干预。当出现触发信号时，GO/DONE 位由硬件置 1，Timer1 计数器复位为零。

使用特殊事件触发器不能确保正确的 ADC 时序。用户需负责确保满足 ADC 时序要求。

更多信息，请参见第 8.0 节“增强型捕捉 / 比较 / PWM 模块”。

7.2.6 A/D 转换步骤

以下是使用 ADC 执行模数转换的示例步骤：

1. 配置端口：
 - 禁止引脚输出驱动器（见 TRIS 寄存器）
 - 将引脚配置为模拟输入
2. 配置 ADC 模块：
 - 选择 ADC 转换时钟
 - 配置参考电压
 - 选择 ADC 输入通道
 - 选择结果格式
 - 开启 ADC 模块
3. 配置 ADC 中断（可选）：
 - 清零 ADC 中断标志
 - 允许 ADC 中断
 - 允许外设中断
 - 允许全局中断⁽¹⁾
4. 等待所需采集时间⁽²⁾。
5. 通过将 GO/DONE 位置 1 启动转换。
6. 通过以下方式之一等待 ADC 转换完成：
 - 查询 GO/DONE 位
 - 等待 ADC 中断（已允许中断）
7. 读取 ADC 结果
8. 清零 ADC 中断标志（如果已允许中断则需要）。

注 1： 如果用户试图从休眠状态唤醒器件并恢复主代码执行，必须禁止全局中断。

2： 请参见第 7.3 节“A/D 采集要求”。

7.2.7 ADC 寄存器定义

以下寄存器用于控制 ADC 的操作。

寄存器 7-1: ADCON0: A/D 控制寄存器 0

| | | | | | | | |
|-------|-------|-------|-------|-------|---------|-------|-------|
| R/W-0 | R/W-0 | R/W-0 | R/W-0 | R/W-0 | R/W-0 | U-0 | R/W-0 |
| ADCS1 | ADCS0 | CHS2 | CHS1 | CHS0 | GO/DONE | — | ADON |
| bit 7 | | | | | | bit 0 | |

图注:

| | | |
|--------------|---------|----------------|
| R = 可读位 | W = 可写位 | U = 未实现位, 读为 0 |
| -n = POR 时的值 | 1 = 置 1 | 0 = 清零 |
| | | x = 未知 |

bit 7-6 **ADCS<1:0>**: A/D 转换时钟选择位
 00 = FOSC/2
 01 = FOSC/8
 10 = FOSC/32
 11 = FRC (由内部 ADC RC 振荡器产生的时钟)

bit 5-3 **CHS<2:0>**: 模拟通道选择位
 000 = AN0
 001 = AN1
 010 = AN2
 011 = AN3
 100 = 保留, 不要使用
 101 = 保留, 不要使用
 110 = 保留, 不要使用
 111 = 保留, 不要使用

bit 2 **GO/DONE**: A/D 转换状态位
 1 = A/D 转换正在进行。将该位置 1 可启动 A/D 转换周期。
 A/D 转换完成后, 该位由硬件自动清零。
 0 = A/D 转换已完成 / 未进行

bit 1 未实现: 读为 0

bit 0 **ADON**: ADC 使能位
 1 = 使能 ADC
 0 = 禁止 ADC, 不消耗工作电流

MCV18E

寄存器 7-2: ADCON1: A/D 控制寄存器 1

| | | | | | | | |
|-------|-----|-----|-----|-----|-------|-------|-------|
| U-0 | U-0 | U-0 | U-0 | U-0 | R/W-0 | R/W-0 | R/W-0 |
| — | — | — | — | — | PCFG2 | PCFG1 | PCFG0 |
| bit 7 | | | | | | | bit 0 |

图注:

R = 可读位

W = 可写位

U = 未实现位, 读为 0

-n = POR 时的值

1 = 置 1

0 = 清零

x = 未知

bit 7-3 未实现: 读为 0

bit 2-0 **PCFG<2:0>**: A/D 端口配置控制位

下表例举了各种配置的效果:

| PCFG<2:0> | AN3/ RA3 | AN2/ RA2 | AN1/ RA1 | AN0/ RA0 | VREF |
|-----------|-------------|-------------|-------------|-------------|------|
| 0x0 | A | A | A | A | VDD |
| 0x1 | VREF | A | A | A | RA3 |
| 100 | A | D | A | A | VDD |
| 101 | VREF | D | A | A | RA3 |
| 11x | D | D | D | D | VDD |

图注: A = 模拟输入, D = 数字 I/O

7.3 A/D 采集要求

为了使 ADC 达到规定的精度，必须使充电保持电容（CHOLD）完全充电至输入通道的电平。模拟输入模型如图 7-2 所示。模拟信号源阻抗（Rs）和内部采样开关阻抗（Rss）直接影响电容 CHOLD 的充电时间。采样开关阻抗（Rss）随器件电压（VDD）的变化而变化，请参见图 7-2。**模拟信号源的最大阻抗建议值为 10 kΩ。**采集时间可能随着源阻抗的降低而缩短。在选择（或改变）模拟输入通道后，必须在开始转换前完成 A/D 采集。

可以使用公式 7-1 来计算最小采集时间。该公式假设误差为 1/2 LSB。1/2 LSB 误差是 ADC 达到规定分辨率所允许的最大误差。

公式 7-1: 采集时间示例

假设： 温度 = 50°C，外部阻抗 10 kΩ，5.0V VDD

$$\begin{aligned} T_{ACQ} &= \text{放大器稳定时间} + \text{保持电容充电时间} + \text{温度系数} \\ &= T_{AMP} + T_C + T_{COFF} \\ &= 2 \mu\text{s} + T_C + [(\text{温度} - 25^\circ\text{C})(0.05 \mu\text{s}/^\circ\text{C})] \end{aligned}$$

T_C 值可以用以下公式近似计算：

$$V_{APPLIED} \left(1 - \frac{1}{2047} \right) = V_{CHOLD} \quad ; [1] \text{ 充电到 } V_{CHOLD} \text{ (1/2 LSB 误差范围)}$$

$$V_{APPLIED} \left(1 - e^{-\frac{T_C}{RC}} \right) = V_{CHOLD} \quad ; [2] \text{ 响应 } V_{APPLIED} \text{ 充电到 } V_{CHOLD}$$

$$V_{APPLIED} \left(1 - e^{-\frac{T_C}{RC}} \right) = V_{APPLIED} \left(1 - \frac{1}{2047} \right) \quad ; \text{ 结合 [1] 和 [2]}$$

求解 T_C ：

$$\begin{aligned} T_C &= -CHOLD(R_{IC} + R_{SS} + R_S) \ln(1/2047) \\ &= -10\text{pF}(1\text{k}\Omega + 7\text{k}\Omega + 10\text{k}\Omega) \ln(0.0004885) \\ &= 1.37 \mu\text{s} \end{aligned}$$

因此：

$$\begin{aligned} T_{ACQ} &= 2 \mu\text{s} + 1.37 \mu\text{s} + [(50^\circ\text{C} - 25^\circ\text{C})(0.05 \mu\text{s}/^\circ\text{C})] \\ &= 4.67 \mu\text{s} \end{aligned}$$

- 注 1：** 因为参考电压（VREF）自行抵消，因此它对该公式没有影响。
- 注 2：** 充电保持电容（CHOLD）在每次转换后不会放电。
- 注 3：** 模拟信号源的最大阻抗建议值为 10 kΩ。此要求是为了符合引脚泄漏电流规范。

MCV18E

图 7-2: 模拟输入模型

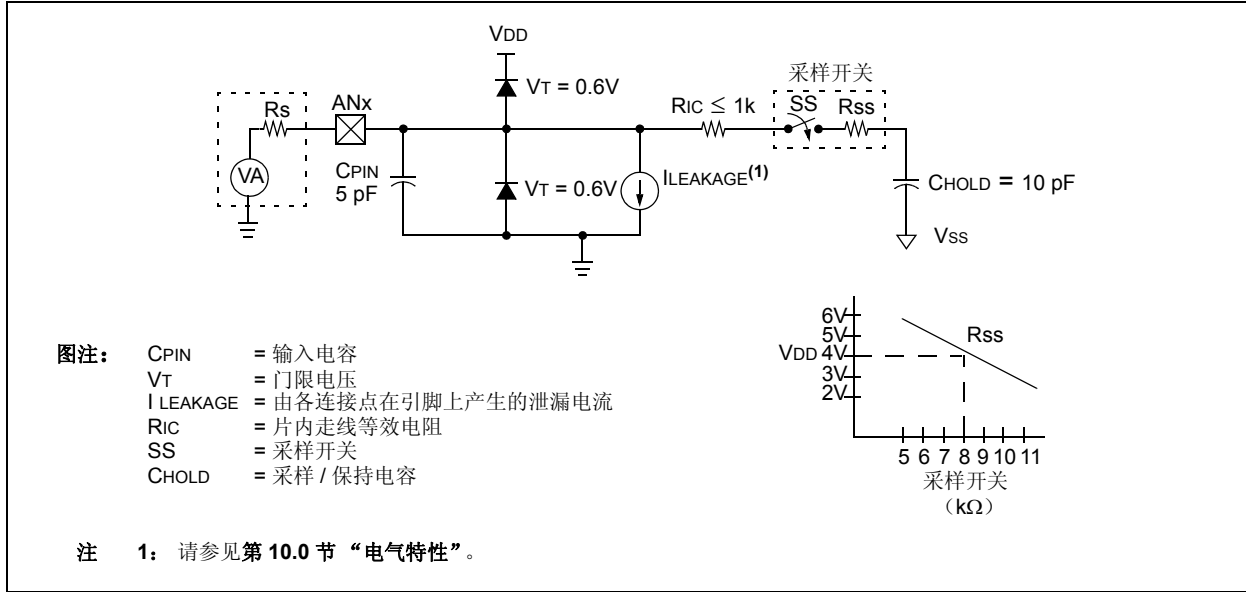


图 7-3: ADC 传递函数

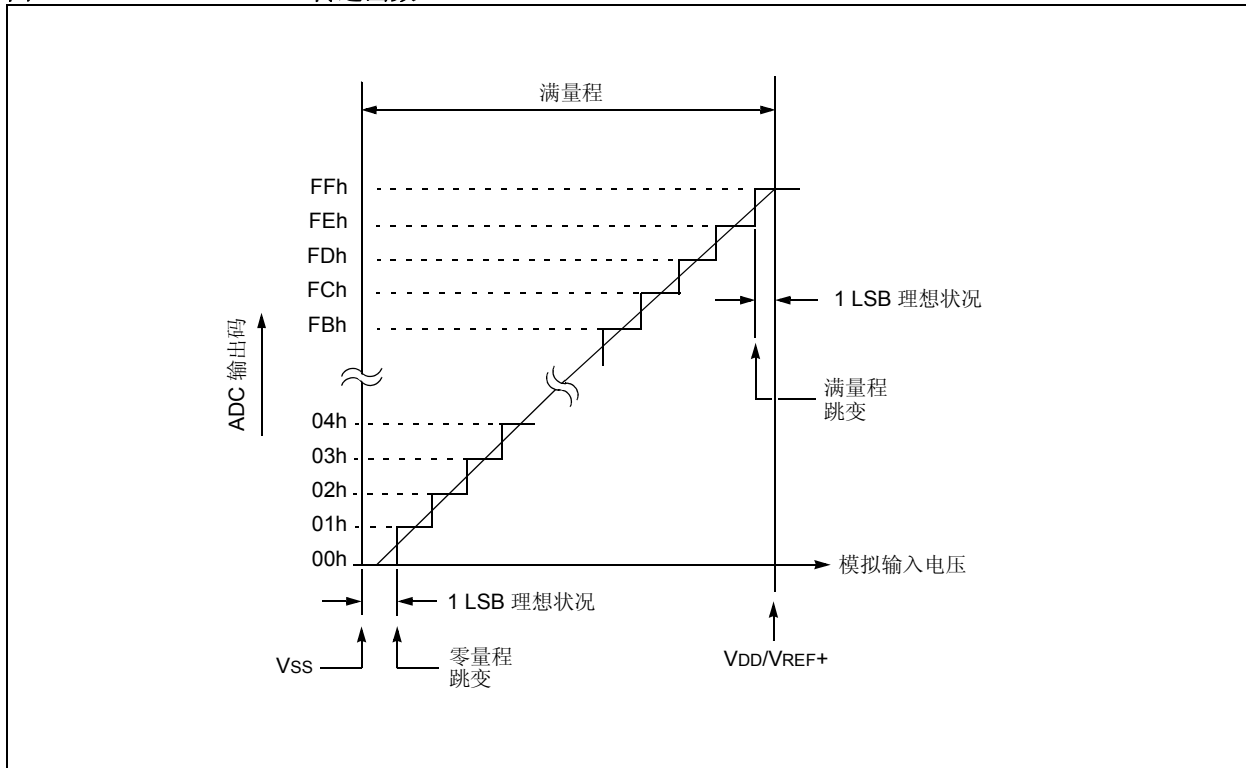


表 7-2: 与 ADC 相关的寄存器汇总

| 名称 | Bit 7 | Bit 6 | Bit 5 | Bit 4 | Bit 3 | Bit 2 | Bit 1 | Bit 0 | POR/BOR 时的值 | 所有其他复位时的值 |
|--------|-----------|-------|-------|--------|--------|---------|--------|--------|-------------|-----------|
| ADCON0 | ADCS1 | ADCS0 | CHS2 | CHS1 | CHS0 | GO/DONE | — | ADON | 0000 0000 | 0000 0000 |
| ADCON1 | — | — | — | — | — | PCFG2 | PCFG1 | PCFG0 | ---- -000 | ---- -000 |
| ADRES | A/D 结果寄存器 | | | | | | | | xxxx xxxx | uuuu uuuu |
| INTCON | GIE | PEIE | T0IE | INTE | RBIE | T0IF | INTF | RBIF | 0000 000x | 0000 000x |
| PIE1 | — | ADIE | — | — | — | CCP1IE | TMR2IE | TMR1IE | -0-- -000 | -0-- -000 |
| PIR1 | — | ADIF | — | — | — | CCP1IF | TMR2IF | TMR1IF | -0-- -000 | -0-- -000 |
| PORTA | — | — | — | RA4 | RA3 | RA2 | RA1 | RA0 | --xx xxxx | --uu uuuu |
| TRISA | — | — | — | TRISA4 | TRISA3 | TRISA2 | TRISA1 | TRISA0 | --11 1111 | --11 1111 |

图注: x = 未知, u = 不变, - = 未实现 (读为 0)。ADC 模块不使用阴影单元。

MCV18E

注:

8.1 捕捉模式

在捕捉模式下，当在 CCP1 引脚上发生事件时，CCPR1H:CCPR1L 捕捉 TMR1 寄存器的 16 位值。这些事件如下所示，可由 CCP1CON 寄存器的 CCP1M<3:0> 位进行配置：

- 每个下降沿
- 每个上升沿
- 每 4 个上升沿
- 每 16 个上升沿

进行捕捉后，PIR1 寄存器的中断请求标志位 CCP1IF 被置 1。该中断标志必须用软件清零。如果在读出 CCPR1H 和 CCPR1L 寄存器对中的值之前又发生另一次捕捉，那么原来的捕捉值会被新捕捉值覆盖（见图 8-1）。

8.1.1 CCP1 引脚配置

在捕捉模式下，应通过将相关的 TRIS 控制位置 1 将 CCP1 引脚配置为输入。

注： 如果 CCP1 引脚被配置为输出，则写端口将产生一次捕捉条件。

8.1.2 TIMER1 模式选择

为使 CCP 模块使用捕捉特性，Timer1 必须运行在定时器模式或同步计数器模式下。在异步计数器模式下，可能无法进行捕捉操作。

8.1.3 软件中断

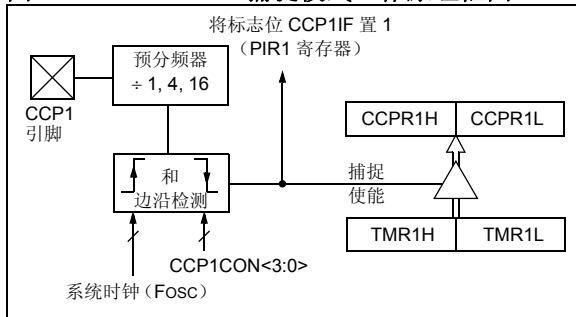
当捕捉模式改变时，可能会产生错误的捕捉中断。用户应保持 PIE1 寄存器的 CCP1IE 中断允许位清零以避免发生错误中断。此外，用户应在工作模式的任何改变之后清零 PIR1 寄存器的 CCP1IF 中断标志位。

8.1.4 CCP 预分频器

CCP1CON 寄存器的 CCP1M<3:0> 位指定 4 种预分频比设置。每当关闭 CCP 模块，或者 CCP 模块不在捕捉模式下时，预分频器计数器就会被清零。任何复位都会将预分频器计数器清零。

从一个捕捉预分频比切换到另一个捕捉预分频比不会清零预分频器，而且可能产生一次错误中断。为避免此意外操作，可在改变预分频比前通过清零 CCP1CON 寄存器来关闭模块（见例 8-1）。

图 8-1: 捕捉模式工作原理框图



例 8-1: 改变捕捉预分频比

```

BANKSEL CCP1CON    ;Set Bank bits to point
                    ;to CCP1CON
CLRWF   CCP1CON    ;Turn CCP module off
MOVLW  NEW_CAPT_PS;Load the W reg with
                    ; the new prescaler
MOVWF  CCP1CON    ; move value and CCP ON
                    ;Load CCP1CON with this
                    ; value
    
```

表 8-2: 与捕捉相关的寄存器

| 名称 | Bit 7 | Bit 6 | Bit 5 | Bit 4 | Bit 3 | Bit 2 | Bit 1 | Bit 0 | POR/BOR 时的值 | 所有其他复位时的值 |
|---------|---------------------------|--------|--------|--------|--------|--------|--------|--------|-------------|-----------|
| CCPR1L | 捕捉 / 比较 / PWM 寄存器 1 (LSB) | | | | | | | | xxxx xxxx | xxxx xxxx |
| CCPR1H | 捕捉 / 比较 / PWM 寄存器 1 (MSB) | | | | | | | | xxxx xxxx | xxxx xxxx |
| CCP1CON | P1M1 | P1M0 | DC1B1 | DC1B0 | CCP1M3 | CCP1M2 | CCP1M1 | CCP1M0 | 0000 0000 | 0000 0000 |
| INTCON | GIE | PEIE | T0IE | INTE | RBIE | T0IF | INTF | RBIF | 0000 000x | 0000 000x |
| PIE1 | — | ADIE | — | — | — | CCP1IE | TMR2IE | TMR1IE | -0-- -000 | -0-- -000 |
| PIR1 | — | ADIF | — | — | — | CCP1IF | TMR2IF | TMR1IF | -0-- -000 | -0-- -000 |
| PR2 | Timer2 周期寄存器 | | | | | | | | 1111 1111 | 1111 1111 |
| TMR1L | 16 位 TMR1 寄存器最低有效字节的保持寄存器 | | | | | | | | xxxx xxxx | xxxx xxxx |
| TMR1H | 16 位 TMR1 寄存器最高有效字节的保持寄存器 | | | | | | | | xxxx xxxx | xxxx xxxx |
| TMR2 | Timer2 模块寄存器 | | | | | | | | 0000 0000 | 0000 0000 |
| TRISB | TRISB7 | TRISB6 | TRISB5 | TRISB4 | TRISB3 | TRISB2 | TRISB1 | TRISB0 | 1111 1111 | 1111 1111 |

图注: — = 未实现位 (读为 0), u = 不变, x = 未知。捕捉不使用阴影单元。

8.2 比较模式

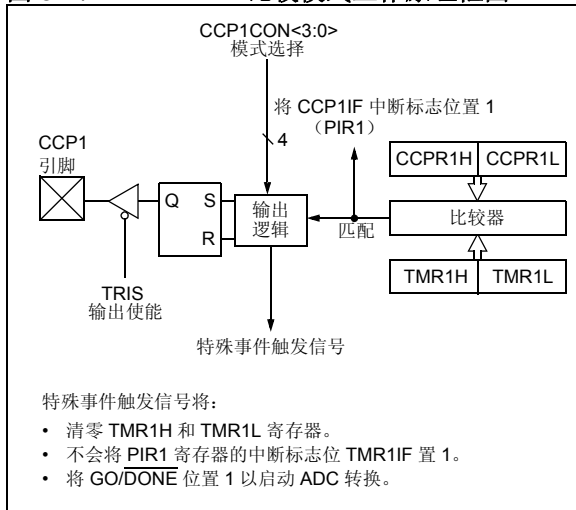
在比较模式下，16位CCPR1寄存器的值不断与TMR1寄存器对的值作比较。当二者匹配时，CCP1模块可能会：

- 翻转 CCP1 输出。
- 将 CCP1 输出置 1。
- 将 CCP1 输出清零。
- 产生特殊事件触发信号。
- 产生软件中断。

引脚的动作由 CCP1CON 寄存器的 CCP1M<3:0> 控制位的值决定。

所有比较模式都能产生中断。

图 8-2: 比较模式工作原理框图



8.2.1 CCP1 引脚配置

用户必须通过将相关的 TRIS 位清零将 CCP1 引脚配置为输出。

注： 清零 CCP1CON 寄存器将强制 CCP1 比较输出锁存器为默认的低电平。这不是端口 I/O 数据锁存器。

8.2.2 TIMER1 模式选择

在比较模式下，Timer1 必须运行在定时器模式或同步计数器模式下。在异步计数器模式下，可能无法进行比较操作。

8.2.3 软件中断模式

当选择产生软件中断模式 (CCP1M<3:0> = 1010) 时，CCP1 模块不会对 CCP1 引脚进行控制 (见 CCP1CON 寄存器)。

8.2.4 特殊事件触发器

当选择特殊事件触发器模式 (CCP1M<3:0> = 1011) 时，CCP1 模块将进行以下操作：

- 复位 Timer1
- 如果 ADC 被使能，则启动 ADC 转换

在该模式下，CCP1 模块不会对 CCP1 引脚进行控制 (见 CCP1CON 寄存器)。

一旦 TMR1H 和 TMR1L 寄存器对与 CCPR1H 和 CCPR1L 寄存器对之间发生匹配，便会发生 CCP 的特殊事件触发输出。TMR1H 和 TMR1L 寄存器对在 Timer1 时钟的下一个上升沿到来之前不会复位。这使 CCPR1H 和 CCPR1L 寄存器对可作为 Timer1 的 16 位可编程周期寄存器。

- 注**
- 1: CCP 模块的特殊事件触发信号不会将 PIR1 寄存器的中断标志位 TMRxIF 置 1。
 - 2: 通过在产生特殊事件触发信号的时钟边沿和使 Timer1 复位的时钟边沿之间更改 CCPR1H 和 CCPR1L 寄存器对的内容来移除匹配条件，可以避免复位发生。

表 8-3: 与比较相关的寄存器

| 名称 | Bit 7 | Bit 6 | Bit 5 | Bit 4 | Bit 3 | Bit 2 | Bit 1 | Bit 0 | POR/BOR 时的值 | 所有其他复位时的值 |
|---------|---------------------------|--------|--------|--------|--------|--------|--------|--------|-------------|-----------|
| CCPR1L | 捕捉 / 比较 / PWM 寄存器 1 (LSB) | | | | | | | | xxxx xxxx | xxxx xxxx |
| CCPR1H | 捕捉 / 比较 / PWM 寄存器 1 (MSB) | | | | | | | | xxxx xxxx | xxxx xxxx |
| CCP1CON | P1M1 | P1M0 | DC1B1 | DC1B0 | CCP1M3 | CCP1M2 | CCP1M1 | CCP1M0 | 0000 0000 | 0000 0000 |
| INTCON | GIE | PEIE | T0IE | INTE | RBIE | T0IF | INTF | RBIF | 0000 000x | 0000 000x |
| PIE1 | — | ADIE | — | — | — | CCP1IE | TMR2IE | TMR1IE | -0-- -000 | -0-- -000 |
| PIR1 | — | ADIF | — | — | — | CCP1IF | TMR2IF | TMR1IF | -0-- -000 | -0-- -000 |
| PR2 | Timer2 周期寄存器 | | | | | | | | 1111 1111 | 1111 1111 |
| TMR1L | 16 位 TMR1 寄存器最低有效字节的保持寄存器 | | | | | | | | xxxx xxxx | xxxx xxxx |
| TMR1H | 16 位 TMR1 寄存器最高有效字节的保持寄存器 | | | | | | | | xxxx xxxx | xxxx xxxx |
| TMR2 | Timer2 模块寄存器 | | | | | | | | 0000 0000 | 0000 0000 |
| TRISB | TRISB7 | TRISB6 | TRISB5 | TRISB4 | TRISB3 | TRISB2 | TRISB1 | TRISB0 | 1111 1111 | 1111 1111 |

图注: — = 未实现位 (读为 0), u = 不变, x = 未知。比较不使用阴影单元。

MCV18E

8.3 PWM 模式

PWM 模式在 CCP1 引脚上产生脉宽调制信号。占空比、周期和分辨率由以下寄存器决定：

- PR2
- T2CON
- CCP1L
- CCP1CON

在脉宽调制 (Pulse-Width Modulation, PWM) 模式下, CCP 模块会在 CCP1 引脚上产生高达 10 位分辨率的 PWM 输出信号。由于 CCP1 引脚与端口数据锁存器复用, 必须清零相应的 TRIS 位以使能 CCP1 引脚输出驱动器。

注: 清零 CCP1CON 寄存器将放弃对 CCP1 引脚的 CCP1 控制。

图 8-3 给出了 PWM 工作原理的简化框图。

图 8-4 给出了 PWM 信号的典型波形。

关于如何设置用于 PWM 操作的 CCP 模块的详细步骤, 请参见第 8.3.7 节 “设置 PWM 操作”。

PWM 输出 (图 8-4) 有一个时基 (周期) 和一段输出保持为高电平的时间 (占空比)。

图 8-4: CCP PWM 输出

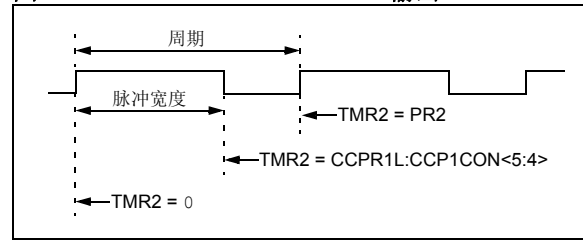
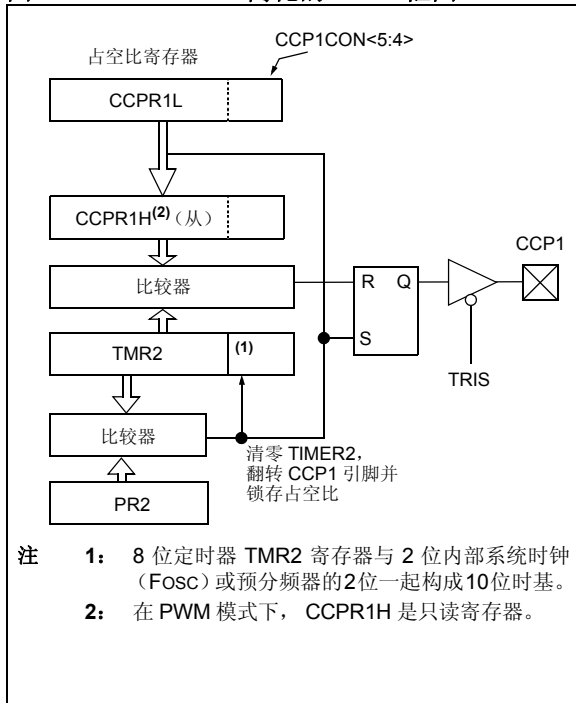


图 8-3: 简化的 PWM 框图



8.3.1 PWM 周期

PWM 周期可通过 Timer2 的 PR2 寄存器来指定。PWM 周期可由公式 8-1 计算。

公式 8-1: PWM 周期

$$PWM \text{ 周期} = [(PR2) + 1] \cdot 4 \cdot T_{osc} \cdot (TMR2 \text{ 预分频值})$$

当 TMR2 中的值与 PR2 中的值相等时，在下一个递增周期将发生以下 3 个事件：

- TMR2 被清零
- CCP1 引脚被置 1。（例外情况：如果 PWM 占空比 = 0%，引脚将不会被置 1。）
- PWM 占空比从 CCPR1L 锁存到 CCPR1H。

注： 在确定 PWM 频率时不会用到 Timer2 后分频比（见第 6.0 节“Timer2 模块”）。

8.3.2 PWM 占空比

通过将 10 位值写入多个寄存器来指定 PWM 占空比：CCPR1L 寄存器和 CCP1CON 寄存器的 DC1B<1:0> 位。CCPR1L 包含高 8 位，而 CCP1CON 寄存器的 DC1B<1:0> 位包含低 2 位。可以在任何时候写入 CCPR1L 和 CCP1CON 寄存器的 DC1B<1:0> 位。在周期结束（即 PR2 和 TMR2 寄存器发生匹配）前占空比值不会被锁存到 CCPR1H 中。使用 PWM 时，CCPR1H 寄存器是只读的。

公式 8-2 用于计算 PWM 脉冲宽度。

公式 8-3 用于计算 PWM 占空比。

公式 8-2: 脉冲宽度

$$\text{脉冲宽度} = (CCPR1L:CCP1CON<5:4>) \cdot T_{osc} \cdot (TMR2 \text{ 预分频值})$$

公式 8-3: 占空比

$$\text{占空比} = \frac{(CCPR1L:CCP1CON<5:4>)}{4(PR2 + 1)}$$

CCPR1H 寄存器和一个 2 位的内部锁存器用于为 PWM 占空比提供双重缓冲。这种双重缓冲结构对避免在 PWM 操作中产生毛刺非常重要。

8 位定时器 TMR2 寄存器与 2 位内部系统时钟（F_{osc}）或预分频器的 2 位一起构成 10 位时基。如果 Timer2 预分频比设置为 1:1，则使用系统时钟。

当 10 位时基与 CCPR1H 和 2 位锁存值匹配时，CCP1 引脚被清零（见图 8-3）。

MCV18E

8.3.3 PWM 分辨率

分辨率决定给定周期的可用占空比。例如，10 位分辨率将可得到 1024 个不连续的占空比，而 8 位分辨率将可得到 256 个不连续的占空比。

当 PR2 为 255 时，PWM 最大分辨率为 10 位。分辨率是 PR2 寄存器值的函数，如公式 8-4 所示。

公式 8-4: PWM 分辨率

$$\text{分辨率} = \frac{\log[4(PR2 + 1)]}{\log(2)} \text{ 位}$$

注： 如果脉冲宽度值比周期长，则指定的 PWM 引脚将保持不变。

表 8-4: PWM 频率和分辨率示例 (Fosc = 20 MHz)

| PWM 频率 | 1.22 kHz | 4.88 kHz | 19.53 kHz | 78.12 kHz | 156.3 kHz | 208.3 kHz |
|--------------------|----------|----------|-----------|-----------|-----------|-----------|
| 定时器预分频值 (1、4 和 16) | 16 | 4 | 1 | 1 | 1 | 1 |
| PR2 值 | 0xFF | 0xFF | 0xFF | 0x3F | 0x1F | 0x17 |
| 最大分辨率 (位) | 10 | 10 | 10 | 8 | 7 | 6.6 |

表 8-5: PWM 频率和分辨率示例 (Fosc = 8 MHz)

| PWM 频率 | 1.22 kHz | 4.90 kHz | 19.61 kHz | 76.92 kHz | 153.85 kHz | 200.0 kHz |
|--------------------|----------|----------|-----------|-----------|------------|-----------|
| 定时器预分频值 (1、4 和 16) | 16 | 4 | 1 | 1 | 1 | 1 |
| PR2 值 | 0x65 | 0x65 | 0x65 | 0x19 | 0x0C | 0x09 |
| 最大分辨率 (位) | 8 | 8 | 8 | 6 | 5 | 5 |

8.3.4 休眠模式下的操作

在休眠模式下，TMR2 寄存器将不会递增，模块状态也不会改变。如果 CCP1 引脚正在驱动一个值，则会继续驱动该值。当器件被唤醒时，TMR2 将从先前状态继续。

8.3.5 改变系统时钟频率

PWM 频率是由系统时钟频率得到的。系统时钟频率的任何改变将导致 PWM 频率的改变。

8.3.6 复位的影响

任何复位都将强制所有端口为输入模式，并强制 CCP 寄存器为其复位状态。

8.3.7 设置 PWM 操作

当配置 CCP 模块的 PWM 操作时，可采用以下步骤：

1. 通过将相关的 TRIS 位置 1，禁止 PWM 引脚（CCP1）输出驱动器。
2. 通过装入 PR2 寄存器设置 PWM 周期。
3. 通过将适当的值装入 CCP1CON 寄存器，将 CCP 模块配置为 PWM 模式。
4. 通过装入 CCPR1L 寄存器和 CCP1CON 寄存器的 DC1B 位，设置 PWM 占空比。
5. 配置和启动 Timer2：
 - 清零 PIR1 寄存器的 TMR2IF 中断标志位。
 - 通过装入 T2CON 寄存器的 T2CKPS 位设置 Timer2 预分频值。
 - 通过将 T2CON 寄存器的 TMR2ON 位置 1 使能 Timer2。
6. 在新的 PWM 周期开始后使能 PWM 输出：
 - 等待直到 Timer2 上溢（PIR1 寄存器的 TMR2IF 位置 1）。
 - 通过清零相关的 TRIS 位使能 CCP1 引脚输出驱动器。

MCV18E

8.3.8 增强型 PWM 自动关闭模式

PWM模式支持自动关闭模式，当外部关闭事件发生时将禁止 PWM 输出。自动关闭模式将 PWM 输出引脚置于预先确定的状态。该模式用于防止过大的 PWM 脉冲损坏应用。

通过使用 ECCPAS 寄存器的 ECCPASx 位来选择自动关闭源。关闭事件由以下条件产生：

- INT 引脚上的逻辑 0
- 用固件将 ECCPASE 位置 1

关闭条件由 ECCPAS 寄存器的 ECCPASE（自动关闭事件状态）位指示。如果该位为 0，PWM 引脚正常工作。如果该位为 1，PWM 输出处于关闭状态。请参见图 8-5。

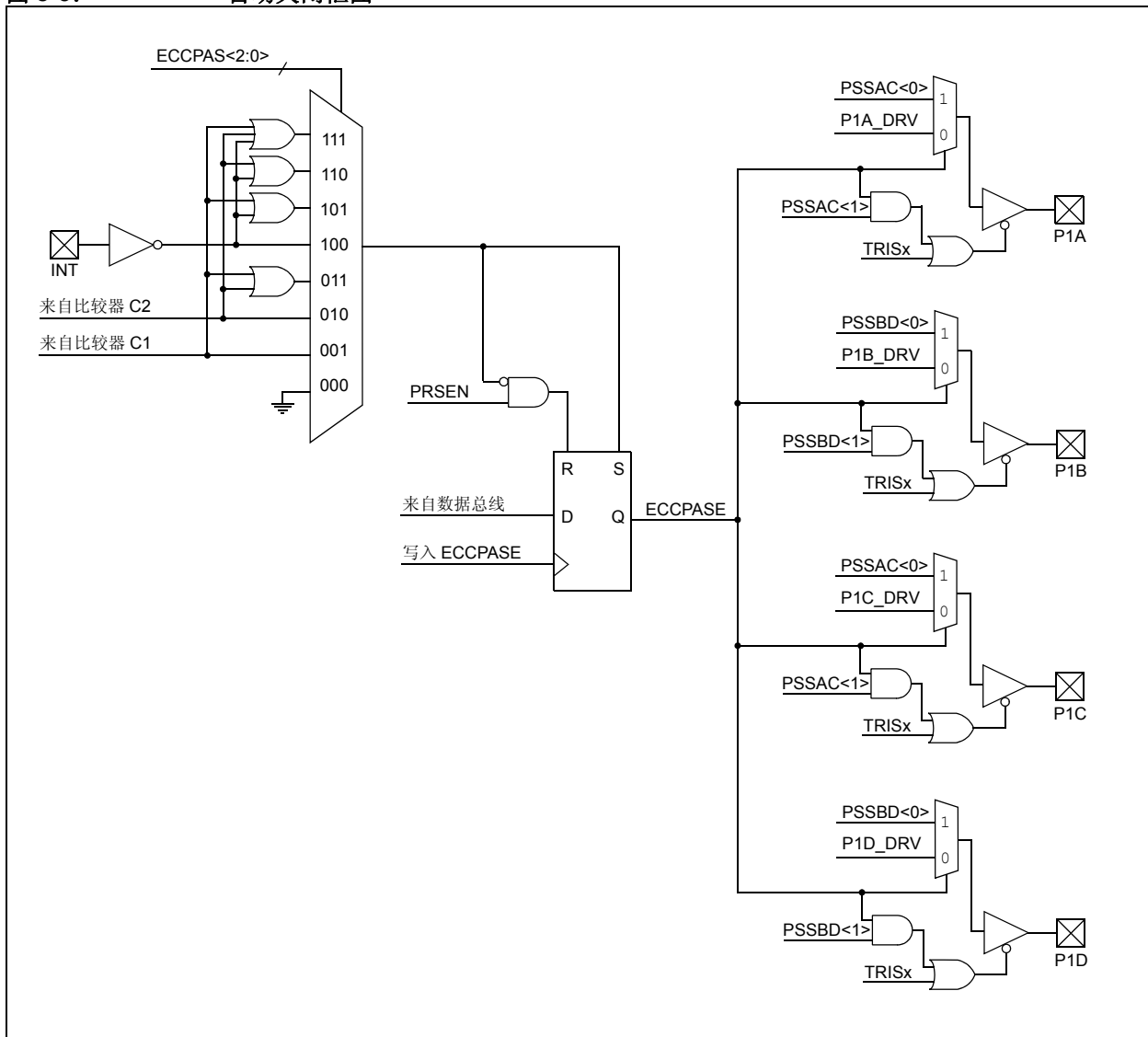
当关闭事件发生时，会发生以下两个事件：

ECCPASE 位被设置为 1。ECCPASE 将保持置 1 直到由固件清零或发生自动重启（见第 8.3.9 节“自动重启模式”）。

使能的 PWM 引脚被陆续置为其关闭状态。PWM 输出引脚被分组为 [P1A/P1C] 和 [P1B/P1D]。每对引脚的状态由 ECCPAS 寄存器的 PSSAC 和 PSSBD 位决定。每对引脚可以设置为以下 3 种状态之一：

- 驱动逻辑 1
- 驱动逻辑 0
- 三态（高阻态）

图 8-5: 自动关闭框图



寄存器 8-2: ECCPAS: 增强型捕捉 / 比较 / PWM 自动关闭控制寄存器

| R/W-0 | R/W-0 | U-0 | R/W-0 | R/W-0 | R/W-0 | R/W-0 | R/W-0 |
|---------|---------|-----|---------|--------|--------|--------|--------|
| ECCPASE | ECCPAS2 | — | ECCPAS0 | PSSAC1 | PSSAC0 | PSSBD1 | PSSBD0 |
| bit 7 | | | | | | | bit 0 |

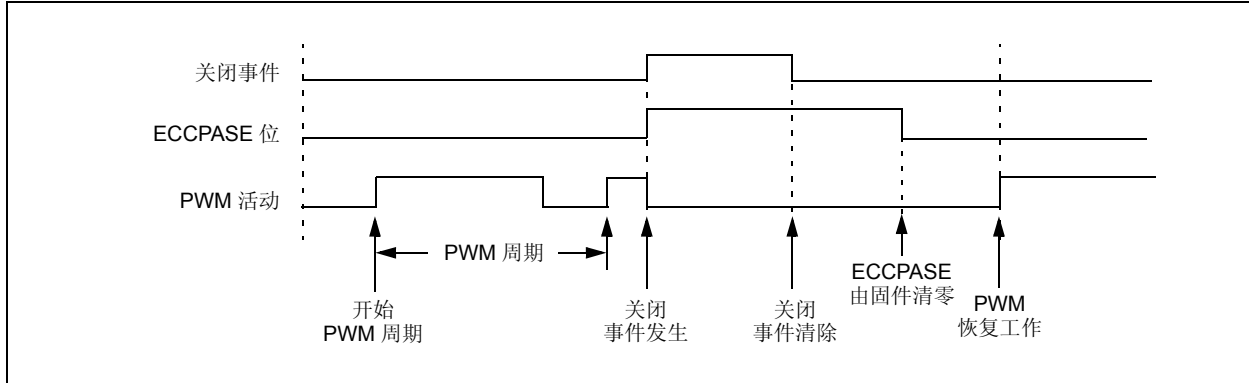
图注:

R = 可读位 W = 可写位 U = 未实现位, 读为 0
-n = POR 时的值 1 = 置 1 0 = 清零 x = 未知

- bit 7 **ECCPASE:** ECCP 自动关闭事件状态位
 1 = 发生了关闭事件; ECCP 输出为关闭状态
 0 = ECCP 输出正常工作
- bit 6 **ECCPAS2:** ECCP 自动关闭位 2
 1 = RB0 (INT) 引脚低电平 (0) 导致关闭
 0 = RB0 (INT) 引脚对 ECCP 没有作用
- bit 5 **未实现:** 读为 0
- bit 4 **ECCPAS0:** ECCP 自动关闭位 0
 1 = RB4 引脚低电平 (0) 导致关闭
 0 = RB4 引脚对 ECCP 没有作用
- bit 3-2 **PSSACn:** 引脚 P1A 和 P1C 关闭状态控制位
 00 = 驱动引脚 P1A 和 P1C 为 0
 01 = 驱动引脚 P1A 和 P1C 为 1
 1x = 引脚 P1A 和 P1C 为三态
- bit 1-0 **PSSBDn:** 引脚 P1B 和 P1D 关闭状态控制位
 00 = 驱动引脚 P1B 和 P1D 为 0
 01 = 驱动引脚 P1B 和 P1D 为 1
 1x = 引脚 P1B 和 P1D 为三态

- 注 1:** 自动关闭条件是基于电平的信号, 而不是基于边沿的信号。只要电平存在, 自动关闭就将持续。
- 注 2:** 当自动关闭条件保持时, 禁止写 ECCPASE 位。
- 注 3:** 一旦自动关闭条件被移除并且 PWM 重启 (通过固件或自动重启), PWM 信号将总是在下一个 PWM 周期重启。

图 8-6: PWM 自动关闭, 可用固件重启 (PRSEN = 0)

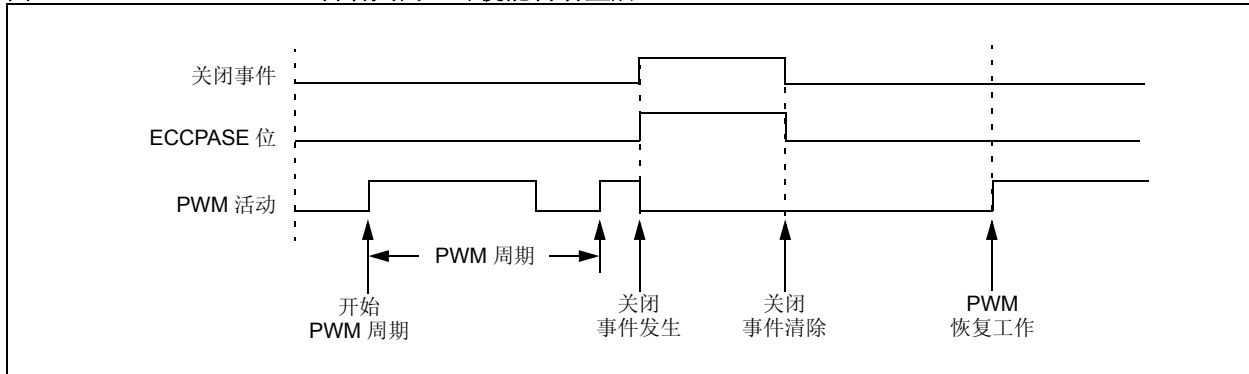


8.3.9 自动重启模式

一旦自动关闭条件被移除, 增强型 PWM 可被配置为自动重启 PWM 信号。通过将 PWM1CON 寄存器中的 PRSEN 位置 1 使能自动重启。

如果使能了自动重启, 只要自动关闭条件有效, ECCPASE 位将保持置 1。当自动关闭条件被移除时, ECCPASE 位将由硬件清零并恢复正常工作。

图 8-7: PWM 自动关闭, 可启用自动重启 (PRSEN = 1)



8.3.10 可编程死区延时模式

在所有功率开关都以 PWM 频率调制的半桥应用中，功率开关关断通常比导通需要更多的时间。如果上下两个功率开关在同一时间开关（一个导通，另一个关断），那么在一段很短的时间里，两个开关可能同时导通，直到一个开关完全关断为止。在这短暂的时间间隔中，两个功率开关中将流过很高的电流（直通电流），致使桥式供电电路短路。为避免开关过程中可能会出现破坏性直通电流，通常需要延迟功率开关的导通，保证在一个开关完全关断之后，再导通另一个功率开关。

在半桥模式下，可采用数字可编程死区延时来避免出现破坏桥式功率开关的直通电流。在信号从无效状态切换到有效状态时发生延时。请参见图 8-8。相关的 PWM1CON 寄存器（寄存器 8-3）的低 7 位根据单片机指令周期（ T_{CY} 或 $4 T_{OSC}$ ）为单位设置延时。

图 8-8: 半桥 PWM 输出示例

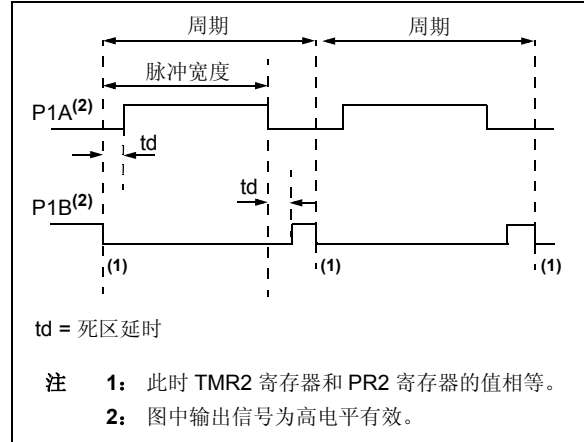
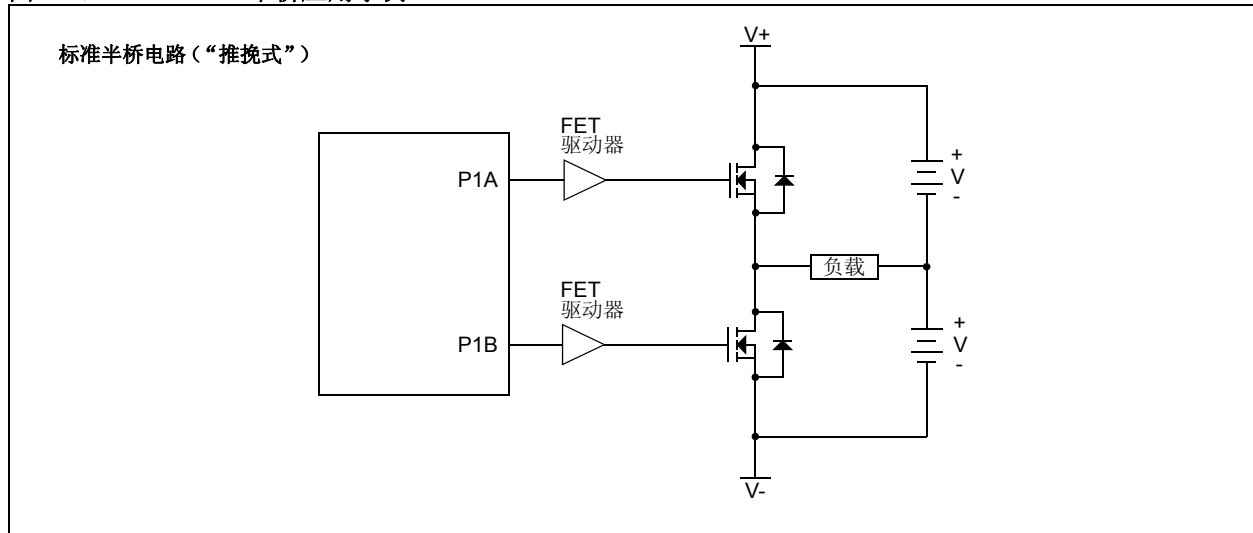


图 8-9: 半桥应用示例



MCV18E

寄存器 8-3: PWM1CON: 增强型 PWM 控制寄存器

| | | | | | | | |
|-------|-------|-------|-------|-------|-------|-------|-------|
| R/W-0 | R/W-0 | R/W-0 | R/W-0 | R/W-0 | R/W-0 | R/W-0 | R/W-0 |
| PRSEN | PDC6 | PDC5 | PDC4 | PDC3 | PDC2 | PDC1 | PDC0 |
| bit 7 | | | | | | | bit 0 |

图注:

R = 可读位 W = 可写位 U = 未实现位, 读为 0
 -n = POR 时的值 1 = 置 1 0 = 清零 x = 未知

bit 7 **PRSEN:** PWM 重启使能位
 1 = 自动关闭时, 一旦关闭事件消失, ECCPASE 位自动清零; PWM 自动重启
 0 = 自动关闭时, ECCPASE 必须用软件清零以重启 PWM

bit 6-0 **PDC<6:0>:** PWM 延时计数位
 PDCn = 在 PWM 信号应该转换为有效的预定时间和转换为有效的实际时间之间的 $F_{osc}/4$ ($4 * T_{osc}$) 周期数

表 8-6: 与 PWM 相关的寄存器

| 名称 | Bit 7 | Bit 6 | Bit 5 | Bit 4 | Bit 3 | Bit 2 | Bit 1 | Bit 0 | POR/BOR 时的值 | 所有其他复位时的值 |
|---------|---------------------------|---------|--------|---------|--------|--------|--------|--------|-------------|-----------|
| CCPR1L | 捕捉 / 比较 / PWM 寄存器 1 (LSB) | | | | | | | | xxxx xxxx | xxxx xxxx |
| CCPR1H | 捕捉 / 比较 / PWM 寄存器 1 (MSB) | | | | | | | | xxxx xxxx | xxxx xxxx |
| CCP1CON | P1M1 | P1M0 | DC1B1 | DC1B0 | CCP1M3 | CCP1M2 | CCP1M1 | CCP1M0 | 0000 0000 | 0000 0000 |
| ECCPAS | ECCPASE | ECCPAS2 | — | ECCPAS0 | PSSAC1 | PSSAC0 | PSSBD1 | PSSBD0 | 00-0 0000 | 00-0 0000 |
| INTCON | GIE | PEIE | T0IE | INTE | RBIE | T0IF | INTF | RBIF | 0000 000x | 0000 000x |
| PIE1 | — | ADIE | — | — | — | CCP1IE | TMR2IE | TMR1IE | -0-- -000 | -0-- -000 |
| PIR1 | — | ADIF | — | — | — | CCP1IF | TMR2IF | TMR1IF | -0-- 0000 | -0-- -000 |
| PR2 | Timer2 周期寄存器 | | | | | | | | 1111 1111 | 1111 1111 |
| PWM1CON | PRSEN | PDC6 | PDC5 | PDC4 | PDC3 | PDC2 | PDC1 | PDC0 | 0000 0000 | 0000 0000 |
| TMR1L | 16 位 TMR1 寄存器最低有效字节的保持寄存器 | | | | | | | | xxxx xxxx | xxxx xxxx |
| TMR1H | 16 位 TMR1 寄存器最高有效字节的保持寄存器 | | | | | | | | xxxx xxxx | xxxx xxxx |
| TMR2 | Timer2 模块寄存器 | | | | | | | | 0000 0000 | 0000 0000 |
| TRISB | TRISB7 | TRISB6 | TRISB5 | TRISB4 | TRISB3 | TRISB2 | TRISB1 | TRISB0 | 1111 1111 | 1111 1111 |

图注: — = 未实现位 (读为 0), u = 不变, x = 未知。PWM 不使用阴影单元。

9.0 CPU 的特殊功能

MCV18E 器件有许多功能，旨在最大限度地提高系统可靠性，通过减少外部元件的使用将成本降至最低，并提供节能工作模式和代码保护功能。这些功能包括：

- 振荡器选择
- 复位
 - 上电复位 (POR)
 - 上电延时定时器 (PWRT)
 - 振荡器起振定时器 (OST)
 - 欠压复位 (Brown-out Reset, BOR)
- 中断
- 看门狗定时器 (WDT)
- 休眠
- 代码保护
- ID 存储单元
- 在线串行编程 (ICSP™)

MCV18E 器件具有一个看门狗定时器，该定时器只能通过配置位关闭。它依靠自身的 RC 振荡器运行，以便提升可靠性。还有两个定时器提供了必要的上电延时。一个是振荡器起振定时器 (OST)，旨在确保芯片在晶振达到稳定之前始终处于复位状态。另一个是上电延时定时器 (PWRT)，仅在上电时提供固定的延时，用来在电源稳定过程中使器件保持在复位状态。有了这两个片上定时器，大多数应用不再需要外部复位电路。

休眠模式旨在提供极低电流的掉电模式。通过外部复位、看门狗定时器唤醒或中断，用户可将器件从休眠状态唤醒。还有几种振荡器模式可供选择，以使器件适应各种应用。RC 振荡器选项可节省系统成本，而 LP 晶振选项可节省功耗。有一组配置位用于选择各种选项。

9.1 配置位

可以通过对配置位编程（读为 0）或不编程（读为 1）来选择不同的器件配置。这些位被映射到程序存储单元 2007h 中。

用户会注意到地址 2007h 超出了用户程序存储空间范围。事实上，它属于特殊配置存储空间（2000h-3FFFh），只能在编程时对其进行访问。

MCV18E

寄存器 9-1: CONFIG: 配置字寄存器

| | | | | | | | |
|--------|---|-----------------------|---|---|---|---|-------|
| — | — | $\overline{CP}^{(2)}$ | — | — | — | — | — |
| bit 15 | | | | | | | bit 8 |

| | | | | | | | |
|-------|----------------------|---|---|-------------------------------|------|-------|-------|
| BORV | BOREN ⁽¹⁾ | — | — | $\overline{PWRT\overline{E}}$ | WDTE | FOSC1 | FOSC0 |
| bit 7 | | | | | | | bit 0 |

图注:

| | | | |
|--------------|---------|----------|----------------|
| R = 可读位 | W = 可写位 | P = 可编程位 | U = 未实现位, 读为 0 |
| -n = POR 时的值 | 1 = 置 1 | 0 = 清零 | x = 未知 |

- bit 15-14 **未实现:** 读为 1
- bit 13 **\overline{CP} :** 代码保护位 ⁽²⁾
 - 1 = 禁止程序存储器代码保护
 - 0 = 使能程序存储器代码保护
- bit 12-8 **未实现:** 读为 1
- bit 7 **BORV:** 欠压复位电压位
 - 1 = VBOR 设置为 4.0V
 - 0 = VBOR 设置为 2.5V
- bit 6 **BOREN:** 欠压复位选择位 ⁽¹⁾
 - 1 = 使能 BOR
 - 0 = 禁止 BOR
- bit 5-4 **未实现:** 读为 1
- bit 3 **$\overline{PWRT\overline{E}}$:** 上电延时定时器使能位 ⁽¹⁾
 - 1 = 禁止 PWRT
 - 0 = 使能 PWRT
- bit 2 **WDTE:** 看门狗定时器使能位
 - 1 = 使能 WDT
 - 0 = 禁止 WDT
- bit 1-0 **FOSC<2:0>:** 振荡器选择位
 - 11 = RC 振荡器
 - 10 = HS 振荡器
 - 01 = XT 振荡器
 - 00 = LP 振荡器

- 注 1: 使能欠压复位并不会自动使能上电延时定时器。
 2: 当关闭代码保护时, 将擦除整个程序存储器的内容。

9.2 振荡器配置

9.2.1 振荡器类型

MCV18E 器件可以在 4 种不同的振荡器模式下工作。用户可以对两个配置位 (FOSC1 和 FOSC0) 进行编程来选择以下 4 种模式之一:

- LP——低功耗晶振
- XT——晶振 / 谐振器
- HS——高速晶振 / 谐振器
- RC——电阻 / 电容

9.2.2 晶振 / 陶瓷谐振器

在 XT、LP 或 HS 模式下, 晶振或陶瓷谐振器连接到 OSC1/CLKIN 和 OSC2/CLKOUT 引脚, 以产生振荡 (图 9-1)。MCV18E 振荡器的设计要求使用平行切割的晶体。使用顺序切割的晶体, 可能会使振荡器产生的频率超出晶体制造厂商所给的规范。在 XT、LP 或 HS 模式下, 器件可以使用外部时钟源来驱动 OSC1/CLKIN 引脚 (图 9-2)。

图 9-1: 晶振 / 陶瓷谐振器工作原理 (HS、XT 或 LP 振荡器配置)

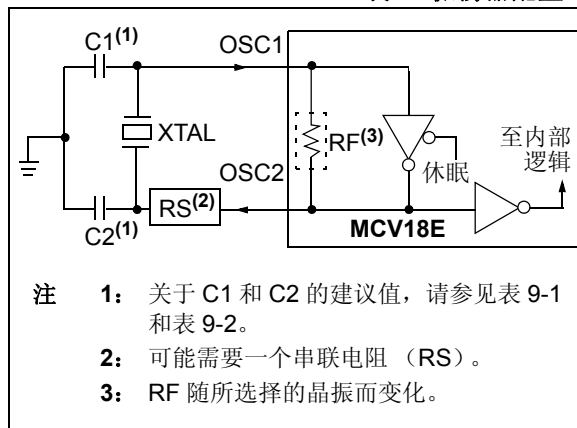


图 9-2: 外部时钟输入工作原理 (HS、XT 或 LP 振荡器配置)

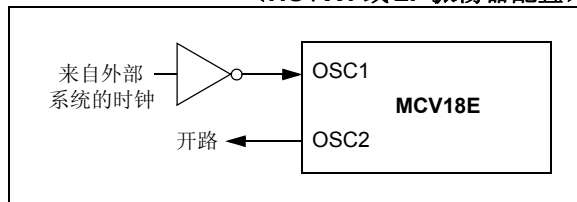


表 9-1: 陶瓷谐振器

| 测试的范围: | | | |
|--------|----------|-----------|-----------|
| 模式 | 频率 | OSC1 (C1) | OSC2 (C2) |
| XT | 455 kHz | 68-100 pF | 68-100 pF |
| | 2.0 MHz | 15-68 pF | 15-68 pF |
| HS | 4.0 MHz | 10-68 pF | 10-68 pF |
| | 8.0 MHz | 15-68 pF | 15-68 pF |
| | 16.0 MHz | 10-22 pF | 10-22 pF |

注 1: 这些值仅供设计参考。请参见本页下方的“注”。

表 9-2: 晶振的电容选择

| 振荡器类型 | 晶振频率 | 电容范围 C1 | 电容范围 C2 |
|-------|---------|----------|----------|
| LP | 32 kHz | 15-33 pF | 15-33 pF |
| | 200 kHz | 5-10 pF | 5-10 pF |
| XT | 200 kHz | 47-68 pF | 47-68 pF |
| | 1 MHz | 15-33 pF | 15-33 pF |
| | 4 MHz | 15-33 pF | 15-33 pF |
| HS | 4 MHz | 15-33 pF | 15-33 pF |
| | 8 MHz | 15-33 pF | 15-33 pF |
| | 20 MHz | 15-33 pF | 15-33 pF |

注 1: 这些值仅供设计参考。请参见本页下方的“注”。

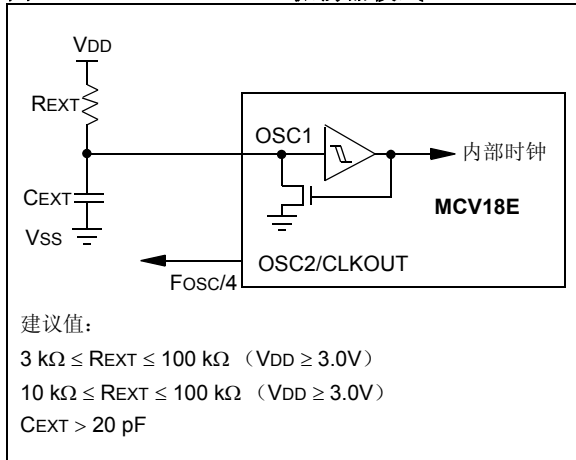
- 注 1:** 电容越大, 振荡器越稳定, 但起振时间越长。
注 2: 因为每种谐振器 / 晶振都有其自身特性, 用户应当向谐振器 / 晶振制造厂商咨询外部元件的适当值。
注 3: 可能需要使用电阻 RS 以避免对低驱动规格的晶体造成过驱动。
注 4: 当将外部时钟用于 OSC1 输入时, 必须通过将 OSC2 引脚保持为断开连接状态, 从而使 OSC2 引脚的负载保持最小。

MCV18E

9.2.3 RC 振荡器

对于对时序不敏感的应用，选择 RC 器件选项能更好地节约成本。RC 振荡器频率是供电电压、电阻（REXT）和电容（CEXT）值以及工作温度的函数。除此之外，由于正常的工艺参数差异，每个振荡器的振荡频率会各不相同。而且，各种封装类型的引线电容的不同也会影响振荡频率，特别是 CEXT 值较低时。用户还应考虑因所使用的外部 R 和 C 元件的容差而导致的差异。图 9-3 所示为 R/C 元件组合是如何连接到 MCV18E 器件的。

图 9-3: RC 振荡器模式



9.3 复位

MCV18E 器件有以下几种不同的复位方式：

- 上电复位（POR）
- 正常工作期间的 $\overline{\text{MCLR}}$ 复位
- 休眠期间的 $\overline{\text{MCLR}}$ 复位
- WDT 复位（正常工作期间）
- WDT 唤醒（休眠期间）
- 欠压复位（BOR）

有些寄存器不会以任何方式复位；它们在 POR 时处于未知状态，在任何其他复位时状态不变。在发生上电复位（POR）、 $\overline{\text{MCLR}}$ 和 WDT 复位、休眠期间的 $\overline{\text{MCLR}}$ 复位以及欠压复位（BOR）时，大部分其他寄存器都复位为“复位状态”。它们不受 WDT 唤醒的影响，因为这被视为对正常工作的恢复。 $\overline{\text{TO}}$ 和 PD 位在不同的复位情形下，它们置 1 或清零的情况将不同，如表 9-4 中所示。可在软件中使用这些位判断复位的性质。关于所有寄存器的复位状态的完整说明，请参见表 9-6。

图 9-5 给出了片上复位电路的简化框图。

PIC[®] 单片机在 $\overline{\text{MCLR}}$ 复位路径中有一个 $\overline{\text{MCLR}}$ 噪声滤波器。该滤波器检测并滤除小脉冲。

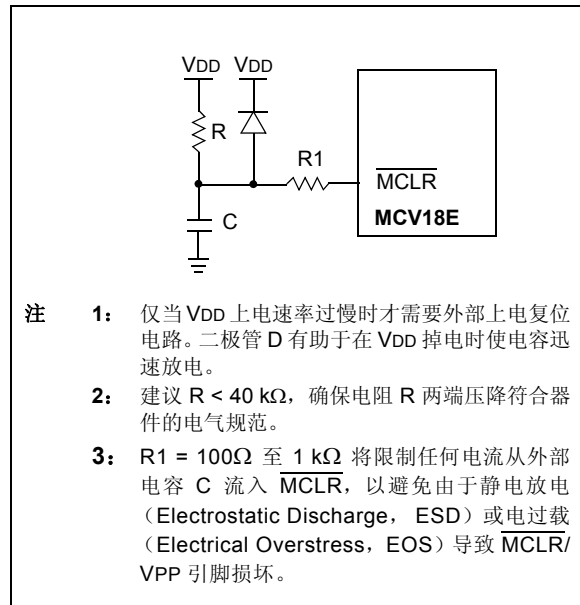
应该注意，WDT 复位不会将 $\overline{\text{MCLR}}$ 引脚驱动为低电平。

9.4 上电复位（POR）

当检测到 VDD 上升时，会产生片上上电复位脉冲。为了利用 POR，只需将 $\overline{\text{MCLR}}$ 引脚直接（或通过一个电阻）连接到 VDD。这样就无需使用通常用于产生上电复位所需的外接 RC 元件。VDD 的最大上升时间已指定（参数 D004）。对于上升时间缓慢的情况，请参见图 9-4。

当器件开始正常工作时（退出复位状态），器件的工作参数（电压、频率和温度等）必须得到满足，以确保其正常工作。如果不满足这些条件，那么器件必须保持在复位状态，直到满足工作条件为止。欠压复位可用于满足启动条件。

图 9-4: 外部上电复位电路（VDD 缓慢上电的情况）



9.5 上电延时定时器 (PWRT)

上电延时定时器用于对 POR 产生固定的标称延时（仅在上电时产生）。上电延时定时器采用内部 RC 振荡器工作。只要 PWRT 处于活动状态，芯片就保持在复位状态。PWRT 的延时使 VDD 能上升到所需的电平。上电延时定时器使能配置位 $\overline{\text{PWRTE}}$ ，用于使能/禁止 PWRT。

由于 VDD、温度和工艺的不同，不同芯片的上电延时定时器的延时也各不相同。详情请参见交流参数。

9.6 振荡器起振定时器 (OST)

在 PWRT 延时结束以后，由振荡器起振定时器 (OST) 提供一个 1024 振荡周期（来自 OSC1 输入）的延时，从而确保晶振或谐振器的起振和稳定工作。详情请参见交流参数。

只有在 XT、LP 和 HS 模式下，并且仅当发生上电复位或从休眠状态唤醒时，才启动 OST 延时。

9.7 可编程欠压复位 (PBOR)

MCV18E 器件具有片上欠压复位电路。配置位 BOREN 可禁止（如果清零/编程）或使能（如果置 1）欠压复位电路。

BORV 配置位用于选择可编程的欠压复位门限电压 (VBOR)。如果 BORV 为 1，则 VBOR 为 4.0V。如果 BORV 为 0，则 VBOR 为 2.5V。

如果 VDD 下降到 VBOR 以下且持续时间大于参数值 TBOR（见表 10-4），则会发生欠压复位。如果 VDD 下降到 VBOR 以下且持续时间少于参数值 TBOR，则不一定会发生欠压复位。

发生任何复位（上电、欠压和看门狗等）都会使芯片保持复位状态，直到 VDD 上升到 VBOR 以上。只有配置寄存器中的上电延时定时器使能位设置为 0 ($\overline{\text{PWRTE}} = 0$) 时，才会调用上电延时定时器，使芯片另外再保持 72 ms 的复位状态。

如果使能了上电延时定时器，且在上电延时定时器运行过程中，VDD 下降到 VBOR 以下，芯片将重新回到欠压复位状态并且上电延时定时器重新被初始化。一旦 VDD 上升到 VBOR 以上，上电延时定时器将执行为时 72 ms 的复位。请参见图 9-6。

如果所需的欠压电压不是 4.0V 或 2.5V，则必须使用外部欠压电路。图 9-8、图 9-9 和图 9-10 给出了外部欠压保护电路的示例。

MCV18E

图 9-5: 片上复位电路的简化框图

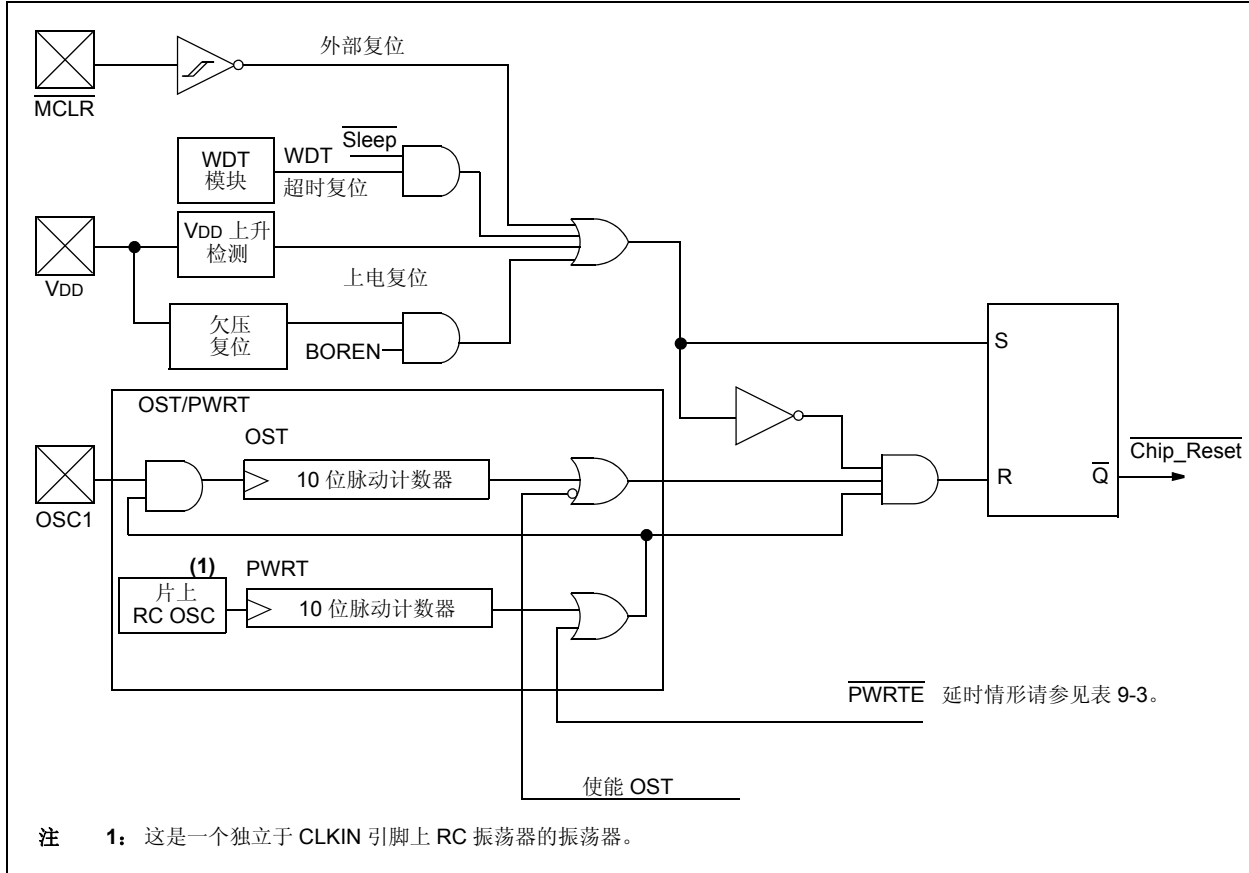


图 9-6: 欠压情形 ($\overline{PWRT\bar{E}} = 0$)

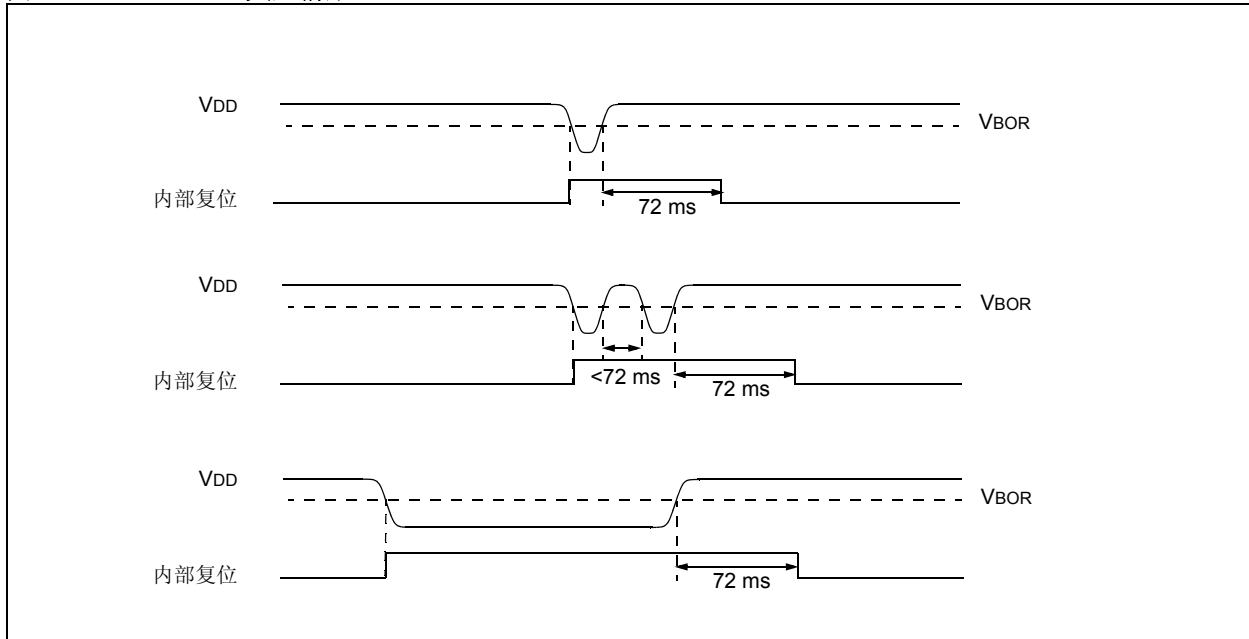


图 9-7: 外部欠压保护电路 1

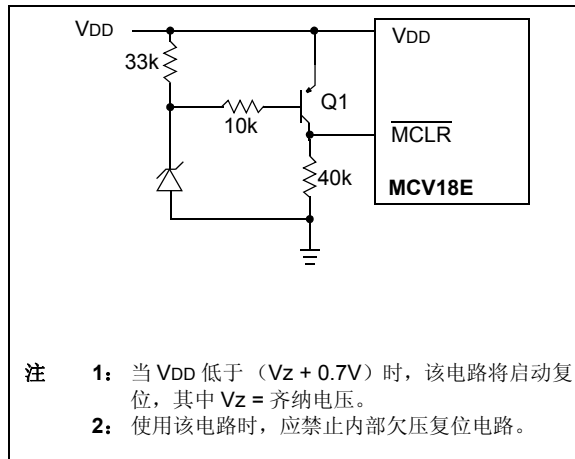


图 9-8: 外部欠压保护电路 2

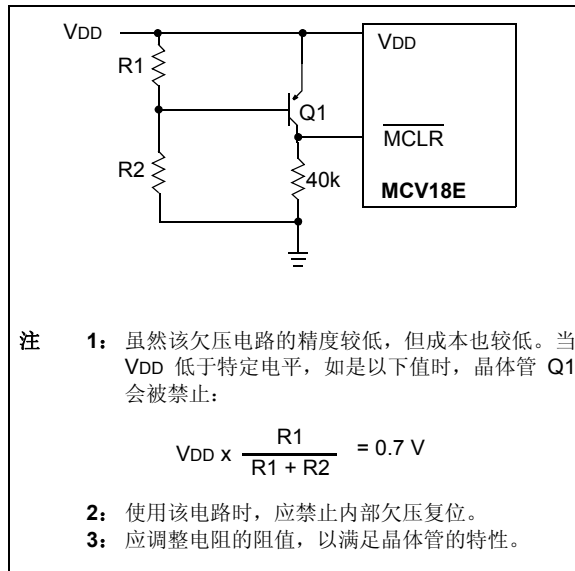
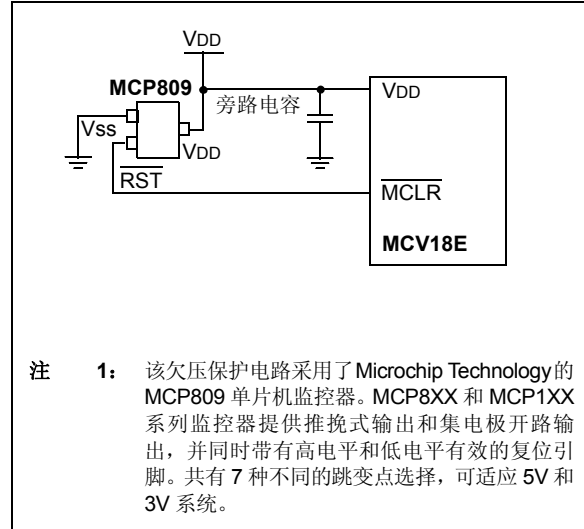


图 9-9: 外部欠压保护电路 3



9.8 延时时序

上电延时时序如下：在 POR 延时结束后，施加第一次 PWRT 延时。然后，OST 被激活。总延迟时间取决于振荡器配置和 PWRT 的状态。例如，在 RC 模式且 PWRT 被禁止的情况下，根本不会出现延时。图 9-10、图 9-11 和图 9-12 描绘了上电时的延时时序。

由于延时是由 POR 脉冲触发的，因此如果 $\overline{\text{MCLR}}$ 保持足够长时间的低电平，所有延时都将结束。将 $\overline{\text{MCLR}}$ 电平拉高后，器件将立即开始执行代码（见图 9-12）。这对于测试或同步多个并行工作的 MCV18E 器件是非常有用的。

表 9-5 给出了一些特殊寄存器的复位条件，而表 9-6 给出了所有寄存器的复位条件。

表 9-3: 各种情形下的延时

| 振荡器配置 | 上电或欠压 | | 从休眠状态唤醒 |
|------------|-------------------------------|------------------------------|-----------------------|
| | $\overline{\text{PWRT}} = 0$ | $\overline{\text{PWRT}} = 1$ | |
| XT、HS 和 LP | 72 ms + 1024 T _{osc} | 1024 T _{osc} | 1024 T _{osc} |
| RC | 72 ms | — | — |

表 9-4: 状态位及其含义

| POR | BOR | $\overline{\text{TO}}$ | $\overline{\text{PD}}$ | |
|-----|-----|------------------------|------------------------|--|
| 0 | x | 1 | 1 | 上电复位 (BOREN = 0) |
| 0 | 1 | 1 | 1 | 上电复位 (BOREN = 1) |
| 0 | x | 0 | x | 非法的, $\overline{\text{POR}}$ 时 $\overline{\text{TO}}$ 被置 1 |
| 0 | x | x | 0 | 非法的, $\overline{\text{POR}}$ 时 $\overline{\text{PD}}$ 被置 1 |
| 1 | 0 | 1 | 1 | 欠压复位 |
| 1 | 1 | 0 | 1 | WDT 复位 |
| 1 | 1 | 0 | 0 | WDT 唤醒 |
| 1 | 1 | u | u | 正常工作期间的 $\overline{\text{MCLR}}$ 复位 |
| 1 | 1 | 1 | 0 | 休眠期间的 $\overline{\text{MCLR}}$ 复位或被中断从休眠状态唤醒 |

9.9 电源控制 /STATUS 寄存器 (PCON)

电源控制 /STATUS 寄存器 PCON 有两个位。

bit 0 是欠压复位状态位 $\overline{\text{BOR}}$ 。如果 BOREN 配置位置 1，在发生上电复位时 $\overline{\text{BOR}}$ 为 1，在发生欠压条件时则复位为 0。随后用户必须将 $\overline{\text{BOR}}$ 置 1，并在后续的复位发生时检查该位是否清零，清零则指示发生了另一次欠压复位。

如果 BOREN 配置位清零，在发生上电复位时 $\overline{\text{BOR}}$ 为未知状态。

bit 1 是 $\overline{\text{POR}}$ (上电复位状态位)。在上电复位时它被清零，其他情况下不受影响。用户必须在上电复位后将该位置 1。

表 9-5: 特殊寄存器的复位条件

| 条件 | 程序计数器 | STATUS 寄存器 | PCON 寄存器 |
|-------------------------------------|-----------------------|------------|-----------|
| 上电复位 (BOREN = 0) | 000h | 0001 1xxx | ---- --0x |
| 上电复位 (BOREN = 1) | 000h | 0001 1xxx | ---- --01 |
| 正常工作期间的 $\overline{\text{MCLR}}$ 复位 | 000h | 000u uuuu | ---- --uu |
| 休眠期间的 $\overline{\text{MCLR}}$ 复位 | 000h | 0001 0uuu | ---- --uu |
| WDT 复位 | 000h | 0000 1uuu | ---- --uu |
| WDT 唤醒 | PC + 1 | uuu0 0uuu | ---- --uu |
| 欠压复位 | 000h | 0001 1uuu | ---- --u0 |
| 被中断从休眠状态唤醒 | PC + 1 ⁽¹⁾ | uuu1 0uuu | ---- --uu |

图注: u = 不变, x = 未知, - = 未实现位 (读为 0)。

注 1: 当器件被中断唤醒且 GIE 位被置 1 时, PC 装入中断向量 (0004h)。

MCV18E

表 9-6: MCV18E 器件的所有寄存器的初始化状态

| 寄存器 | 上电复位, 欠压复位 | MCLR 复位 WDT 复位 | 通过 WDT 或 中断唤醒器件 |
|--------------------------------|---------------|--------------------------|--------------------------|
| W | xxxx xxxx | uuuu uuuu | uuuu uuuu |
| INDF | N/A | N/A | N/A |
| TMR0 | xxxx xxxx | uuuu uuuu | uuuu uuuu |
| PCL | 0000h | 0000h | PC + 1 ⁽²⁾ |
| STATUS | 0001 1xxx | 000q quuu ⁽³⁾ | uuuq quuu ⁽³⁾ |
| FSR | xxxx xxxx | uuuu uuuu | uuuu uuuu |
| PORTA ^{(4), (5), (6)} | --xx 0000 | --xx 0000 | --uu uuuu |
| PORTB ^{(4), (5)} | xxxx xxxx | uuuu uuuu | uuuu uuuu |
| PCLATH | ---0 0000 | ---0 0000 | ---u uuuu |
| INTCON | 0000 -00x | 0000 -00u | uuuu -uuu ⁽¹⁾ |
| PIR1 | -0-- -000 | -0-- -000 | -u-- -uuu ⁽¹⁾ |
| TMR1L | xxxx xxxx | uuuu uuuu | uuuu uuuu |
| TMR1H | xxxx xxxx | uuuu uuuu | uuuu uuuu |
| T1CON | --00 0000 | --uu uuuu | --uu uuuu |
| TMR2 | 0000 0000 | 0000 0000 | uuuu uuuu |
| T2CON | -000 0000 | -000 0000 | -uuu uuuu |
| CCPR1L | xxxx xxxx | uuuu uuuu | uuuu uuuu |
| CCPR1H | xxxx xxxx | uuuu uuuu | uuuu uuuu |
| CCP1CON | 0000 0000 | 0000 0000 | uuuu uuuu |
| PWM1CON | 0000 0000 | 0000 0000 | uuuu uuuu |
| ECCPAS | 00-0 0000 | 00-0 0000 | u-uu uuuu |
| ADRES | xxxx xxxx | uuuu uuuu | uuuu uuuu |
| ADCON0 | 0000 0000 | 0000 0000 | uuuu uuuu |
| OPTION_REG | 1111 1111 | 1111 1111 | uuuu uuuu |
| TRISA | --11 1111 | --11 1111 | --uu uuuu |
| TRISB | 1111 1111 | 1111 1111 | uuuu uuuu |
| PIE1 | -0-- -000 | -0-- -000 | -u-- -uuu |
| PCON | ---- -qqq | ---- -uuu | ---- -uuu |
| PR2 | 1111 1111 | 1111 1111 | uuuu uuuu |
| ADCON1 | ---- -000 | ---- -000 | ---- -uuu |

图注: u = 不变, x = 未知, - = 未实现位 (读为 0), q = 值取决于具体条件

- 注
- 1: INTCON 和 / 或 PIR1 中的一位或多位会受到影响 (引起唤醒)。
 - 2: 当器件被中断唤醒且 GIE 位被置 1 时, PC 装入中断向量 (0004h)。
 - 3: 具体条件下的复位值, 请参见表 9-5。
 - 4: 发生任何器件复位时, 这些引脚都被配置为输入。
 - 5: 这是将保存在端口输出锁存器中的值。
 - 6: 输出锁存值未知或不变。模拟输入默认为模拟且读为 0。

图 9-10: 上电延时时序 ($\overline{\text{MCLR}}$ 连接到 VDD)

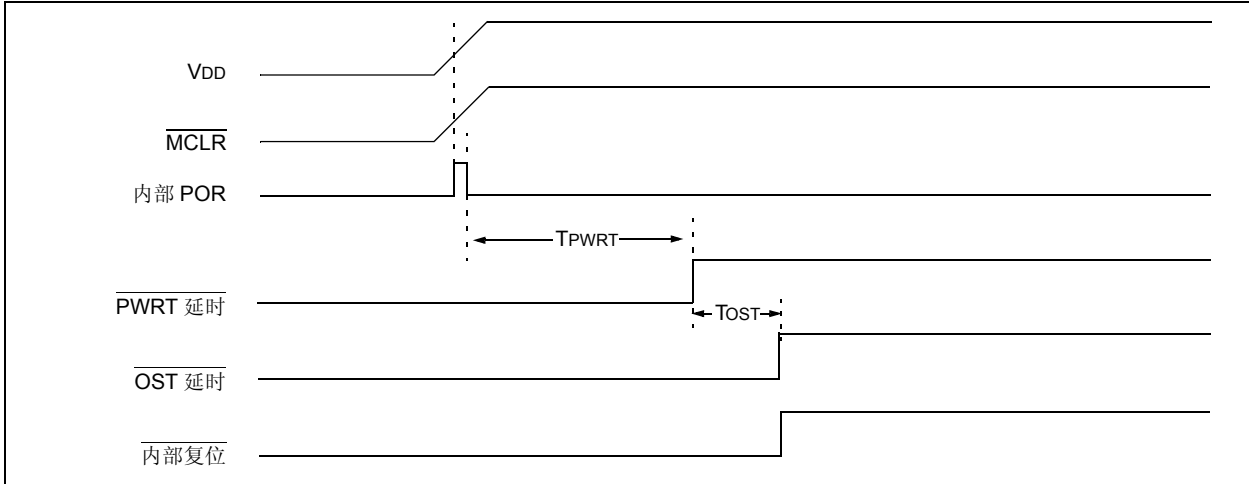


图 9-11: 上电延时时序 ($\overline{\text{MCLR}}$ 未连接到 VDD): 情形 1

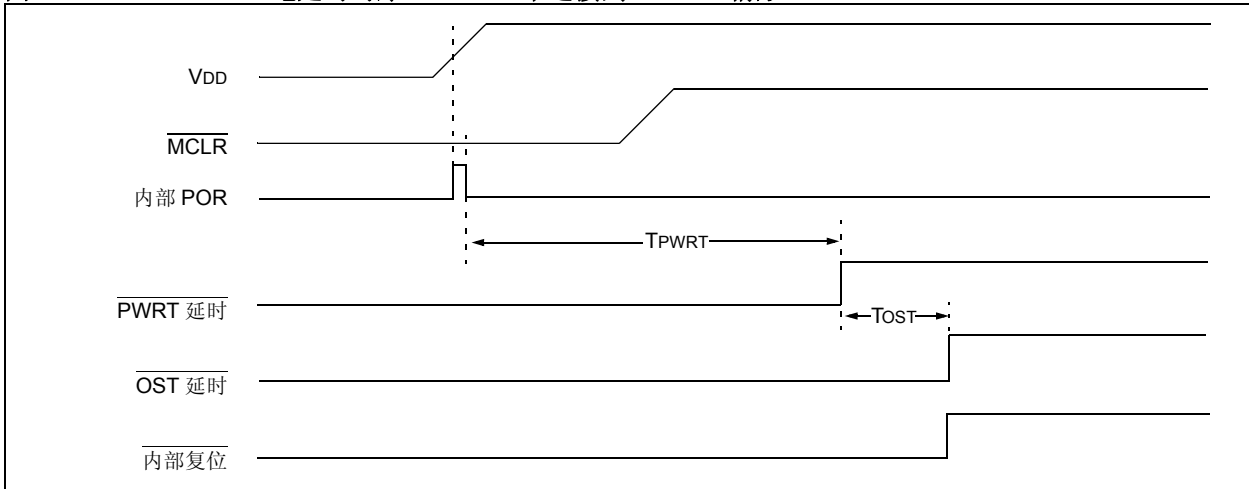
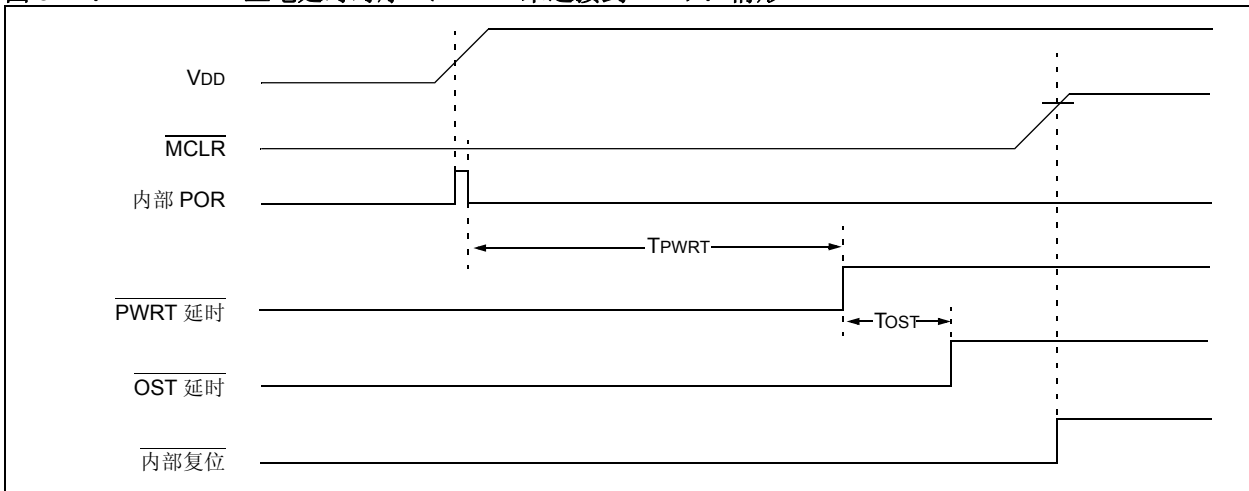


图 9-12: 上电延时时序 ($\overline{\text{MCLR}}$ 未连接到 VDD): 情形 2



MCV18E

9.10 中断

MCV18E 器件最多具有 7 个中断源。中断控制寄存器 (INTCON) 用标志位记录各种中断请求。同时还包括各个中断允许位和全局中断允许位。

注： 各中断标志位的置 1 不受相应的屏蔽位或 GIE 位状态的影响。

INTCON 寄存器的全局中断允许位 GIE 在置 1 时允许所有未被屏蔽的中断，在清零时禁止所有中断。使能 GIE 位时，如果某个中断的标志位和屏蔽位均置 1，则中断将立即跳转到相应的中断服务程序。也可以通过设置各寄存器中相应的中断允许位来禁止单个中断。各中断位的置 1 不受 GIE 位状态的影响。GIE 位在复位时和发生中断跳转时清零。

执行“从中断返回”指令 RETFIE 退出中断服务程序并将 GIE 位置 1，从而重新允许中断。

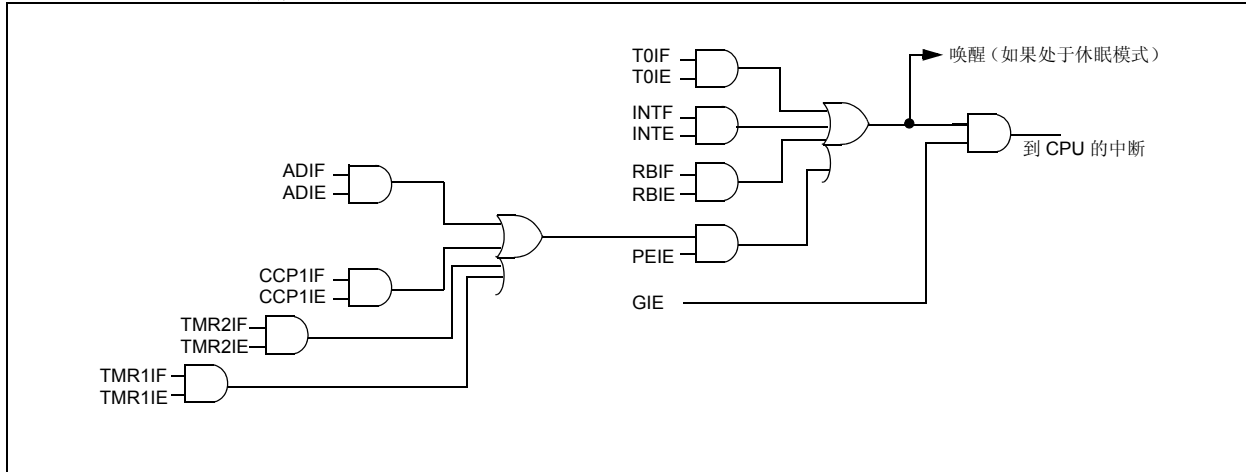
RB0/INT 引脚中断、RB 端口电平变化中断和 TMR0 上溢中断标志包含在 INTCON 寄存器中。

外设中断标志包含在特殊功能寄存器 PIR1 和 PIR2 中。相应的中断允许位包含在特殊功能寄存器 PIE1 和 PIE2 中，外设中断允许位包含在特殊功能寄存器 INTCON 中。

在响应某个中断时，GIE 位会清零，以禁止其他中断；返回地址会被压入堆栈，PC 中会装入 0004h。只要在中断服务程序中，就可以通过查询中断标志位来确定中断源。在重新允许中断前，必须用软件将中断标志位清零，以避免中断递归。

对于外部中断事件，例如 INT 引脚或 PORTB 电平变化中断，中断响应延时将会是 3 或 4 个指令周期。确切的延时时间取决于发生中断事件的时间。对于单周期或双周期指令，中断响应延时完全相同。各中断标志位的置 1 不受相应的屏蔽位或 GIE 位状态的影响。

图 9-13: 中断逻辑



9.10.1 INT 中断

RB0/INT 引脚上的外部中断采用边沿触发方式，如果 OPTION 寄存器的 INTEDG 位置 1，则在上升沿触发；如果 INTEDG 位清零，则在下降沿触发。当 RB0/INT 引脚上出现有效边沿时，INTCON 寄存器的 INTF 位置 1。可以通过将 INTCON 寄存器的允许位 INTE 清零来禁止该中断。在重新允许该中断前，必须在中断服务程序中先用软件将 INTF 标志位清零。如果 INTE 位在进入休眠状态前被置 1，则 INT 中断能将处理器从休眠状态唤醒。全局中断允许 (GIE) 位的状态决定处理器是否在唤醒后跳转到中断向量。关于休眠模式的详细信息，请参见第 9.13 节“掉电模式 (休眠)”。

9.10.2 TMR0 中断

TMR0 寄存器上溢 (FFh → 00h) 会将 INTCON 寄存器的标志位 TOIF 置 1。可以通过置 1/ 清零 INTCON 寄存器的允许位 TOIE 来允许 / 禁止该中断。(第 4.0 节“Timer0 模块”)。

9.10.3 PORTB INTCON 电平变化

PORTB<7:4> 上的输入电平变化会将 INTCON 寄存器的标志位 RBIF 置 1。可以通过置 1/ 清零 INTCON 寄存器的允许位 RBIE 来允许 / 禁止该中断。(第 3.2 节“PORTB 和 TRISB 寄存器”)。

9.11 中断期间的现场保护

在中断期间，仅将返回的 PC 值保存在堆栈。通常情况下，用户可能希望在中断期间保存关键寄存器（如，W 寄存器和 STATUS 寄存器）。这必须在固件中实现。

例 9-1 说明了如何存储和恢复 W、STATUS、PCLATH 和 FSR 寄存器。现场存储寄存器 W_TEMP、STATUS_TEMP、PCLATH_TEMP 和 FSR_TEMP 必须在公共 RAM 中定义，即 Bank 0 中 70h-7Fh 之间的地址，以及 Bank 1 中 F0h-FFh 之间的地址。

示例：

- a) 保存 W 寄存器。
- b) 保存 Bank 0 中的 STATUS 寄存器。
- c) 保存 PCLATH 寄存器。
- d) 保存 FSR 寄存器。
- e) 执行中断服务程序代码（由用户编写）。
- f) 按照与保存寄存器时相反的顺序，恢复所有已保存的寄存器。

例 9-1: 在 RAM 中保存 STATUS、W 和 PCLATH 寄存器

```

MOVWF    W_TEMP           ;Copy W to TEMP register, could be bank one or zero
SWAPF   STATUS,W         ;Swap status to be saved into W
MOVWF   STATUS_TEMP      ;Save status to bank zero STATUS_TEMP register
MOVF    PCLATH, W       ;Only required if using pages 1, 2 and/or 3
MOVWF   PCLATH_TEMP     ;Save PCLATH into W
CLRF    PCLATH          ;Page zero, regardless of current page
BCF     STATUS, IRP     ;Return to Bank 0
MOVF    FSR, W          ;Copy FSR to W
MOVWF   FSR_TEMP        ;Copy FSR from W to FSR_TEMP
:
:(ISR)
:
MOVF    FSR_TEMP,W      ;Restore FSR
MOVWF   FSR             ;Move W into FSR
MOVF    PCLATH_TEMP, W ;Restore PCLATH
MOVWF   PCLATH          ;Move W into PCLATH
SWAPF   STATUS_TEMP,W   ;Swap STATUS_TEMP register into W
MOVWF   STATUS           ;Move W into STATUS register
SWAPF   W_TEMP,F        ;Swap W_TEMP
SWAPF   W_TEMP,W        ;Swap W_TEMP into W
RETFIE  ;Return from interrupt and enable GIE
    
```

9.12 看门狗定时器 (WDT)

看门狗定时器是自由运行的片上 RC 振荡器，不需要外部元件。该 RC 振荡器独立于 OSC1/CLKIN 引脚的 RC 振荡器。这意味着即使器件的 OSC1/CLKIN 和 OSC2/CLKOUT 引脚上的时钟已停止（例如，执行一条 SLEEP 指令时），WDT 也会运行。

在正常工作期间，WDT 超时会产生器件复位（看门狗定时器复位）。如果器件处于休眠模式，WDT 超时会将器件唤醒并使其继续正常操作（看门狗定时器唤醒）。一旦看门狗定时器超时，STATUS 寄存器中的 \overline{TO} 位就会被清零。

可以通过清零配置位 WDTE 永久禁止 WDT（第 9.1 节“配置位”）。

WDT 超时周期值可以在“电气规范”章节的 TWDT（参数 31）下找到。WDT 预分频器（实际上是一个后分频器，但它与 Timer0 预分频器共用）的值可以使用 OPTION 寄存器指定。

注： 如果将后分频器分配给 WDT，CLRWDT 和 SLEEP 指令会清零 WDT 和后分频器，并防止其超时以及产生器件复位条件。

注： 执行 CLRWDT 指令时，如果预分频器分配给 WDT，则预分频器计数将清零，但预分频器的分配情况不会改变。

图 9-14: 看门狗定时器框图

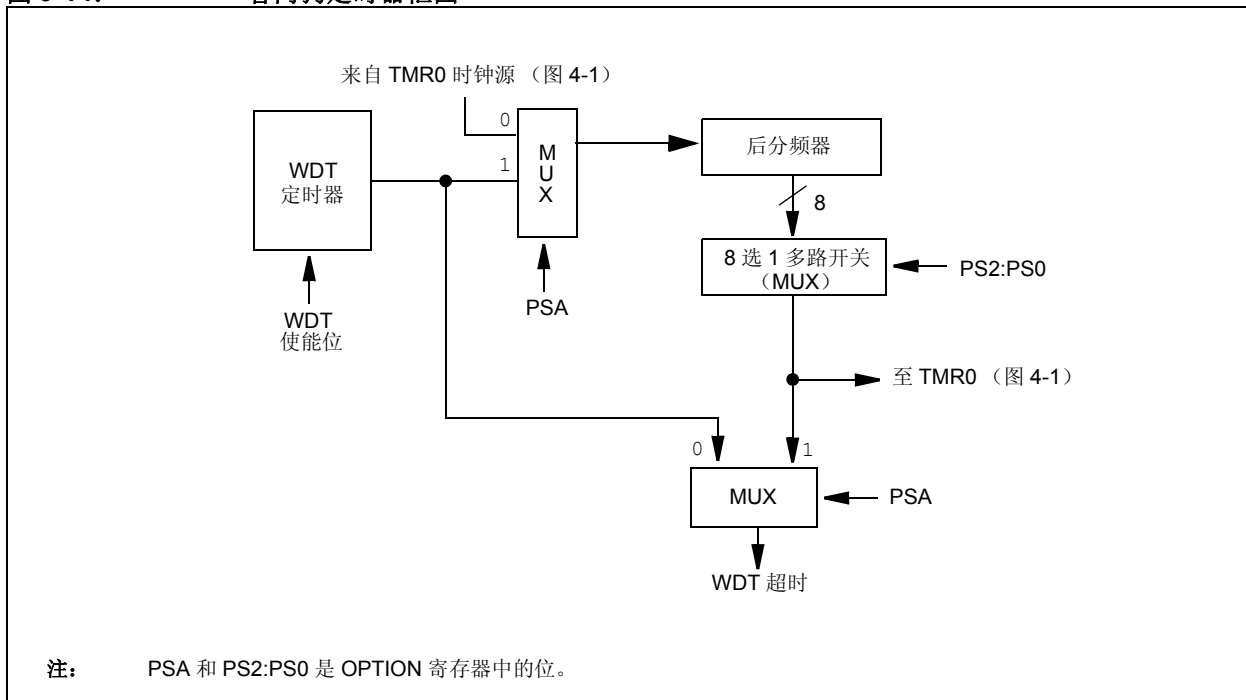


表 9-7: 与看门狗定时器相关的寄存器汇总

| 名称 | Bit 7 | Bit 6 | Bit 5 | Bit 4 | Bit 3 | Bit 2 | Bit 1 | Bit 0 | POR/BOR 时的值 | 所有其他复位时的值 |
|------------------------|-------|--------|-------|-------|-------|-------|-------|-------|-------------|-----------|
| CONFIG1 ⁽¹⁾ | BORV | BOREN | — | — | PWRTE | WDTE | FOSC1 | FOSC0 | — | — |
| OPTION_REG | RBPV | INTEDG | T0CS | T0SE | PSA | PS2 | PS1 | PS0 | 1111 1111 | 1111 1111 |

图注： x = 未知，u = 不变，- = 未实现位（读为 0）。看门狗定时器不使用阴影单元。

注 1： 请参见配置字寄存器（寄存器 9-1）了解所有寄存器位的操作。

9.13 掉电模式（休眠）

通过执行 SLEEP 指令可进入掉电模式。

如果使能了看门狗定时器，该定时器将被清零但保持运行，STATUS 寄存器的 PD 位被清零，STATUS 寄存器的 TO 位被置 1，振荡器驱动器被关闭。I/O 端口保持它们在执行 SLEEP 指令之前所具有的状态（驱动为高电平、低电平或高阻态）。

要在该模式下实现最低的电流消耗，应将所有 I/O 引脚置于 VDD 或 VSS，确保没有外部电路从 I/O 引脚消耗电流，关闭 A/D 的电源并禁止外部时钟。为了避免输入引脚悬空而引起开关电流，应在外部将高阻态输入的所有 I/O 引脚拉为高电平或低电平。为使电流消耗降至最低，T0CKI 输入也应为 VDD 或 VSS。还应考虑 PORTB 片上上拉的影响。

MCLR 引脚必须处于逻辑高电平（参数 D042）。

9.13.1 从休眠状态唤醒

发生以下任一事件将器件从休眠状态唤醒：

1. MCLR 引脚上的外部复位输入。
2. 看门狗定时器唤醒（如果使能了 WDT）。
3. INT 引脚中断、RB 端口电平变化中断或某些外设中断。

外部 MCLR 复位会引起器件复位。所有其他事件都被视为程序执行的继续，引起“唤醒”。STATUS 寄存器中的 TO 和 PD 位用于确定器件复位的原因。PD 位在上电时被置 1，而在执行 SLEEP 指令时被清零。如果发生 WDT 超时（并引起唤醒），TO 位被清零。

以下外设中断可以将器件从休眠状态唤醒：

1. TMR1 中断。Timer1 必须用作异步计数器。
2. ECCP 捕捉模式中断。
3. ADC 运行在 ADRC 模式下。

由于在休眠期间没有片上时钟处于工作状态，因此其他外设不能产生中断。

当执行 SLEEP 指令时，下一条指令（PC + 1）被预先取出。如果希望通过中断事件唤醒器件，则必须将相应的中断允许位置 1（允许）。唤醒与 GIE 位的状态无关。如果 GIE 位被清零（禁止），器件将继续执行 SLEEP 指令之后的指令。如果 GIE 位被置 1（允许），器件执行 SLEEP 指令之后的指令，然后跳转到中断地址（0004h）处执行代码。如果不希望执行 SLEEP 指令之后的指令，用户应在 SLEEP 指令后面放置一条 NOP 指令。

9.13.2 使用中断唤醒

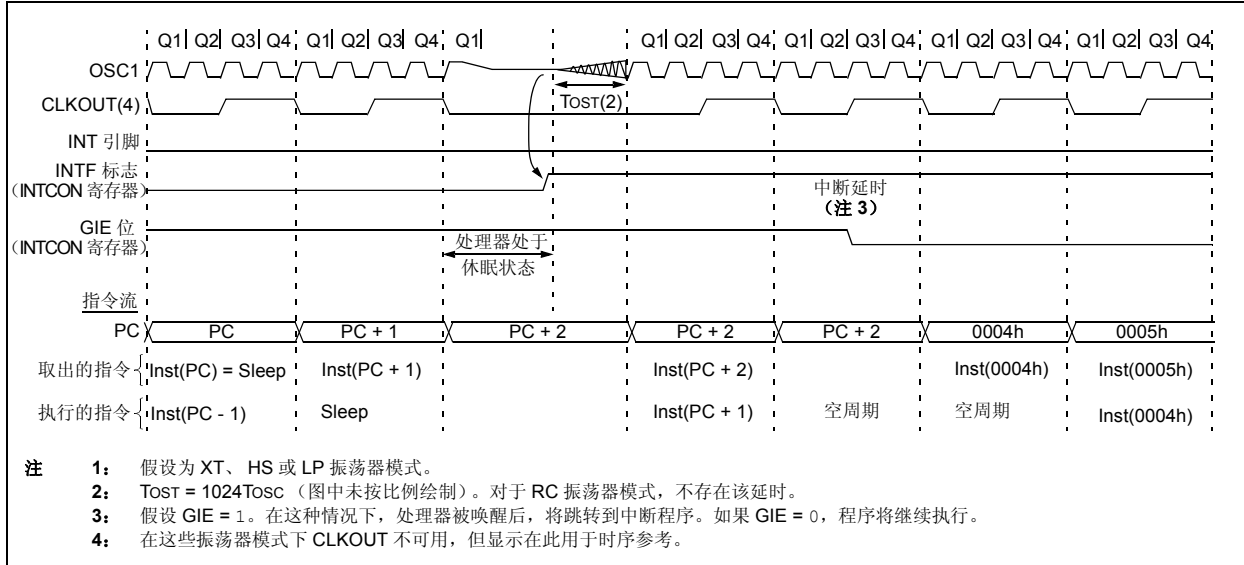
当禁止全局中断（GIE 被清零）时，并且任一中断源的中断允许位和中断标志位都置 1，将会发生下列事件之一：

- 如果在执行 SLEEP 指令之前产生了中断，那么 SLEEP 指令将被作为一条 NOP 指令执行。因此，WDT 和 WDT 后分频器将不会被清零，TO 位不会被置 1，PD 位不会被清零。
- 如果在执行 SLEEP 指令期间或之后产生了中断，那么器件将被立即从休眠状态唤醒。SLEEP 指令将在唤醒之前执行完毕。因此，WDT 和 WDT 后分频器将被清零，TO 位将被置 1，PD 位将被清零。

即使在执行 SLEEP 指令之前检查到标志位为 0，这些标志位也有可能是在 SLEEP 指令执行完毕之前被置 1。要确定是否执行了 SLEEP 指令，可测试 PD 位。如果 PD 位置 1，则说明 SLEEP 指令被当作一条 NOP 指令执行了。

在执行 SLEEP 指令之前，必须先执行一条 CLRWDT 指令，以确保将 WDT 清零。

图 9-15: 通过中断将器件从休眠状态唤醒



9.14 程序校验和代码保护

如果代码保护位未编程, 则可以读取片上程序存储器以进行校验。

9.15 ID 存储单元

有 4 个存储单元 (2000h-2003h) 被指定为 ID 存储单元, 供用户存储校验和或其他代码标识号。在正常执行过程中不能访问这些存储单元, 但在编程 / 校验期间可对它们进行读写。建议仅使用 ID 存储单元的低 4 位。

9.16 在线串行编程

可以在最终的应用电路中对 MCV18E 单片机进行串行编程。只需要 2 根线用作时钟线 and 数据线, 其余 3 根分别是电源线、接地线和编程电压线。这允许用户在生产电路板时使用未编程器件, 仅在产品交付之前才对单片机进行编程, 从而可以使用最新版本的固件或者定制固件进行编程。

关于串行编程的完整信息, 请参见 In-Circuit Serial Programming™ (ICSP™) Specification (DS40245)。

10.0 电气特性

绝对最大值 (†)

| | |
|--|----------------------------------|
| 偏置时的环境温度 | -40°C 至 +85°C |
| 储存温度 | -65°C 至 +150°C |
| 任一引脚 (V _{DD} 、 $\overline{\text{MCLR}}$ 和 RA4 除外) 相对于 V _{SS} 的电压 | -0.3V 至 (V _{DD} + 0.3V) |
| V _{DD} 引脚相对于 V _{SS} 的电压 | -0.3V 至 +7.5V |
| $\overline{\text{MCLR}}$ 引脚相对于 V _{SS} 的电压 (注 2) | 0V 至 +13.25V |
| RA4 引脚相对于 V _{SS} 的电压 | 0V 至 +8.5V |
| 总功耗 (注 1) (PDIP 和 SOIC) | 1.0W |
| V _{SS} 引脚的最大输出电流 | 300 mA |
| V _{DD} 引脚的最大输入电流 | 250 mA |
| 输入钳位电流 I _{IK} (V _I < 0 或 V _I > V _{DD}) | ±20 mA |
| 输出钳位电流 I _{OK} (V _O < 0 或 V _O > V _{DD}) | ±20 mA |
| 任一 I/O 引脚的最大输出灌电流 | 25 mA |
| 任一 I/O 引脚的最大输出拉电流 | 25 mA |
| PORTA 和 PORTB (组合) 的最大灌电流 | 200 mA |
| PORTA 和 PORTB (组合) 的最大拉电流 | 200 mA |

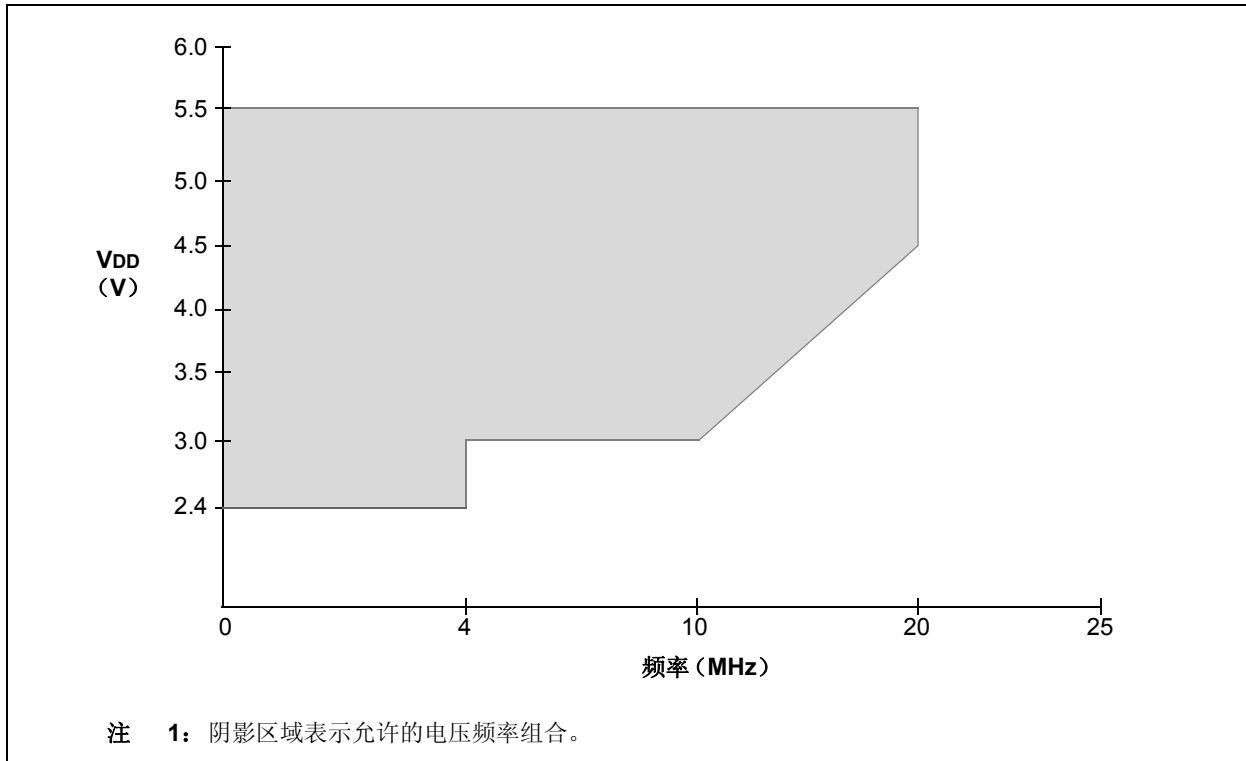
注 1: 功耗按如下公式计算: $P_{dis} = V_{DD} \times \{I_{DD} - \sum I_{OH}\} + \sum \{(V_{DD} - V_{OH}) \times I_{OH}\} + \sum (V_{OL} \times I_{OL})$

注 2: $\overline{\text{MCLR}}/\text{VPP}$ 引脚上若出现低于 V_{SS} 的尖峰电压, 感应电流超过 80 mA, 可能导致锁死。因此, 当把一个“低”电平加到 $\overline{\text{MCLR}}/\text{VPP}$ 引脚上时, 应串联一个 50-100Ω 的电阻, 而不要将该引脚直接接到 V_{SS}。

† 注: 如果器件工作条件超过上述“绝对最大值”, 可能会对器件造成永久性损坏。上述值仅为运行条件极大值, 我们建议不要使器件在该规范规定的范围以外运行。器件长时间工作在最大值条件下, 其稳定性会受到影响。

MCV18E

图 10-1: MCV18E 电压—频率关系图, $-40^{\circ}\text{C} \leq \text{TA} \leq +85^{\circ}\text{C}^{(1)}$



10.1 直流特性: MCV18E (工业级)

| 直流特性 | | 标准工作条件 (除非另外声明) 工作温度 $-40^{\circ}\text{C} \leq \text{TA} \leq +85^{\circ}\text{C}$ (工业级) | | | | | |
|---------------|------|---|------|-------|-----|------|-----------------------|
| 参数编号 | 符号 | 特性 | 最小值 | 典型值 † | 最大值 | 单位 | 条件 |
| D001 D001A | VDD | 供电电压 | 2.4 | — | 5.5 | V | 工业级 |
| | | | | | | | |
| D002* | VDR | RAM 数据保持电压 ⁽¹⁾ | — | 1.5* | — | V | |
| D003 | VPOR | VDD 启动电压, 确保能够产生内部上电复位信号 | — | VSS | — | V | 详情请参见“上电复位”章节 |
| D004* | SVDD | VDD 上升速率, 确保能够产生内部上电复位信号 | 0.05 | — | — | V/ms | PWRT 使能 (PWRTÉ 位清零) |
| D005 | VBOR | 欠压复位电压跳变点 | — | 4.0 | — | V | BOREN 位置 1, BOR 位 = 1 |
| | | | — | 2.5 | — | V | BOREN 位置 1, BOR 位 = 0 |

* 这些参数为特性值, 未经测试。

† 除非另外声明, 否则“典型值”栏中的数据均为 5V 和 25°C 条件下的值。这些参数仅供设计参考, 未经测试。

注 1: 这是在不丢失 RAM 数据的前提下, VDD 的下限值。

10.2 直流特性: MCV18E (工业级)

| 直流特性 | | | 标准工作条件 (除非另外声明) 工作温度 $-40^{\circ}\text{C} \leq T_A \leq +85^{\circ}\text{C}$ | | | | | |
|------|-----|-----------------------|---|-------|------|---------------|-----|------------------|
| 参数编号 | 符号 | 特性 | 最小值 | 典型值 † | 最大值 | 单位 | VDD | 条件 |
| D001 | VDD | 供电电压 | — | — | — | — | — | — |
| | | | 2.4 | — | 5.5 | V | — | — |
| D010 | IDD | 供电电流 | — | 23 | 28 | μA | 3.0 | Fosc = 32 kHz |
| | | | — | 45 | 63.7 | μA | 5.0 | LP 振荡器模式 |
| D011 | | | — | 180 | 250 | μA | 3.0 | Fosc = 1 MHz |
| | | | — | 290 | 370 | μA | 5.0 | XT 振荡器模式 |
| D012 | | | — | 350 | 470 | μA | 3.0 | Fosc = 4 MHz |
| | | | — | 600 | 780 | μA | 5.0 | XT 振荡器模式 |
| D013 | | | — | 2.1 | 2.9 | mA | 4.5 | Fosc = 20 MHz |
| | | | — | 2.5 | 3.3 | mA | 5.0 | HS 振荡器模式 |
| D020 | IPD | 掉电基本电流 | — | 0.1 | 0.85 | μA | 3.0 | WDT、BOR 和 T1OSC: |
| | | | — | 0.2 | 2.7 | μA | 5.0 | 禁止 |
| D021 | | 外设模块电流 ⁽¹⁾ | — | 2 | 3.5 | μA | 3.0 | WDT 电流 |
| | | | — | 9 | 13.5 | μA | 5.0 | |
| D022 | | | — | 37 | 50 | μA | 3.0 | BOR 电流 |
| | | | — | 40 | 55 | μA | 4.5 | |
| | | | — | 45 | 60 | μA | 5.0 | |
| D025 | | | — | 2.6 | 7.5 | μA | 3.0 | T1osc 电流 |
| | | | — | 3.0 | 9 | μA | 5.0 | |

† 除非另外声明, 否则“典型值”栏中的数据均为 5V 和 25°C 条件下的值。这些参数仅供设计参考, 未经测试。

注 1: 外设电流为基本 IDD 或 IPD 与该外设使能时所额外消耗的电流之和。可通过从该极限值中减去基本 IDD 或 IPD 电流, 以确定外设 Δ 电流。

MCV18E

10.3 直流特性: MCV18E (工业级)

| 直流特性 | | 标准工作条件 (除非另外声明) 工作温度 $-40^{\circ}\text{C} \leq T_A \leq +85^{\circ}\text{C}$ (工业级) 工作电压 V_{DD} 范围如第 10.1 节 “直流特性: MCV18E (工业级)” 和第 10.3 节 “直流特性: MCV18E (工业级)” 中的直流规范所述。 | | | | | |
|--|-------------------|--|--|-------|------------------------------------|----------|--|
| 参数编号 | 符号 | 特性 | 最小值 | 典型值 † | 最大值 | 单位 | 条件 |
| 输入低电压 | | | | | | | |
| D030 D030A D031 D032 D033 | V _{IL} | I/O 端口 | V _{SS} | — | 0.8 | V | $4.5\text{V} \leq V_{DD} \leq 5.5\text{V}$ 其他情况 (注 1) |
| | | 带 TTL 缓冲器 | V _{SS} | — | 0.15 V _{DD} | V | |
| | | 带施密特触发器缓冲器 | V _{SS} | — | 0.2 V _{DD} | V | |
| | | MCLR 和 OSC1 (在 RC 模式下) | V _{SS} | — | 0.2 V _{DD} | V | |
| | | OSC1 (在 HS 模式下) OSC1 (在 XT 和 LP 模式下) | V _{SS} | — | 0.3 V _{DD} 0.6 | V | |
| 输入高电压 | | | | | | | |
| D040 D040A D041 D042 D042A D043 | V _{IH} | I/O 端口 | 2.4 | — | V _{DD} | V | $4.5\text{V} \leq V_{DD} \leq 5.5\text{V}$ 其他情况 整个 V _{DD} 范围 (注 1) |
| | | 带 TTL 缓冲器 | 0.25 V _{DD} + 0.8V | — | V _{DD} | V | |
| | | 带施密特触发器缓冲器 | 0.8 V _{DD} | — | V _{DD} | V | |
| | | MCLR | 0.8 V _{DD} | — | V _{DD} | V | |
| | | OSC1 (XT、HS 和 LP 模式) OSC1 (在 RC 模式下) | 0.7 V _{DD} 0.9 V _{DD} | — | V _{DD} V _{DD} | V | |
| 输入泄漏电流 (2), (3) | | | | | | | |
| D060 D061 D063 | I _{IL} | I/O 端口 | — | — | ±1 ±500 | μA nA | $V_{SS} \leq V_{PIN} \leq V_{DD}$, 引脚处于高阻态 $V_{SS} \leq V_{PIN} \leq V_{DD}$, 引脚配置为模拟输入 $V_{SS} \leq V_{PIN} \leq V_{DD}$ $V_{SS} \leq V_{PIN} \leq V_{DD}$, XT、HS 和 LP 振荡器模式 |
| | | MCLR 和 RA4/T0CKI | — | — | ±5 | μA | |
| | | OSC1/CLKIN | — | — | ±5 | μA | |
| D070 | IPURB | PORTB 弱上拉电流 | 50 | 250 | 400 | μA | $V_{DD} = 5\text{V}$, $V_{PIN} = V_{SS}$ |
| 输出低电压 | | | | | | | |
| D080 D083 | V _{OL} | I/O 端口 | — | — | 0.6 | V | $I_{OL} = 8.5\text{ mA}$, $V_{DD} = 4.5\text{V}$, -40°C 至 $+85^{\circ}\text{C}$ $I_{OL} = 1.6\text{ mA}$, $V_{DD} = 4.5\text{V}$, -40°C 至 $+85^{\circ}\text{C}$ |
| | | OSC2/CLKOUT (RC 振荡器模式) | — | — | 0.6 | V | |
| 输出高电压 | | | | | | | |
| D090 D092 | V _{OH} | I/O 端口 (3) | V _{DD} -0.7 | — | — | V | $I_{OH} = -3.0\text{ mA}$, $V_{DD} = 4.5\text{V}$, -40°C 至 $+85^{\circ}\text{C}$ $I_{OH} = -1.3\text{ mA}$, $V_{DD} = 4.5\text{V}$, -40°C 至 $+85^{\circ}\text{C}$ |
| | | OSC2/CLKOUT (RC 振荡器模式) | V _{DD} -0.7 | — | — | V | |
| D150* | V _{OD} | 漏极开路高电压 | — | — | 8.5 | V | RA4 引脚 |
| 输出引脚上的容性负载规范 | | | | | | | |
| D100 | C _{OSC2} | OSC2/CLKOUT 引脚 | — | — | 15 | pF | 当外部时钟用于驱动 OSC1 时、处于 XT、HS 和 LP 模式下。 |
| D101 | C _{IO} | 所有 I/O 引脚和 OSC2 (在 RC 模式下) | — | — | 50 | pF | |

* 这些参数为特性值, 未经测试。

† 除非另外声明, 否则 “典型值” 栏中的数据均为 5V 和 25°C 条件下的值。这些参数仅供设计参考, 未经测试。

- 注 1: 在 RC 振荡器模式下, OSC1/CLKIN 引脚被配置为施密特触发器输入。在 RC 模式下, 建议不要使用外部时钟驱动 PIC® 器件。
- 2: MCLR/VPP 引脚上的泄漏电流主要由施加在该引脚上的电平决定。规定电平为正常工作条件下的电平。在不同的输入电压下可测得更高的泄漏电流。
- 3: 负电流定义为引脚的拉电流。

10.4 交流（时序）特性

10.4.1 时序参数符号体系

可根据以下一种格式来创建时序参数符号：

1. TppS2ppS

2. TppS

| | | |
|----------|----|------|
| T | | |
| F | 频率 | T 时间 |

小写字母（pp）及其含义：

| | | |
|-----------|-------------------|--------------------------------------|
| pp | | |
| cc | CCP1 | osc OSC1 |
| ck | CLKOUT | rd \overline{RD} |
| cs | \overline{CS} | rw \overline{RD} 或 \overline{WR} |
| di | SDI | sc SCK |
| do | SDO | ss \overline{SS} |
| dt | 数据输入 | t0 T0CKI |
| io | I/O 端口 | t1 T1CKI |
| mc | \overline{MCLR} | wr \overline{WR} |

大写字母及其含义：

| | | |
|----------|--------|------|
| S | | |
| F | 下降 | P 周期 |
| H | 高 | R 上升 |
| I | 无效（高阻） | V 有效 |
| L | 低 | Z 高阻 |

MCV18E

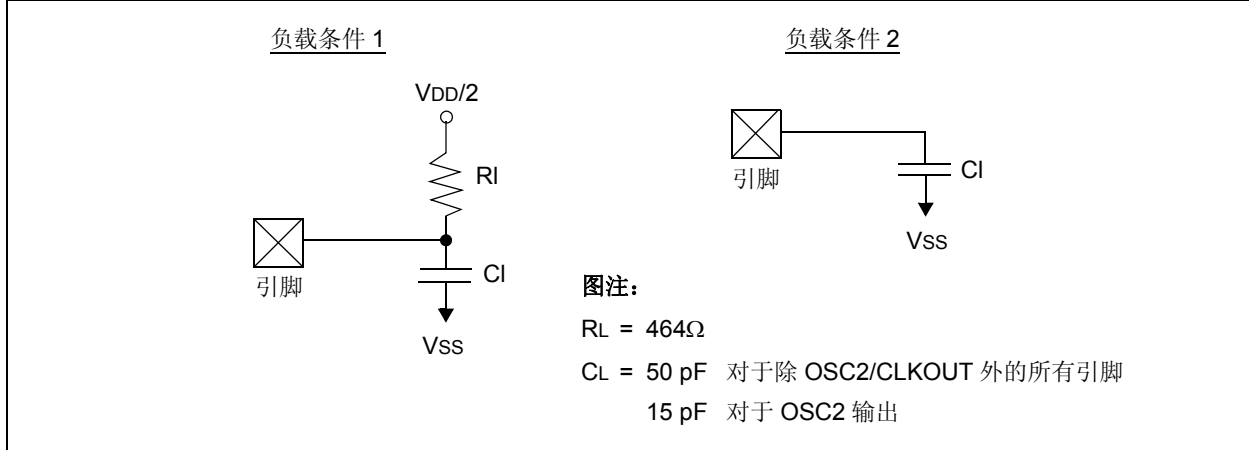
10.4.2 时序条件

表 10-1 中指定的温度和电压适用于所有的时序规范（除非另外声明）。图 10-2 规定了时序规范的负载条件。

表 10-1: 温度和电压规范——交流

| | |
|------|---|
| 交流特性 | <p>标准工作条件（除非另外声明） 工作温度 $-40^{\circ}\text{C} \leq T_A \leq +85^{\circ}\text{C}$（工业级） 工作电压 V_{DD} 范围如第 10.1 节“直流特性：MCV18E（工业级）”和第 10.3 节“直流特性：MCV18E（工业级）”中的直流规范所述。LC 部件仅在商业级 / 工业级温度下。</p> |
|------|---|

图 10-2: 器件时序规范的负载条件



10.4.3 时序图和规范

图 10-3: 外部时钟时序

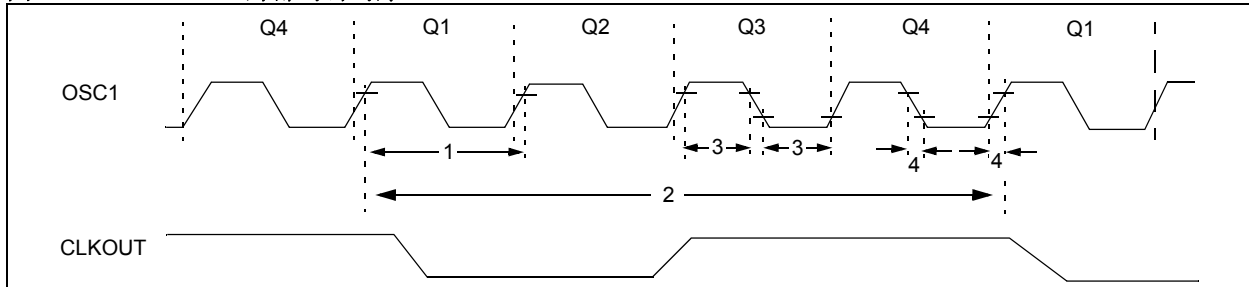


表 10-2: 外部时钟时序要求

| 参数编号 | 符号 | 特性 | 最小值 | 典型值 † | 最大值 | 单位 | 条件 |
|------|---------------|--------------------------|-----|-------|--------|-----|--------------------------------------|
| 1A | Fosc | 外部时钟输入频率 (1) | DC | — | 4 | MHz | RC 和 XT 振荡器模式 |
| | | | DC | — | 20 | MHz | HS 振荡器模式 |
| | | | DC | — | 200 | kHz | LP 振荡器模式 |
| | | 振荡器频率 (1) | DC | — | 4 | MHz | RC 振荡器模式 |
| | | | 0.1 | — | 4 | MHz | XT 振荡器模式 |
| | | | 4 | — | 20 | MHz | HS 振荡器模式 |
| 1 | Tosc | 外部 CLKIN 周期 (1) | 250 | — | — | ns | RC 和 XT 振荡器模式 |
| | | | 50 | — | — | ns | HS 振荡器模式 |
| | | | 5 | — | — | µs | LP 振荡器模式 |
| | | 振荡器周期 (1) | 250 | — | — | ns | RC 振荡器模式 |
| | | | 250 | — | 10,000 | ns | XT 振荡器模式 |
| | | | 50 | — | 250 | ns | HS 振荡器模式 |
| 2 | Tcy | 指令周期时间 (1) | 200 | — | DC | ns | T _{cy} = 4/F _{osc} |
| | | | 5 | — | — | µs | LP 振荡器模式 |
| 3* | TosL, TosH | 外部时钟输入 (OSC1) 的高电平或低电平时间 | 100 | — | — | ns | XT 振荡器 |
| | | | 2.5 | — | — | µs | LP 振荡器 |
| | | | 15 | — | — | ns | HS 振荡器 |
| 4* | TosR, TosF | 外部时钟输入 (OSC1) 的上升或下降时间 | — | — | 25 | ns | XT 振荡器 |
| | | | — | — | 50 | ns | LP 振荡器 |
| | | | — | — | 15 | ns | HS 振荡器 |

* 这些参数为特性值，未经测试。

† 除非另外声明，否则“典型值”栏中的数据均为 5V 和 25°C 条件下的值。这些参数仅供设计参考，未经测试。

注 1: 指令周期 (T_{cy}) 等于输入振荡器时基周期的四倍。所有规定值均为基于针对特定振荡器类型，器件在标准工作条件下执行代码时的特性数据。超出这些规定的限定值，可能导致振荡器运行不稳定和 / 或导致电流消耗超出预期值。所有器件在测试“最小”值时，都在 OSC1/CLKIN 引脚连接了外部时钟。当使用了外部时钟输入时，所有器件的“最大”周期时间限制为“DC”（无时钟）。

MCV18E

图 10-4: CLKOUT 和 I/O 时序

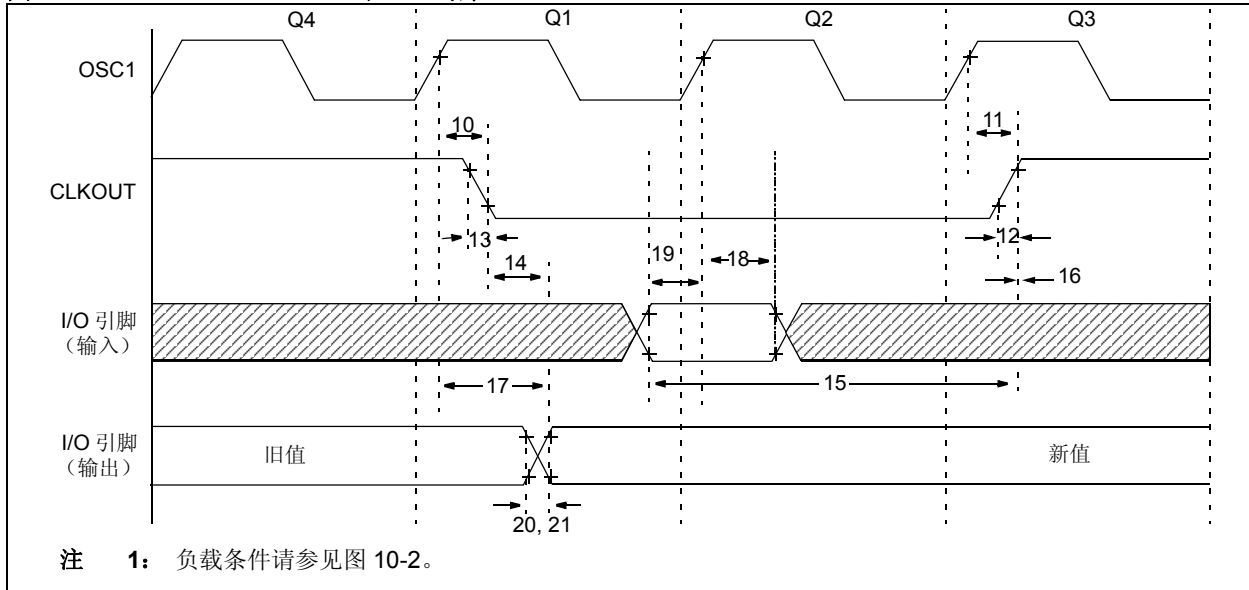


表 10-3: CLKOUT 和 I/O 时序要求

| 参数编号 | 符号 | 特性 | 最小值 | 典型值† | 最大值 | 单位 | 条件 |
|-------|----------|---------------------------------------|------------|------|-----|----|-------|
| 10* | TosH2ckL | OSC1↑ 到 CLKOUT↓ 的时间 | — | 75 | 200 | ns | (注 1) |
| 11* | TosH2ckH | OSC1↑ 到 CLKOUT↑ 的时间 | — | 75 | 200 | ns | (注 1) |
| 12* | TckR | CLKOUT 上升时间 | — | 35 | 100 | ns | (注 1) |
| 13* | TckF | CLKOUT 下降时间 | — | 35 | 100 | ns | (注 1) |
| 14* | TckL2ioV | CLKOUT ↓ 到端口输出有效的的时间 | — | — | 20 | ns | (注 1) |
| 15* | TioV2ckH | CLKOUT ↑ 之前端口输入有效的的时间 | Tosc + 200 | — | — | ns | (注 1) |
| 16* | TckH2ioI | CLKOUT ↑ 之后端口输入保持的时间 | 0 | — | — | ns | (注 1) |
| 17* | TosH2ioV | OSC1↑ (Q1 周期) 到端口输出有效的的时间 | — | 50 | 150 | ns | |
| 18* | TosH2ioI | OSC1↑ (Q2 周期) 到端口输入无效的时间 (I/O 输入保持时间) | 100 | — | — | ns | |
| 19* | TioV2osH | 端口输入有效到 OSC1↑ 的时间 (I/O 输入建立时间) | 0 | — | — | ns | |
| 20* | TioR | 端口输出上升时间 | — | 10 | 40 | ns | |
| 21* | TioF | 端口输出下降时间 | — | 10 | 40 | ns | |
| 22††* | TINP | INT 引脚高电平或低电平时间 | Tcy | — | — | ns | |
| 23††* | TRBP | RB<7:4> 电平变化中断 INT 高电平或低电平时间 | Tcy | — | — | ns | |

* 这些参数为特性值，未经测试。

† 除非另外声明，否则“典型值”栏中的数据均为 5V 和 25°C 条件下的值。这些参数仅供设计参考，未经测试。

†† 这些参数是与任何内部时钟边沿无关的异步事件。

注 1: 测量是在 RC 模式下进行的，其中 CLKOUT 输出为 4 x Tosc。

图 10-5: 复位、看门狗定时器、振荡器起振定时器和上电延时定时器时序 (1)

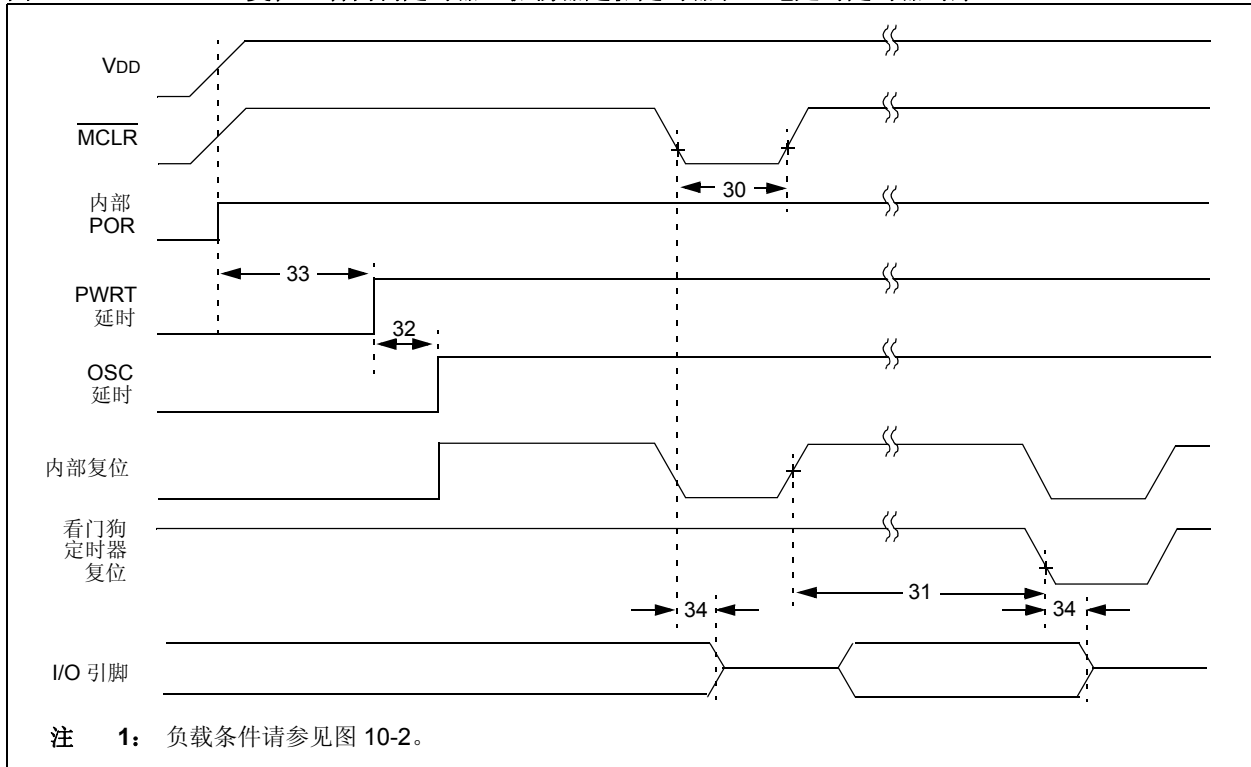


图 10-6: 欠压复位时序

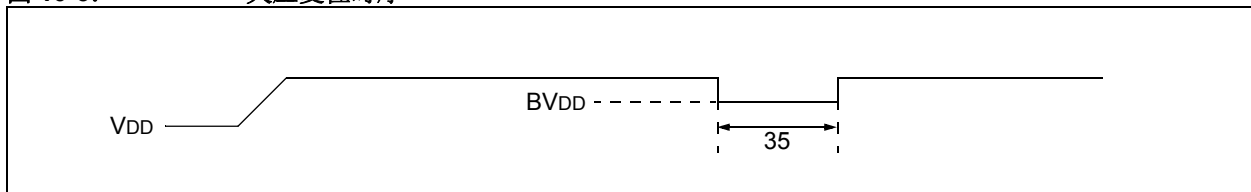


表 10-4: 复位、看门狗定时器、振荡器起振定时器、上电延时定时器和欠压复位要求

| 参数编号 | 符号 | 特性 | 最小值 | 典型值 † | 最大值 | 单位 | 条件 |
|------|-------------------|----------------------------------|-----|-----------------------|-----|----|---|
| 30 | T _{MCL} | MCLR 脉冲宽度 (低电平) | 2 | — | — | μs | V _{DD} = 5V, -40°C 至 +85°C |
| 31* | T _{WDT} | 看门狗定时器超时周期 (无预分频器) | 7 | 18 | 33 | ms | V _{DD} = 5V, -40°C 至 +85°C |
| 32 | T _{OST} | 振荡器起振定时器周期 | — | 1024 T _{OSC} | — | — | T _{OSC} = OSC1 周期 |
| 33* | T _{PWRT} | 上电延时定时器周期 | 28 | 72 | 132 | ms | V _{DD} = 5V, -40°C 至 +85°C |
| 34 | T _{IOZ} | 自 MCLR 低电平或 WDT 复位起 I/O 处于高阻态的时间 | — | — | 2.1 | μs | |
| 35 | T _{BOR} | 欠压复位脉冲宽度 | 100 | — | — | μs | V _{DD} ≤ BV _{DD} (D005) |

* 这些参数为特性值, 未经测试。

† 除非另外声明, 否则“典型值”栏中的数据均为 5V 和 25°C 条件下的值。这些参数仅供设计参考, 未经测试。

MCV18E

图 10-7: TIMER0 和 TIMER1 外部时钟时序 (1)

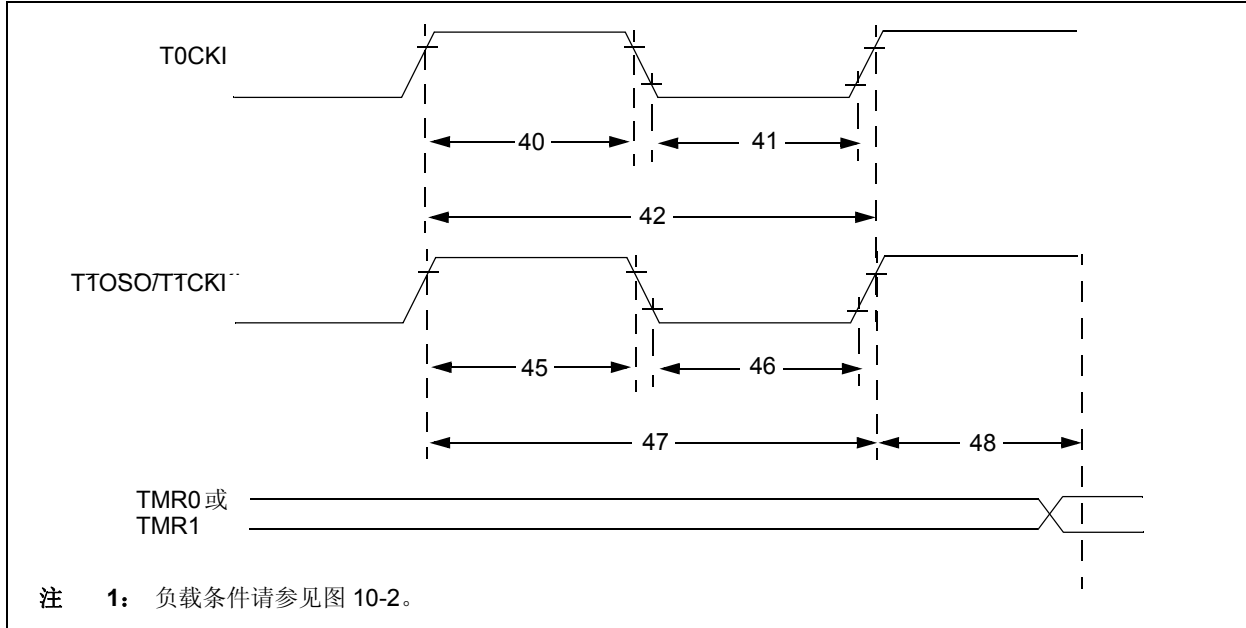


表 10-5: TIMER0 和 TIMER1 外部时钟要求

| 参数编号 | 符号 | 特性 | | 最小值 | 典型值 † | 最大值 | 单位 | 条件 | |
|------|-----------|--|--------------------|--|-------|------------|-----|---------------------------|----|
| 40* | Tt0H | T0CKI 高电平脉冲宽度 | 无预分频器 | $0.5T_{CY} + 20$ | — | — | ns | 也必须满足参数 42 | |
| | | | 带预分频器 | 10 | — | — | ns | | |
| 41* | Tt0L | T0CKI 低电平脉冲宽度 | 无预分频器 | $0.5T_{CY} + 20$ | — | — | ns | 也必须满足参数 42 | |
| | | | 带预分频器 | 10 | — | — | ns | | |
| 42* | Tt0P | T0CKI 周期 | 无预分频器 | $T_{CY} + 40$ | — | — | ns | N = 预分频值 (2, 4, ..., 256) | |
| | | | 带预分频器 | 取如下二者中较大值: 20 或 $\frac{T_{CY} + 40}{N}$ | — | — | ns | | |
| 45* | Tt1H | T1CKI 高电平时间 | 同步, 预分频比 = 1 | $0.5T_{CY} + 20$ | — | — | ns | 也必须满足参数 47 | |
| | | | 同步, 预分频比 = 2、4 或 8 | 标准 | 15 | — | — | | ns |
| | | | 异步 | 标准 | 30 | — | — | | ns |
| 46* | Tt1L | T1CKI 低电平时间 | 同步, 预分频比 = 1 | $0.5T_{CY} + 20$ | — | — | ns | 也必须满足参数 47 | |
| | | | 同步, 预分频比 = 2、4 或 8 | 标准 | 15 | — | — | | ns |
| | | | 异步 | 标准 | 30 | — | — | | ns |
| 47* | Tt1P | T1CKI 输入周期 | 同步 | 取如下二者中较大值: 30 或 $\frac{T_{CY} + 40}{N}$ | — | — | ns | N = 预分频值 (1, 2, 4, 8) | |
| | | | 异步 | 标准 | 60 | — | — | | ns |
| | Ft1 | Timer1 振荡器输入频率范围 (通过将 T1OSCEN 位置 1, 使能振荡器) | | 32.768 | — | 32.768 | kHz | | |
| 48* | TCKEZtmr1 | 从外部时钟边沿到定时器递增的延时 | | $2T_{osc}$ | — | $7T_{osc}$ | — | | |

* 这些参数为特性值, 未经测试。

† 除非另外声明, 否则“典型值”栏中的数据均为 5V 和 25°C 条件下的值。这些参数仅供设计参考, 未经测试。

图 10-8: 捕捉 / 比较 / PWM 时序 (1)

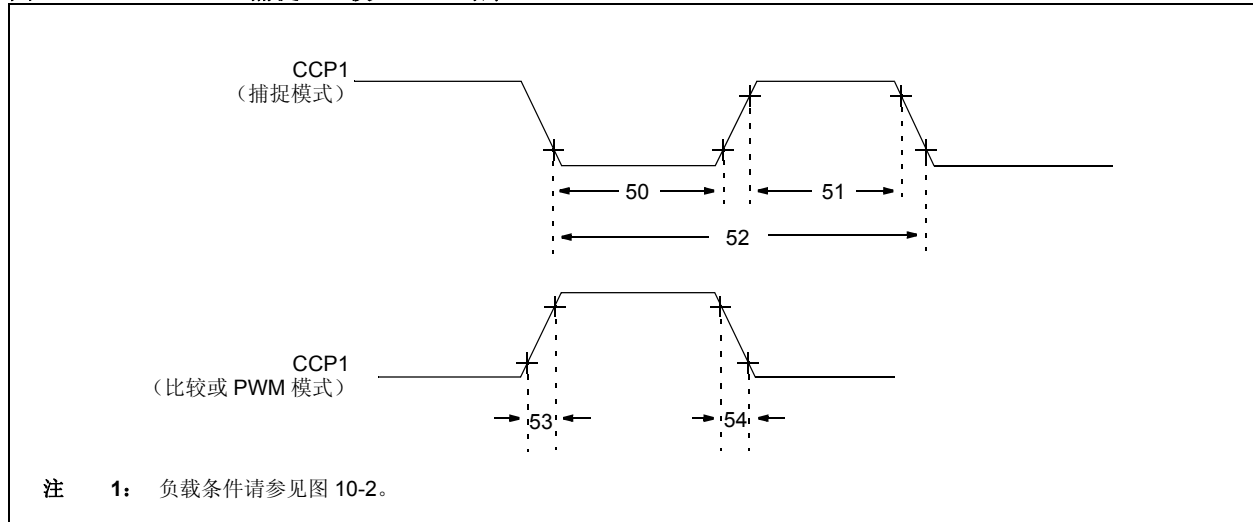


表 10-6: 捕捉 / 比较 / PWM 要求

| 参数编号 | 符号 | 特性 | 最小值 | 典型值 † | 最大值 | 单位 | 条件 | |
|------|------|--------------|--------------------------|------------------|-----|----|---------------------|--|
| 50* | TccL | CCP1 输入低电平时间 | 无预分频器 | $0.5T_{CY} + 20$ | — | — | ns | |
| | | 带预分频器 | 10 | — | — | ns | | |
| 51* | TccH | CCP1 输入高电平时间 | 无预分频器 | $0.5T_{CY} + 20$ | — | — | ns | |
| | | 带预分频器 | 10 | — | — | ns | | |
| 52* | TccP | CCP1 输入周期 | $\frac{3T_{CY} + 40}{N}$ | — | — | ns | N = 预分频值 (1、4 或 16) | |
| 53* | TccR | CCP1 输出上升时间 | — | 10 | 40 | ns | | |
| 54* | TccF | CCP1 输出下降时间 | — | 10 | 40 | ns | | |

* 这些参数为特性值, 未经测试。

† 除非另外声明, 否则“典型值”栏中的数据均为 5V 和 25°C 条件下的值。这些参数仅供设计参考, 未经测试。

MCV18E

表 10-7: A/D 转换器特性: MCV18E (工业级)

| 参数编号 | 符号 | 特性 | 最小值 | 典型值 † | 最大值 | 单位 | 条件 |
|------|------|----------------|-----------|-------|------------|-----|---|
| A00 | VDD | VDD 工作电压 | 2.4 | — | 5.5 | V | |
| A01 | NR | 分辨率 | — | — | 8 位 | 位 | VREF = VDD = 5.12V, VSS ≤ VAIN ≤ VREF |
| A03 | EIL | 积分线性误差 | — | — | < ± 1.5 | LSb | VREF = VDD = 5.12V, VSS ≤ VAIN ≤ VREF |
| A04 | EDL | 微分线性误差 | -1.0 | — | 1.7 | LSb | VREF = VDD = 5.12V, VSS ≤ VAIN ≤ VREF |
| A05 | EFS | 满量程误差 | — | — | < ± 1.5 | LSb | VREF = VDD = 5.12V, VSS ≤ VAIN ≤ VREF |
| A06 | E0FF | 失调误差 | — | — | < ± 1.5 | LSb | VREF = VDD = 5.12V, VSS ≤ VAIN ≤ VREF |
| A20 | VREF | 参考电压 | 2.5V | — | VDD + 0.3 | V | |
| A25 | VAIN | 模拟输入电压 | VSS - 0.3 | — | VREF + 0.3 | V | |
| A30 | ZAIN | 模拟电压源的建议阻抗 | — | — | 10.0 | kΩ | |
| A40 | IAD | A/D 转换电流 (VDD) | — | 180 | — | μA | 当 A/D 开启时的平均电流消耗。(1) |
| A50 | IREF | VREF 输入电流 (2) | 10 | — | 1000 | μA | 在采集 VAIN 期间。基于 VHOLD 对 VAIN 的微分为 CHOLD 充电, 请参见第 10.1 节“直流特性: MCV18E (工业级)”。在 A/D 转换周期期间 |
| | | | — | — | 10 | μA | |

* 这些参数为特性值, 未经测试。

† 除非另外声明, 否则“典型值”栏中的数据均为 5V 和 25°C 条件下的值。这些参数仅供设计参考, 未经测试。

- 注 1: 当 A/D 关闭时, 它除了消耗很少的泄漏电流外, 不消耗任何其他电流。掉电电流规范中包括来自 A/D 模块的任何泄漏电流。
- 2: VREF 电流来自被选择作为参考输入的 RA3 引脚或 VDD 引脚。

图 10-9: A/D 转换时序

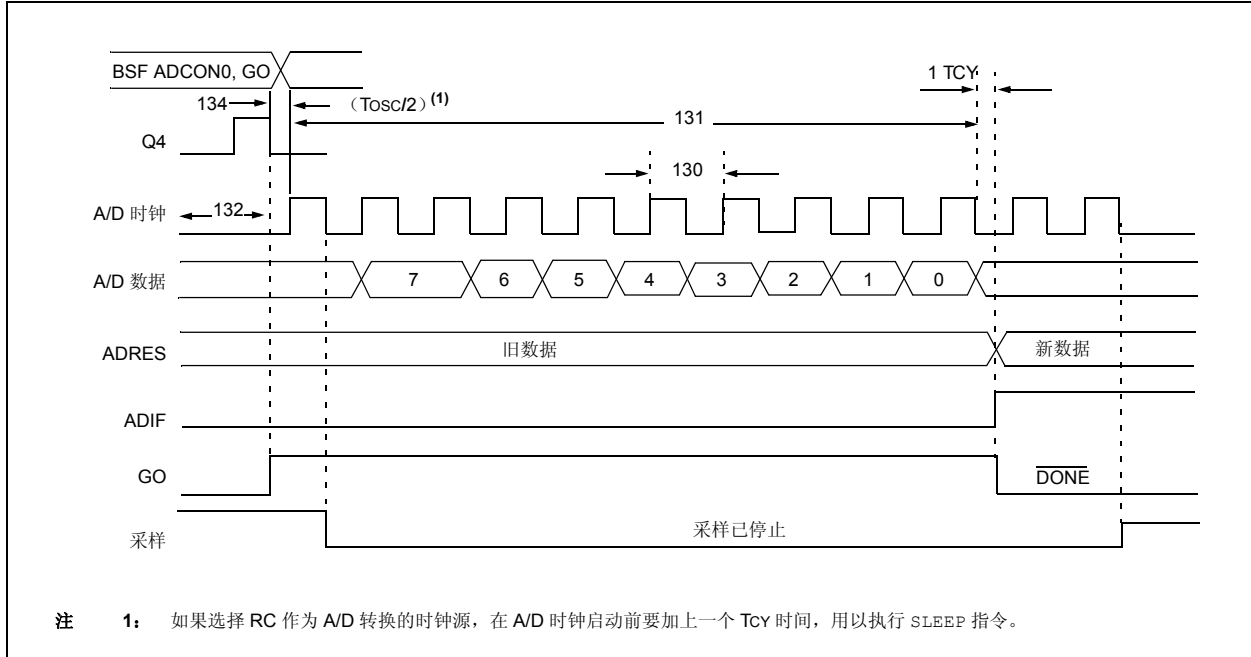


表 10-8: A/D 转换要求

| 参数编号 | 符号 | 特性 | 最小值 | 典型值 † | 最大值 | 单位 | 条件 | |
|------|------|-------------------------|--------|-----------|-----|-----|--|--|
| 130 | TAD | A/D 时钟周期 | 工业级 | 1.6 | — | — | μs | 基于 TOSC, VREF ≥ 3.0V |
| | | | 工业级 | 1.6 | 4.0 | 6.0 | μs | A/D RC 模式 |
| 131 | TCNV | 转换时间 (不包括采样 / 保持时间) (1) | 9.5 | — | 9.5 | TAD | | |
| 132 | TACQ | 采集时间 | (注 2) | 20 | — | — | μs | 最小时间为放大器稳定时间。如果“新的”输入电压相对于上次采样电压 (如 CHOLD 中所述) 的变化不超过 1 LSB (即 5.12V 时为 20.0 mV), 便可使用此时间。 |
| | | | 5* | — | — | μs | | |
| 134 | TGO | Q4 到 A/D 时钟启动的时间 | — | Tosc/2 ** | — | — | 如果选择 RC 作为 A/D 转换的时钟源, 在 A/D 时钟启动前要加上一个 Tcy 时间, 用以执行 SLEEP 指令。 | |
| 135 | Tswc | 转换 → 采样的切换时间 | 1.5 ** | — | — | TAD | | |

* 这些参数为特性值, 未经测试。

** 这是设计规范值。

† 除非另外声明, 否则“典型值”栏中的数据均为 5V 和 25°C 条件下的值。这些参数仅供设计参考, 未经测试。

注 1: ADRES 寄存器可在下一个 Tcy 周期被读取。

2: 最小条件请参见第 10.1 节“直流特性: MCV18E (工业级)”。

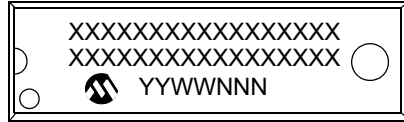
MCV18E

注:

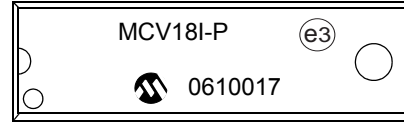
11.0 封装信息

11.1 封装标识信息

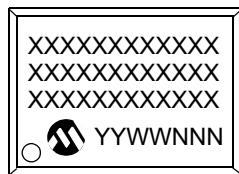
18 引脚 PDIP



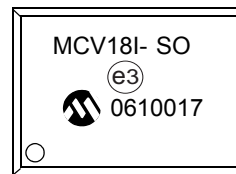
示例



18 引脚 SOIC (7.50 mm)



示例



图注: XX...X 客户指定信息
 Y 年份代码 (日历年的最后一位数字)
 YY 年份代码 (日历年的最后两位数字)
 WW 星期代码 (一月一日的星期代码为“01”)
 NNN 以字母数字排序的追踪代码
 (e3) 雾锡 (Matte Tin, Sn) 的 JEDEC 无铅标志
 * 本封装为无铅封装。JEDEC 无铅标志 ((e3)) 标示于此种封装的外包装上。

注: Microchip 元器件编号如果无法在同一行内完整标注, 将换行标出, 因此会限制表示客户指定信息的字符数。

* 标准 PIC® 器件标识包括 Microchip 器件编号、年份代码、星期代码和追踪代码。若 PIC® 器件标识超出上述内容, 需支付一定的附加费用。请向当地的 Microchip 销售办事处了解确认。对于 QTP 器件, 任何特殊标记的费用都已包含在 QTP 价格中。

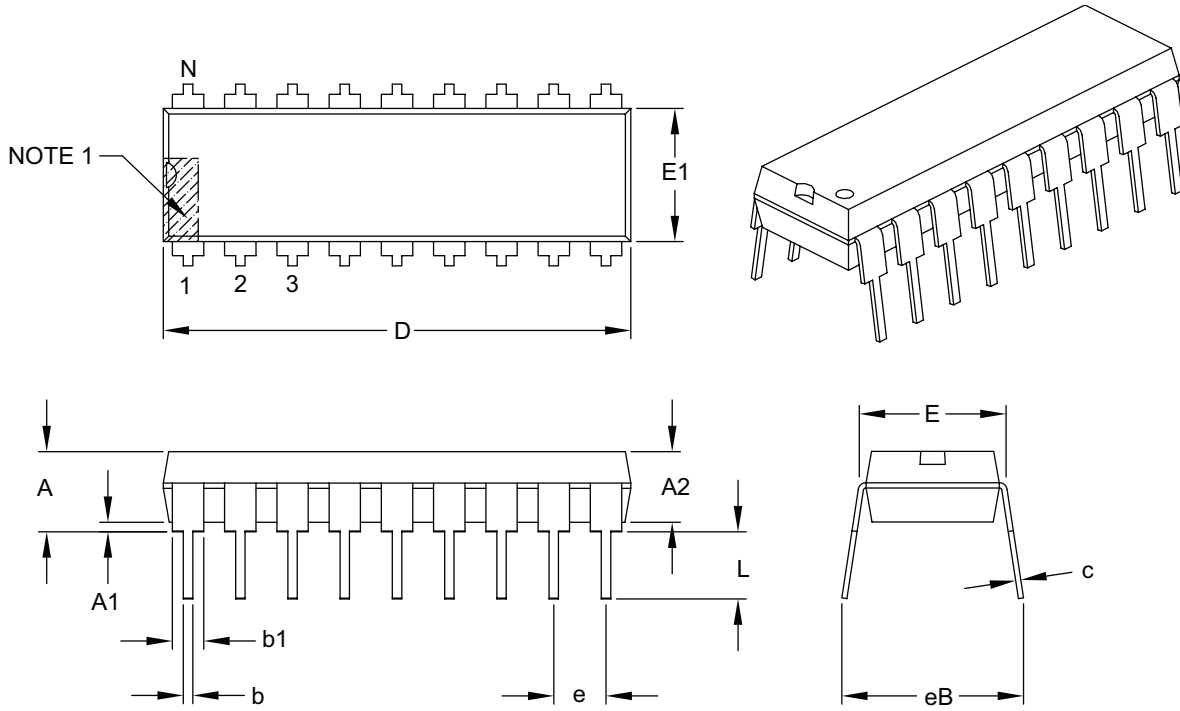
MCV18E

11.2 封装详细信息

以下部分将介绍各种封装的技术细节。

18引脚塑封双列直插式封装 (P) —— 主体 300 mil [PDIP]

注： 最新封装图请至<http://www.microchip.com/packaging>查看Microchip封装规范。



| | | Units | INCHES | | |
|----------------------------|----|-------|-----------|------|------|
| Dimension Limits | | | MIN | NOM | MAX |
| Number of Pins | N | | 18 | | |
| Pitch | e | | .100 BS C | | |
| Top to Seating Plane | A | - | - | - | .210 |
| Molded Package Thickness | A2 | .115 | .130 | .195 | |
| Base to Seating Plane | A1 | .015 | - | - | |
| Shoulder to Shoulder Width | E | .300 | .310 | .325 | |
| Molded Package Width | E1 | .240 | .250 | .280 | |
| Overall Length | D | .880 | .900 | .920 | |
| Tip to Seating Plane | L | .115 | .130 | .150 | |
| Lead Thickness | c | .008 | .010 | .014 | |
| Upper Lead Width | b1 | .045 | .060 | .070 | |
| Lower Lead Width | b | .014 | .018 | .022 | |
| Overall Row Spacing § | eB | - | - | - | .430 |

Notes:

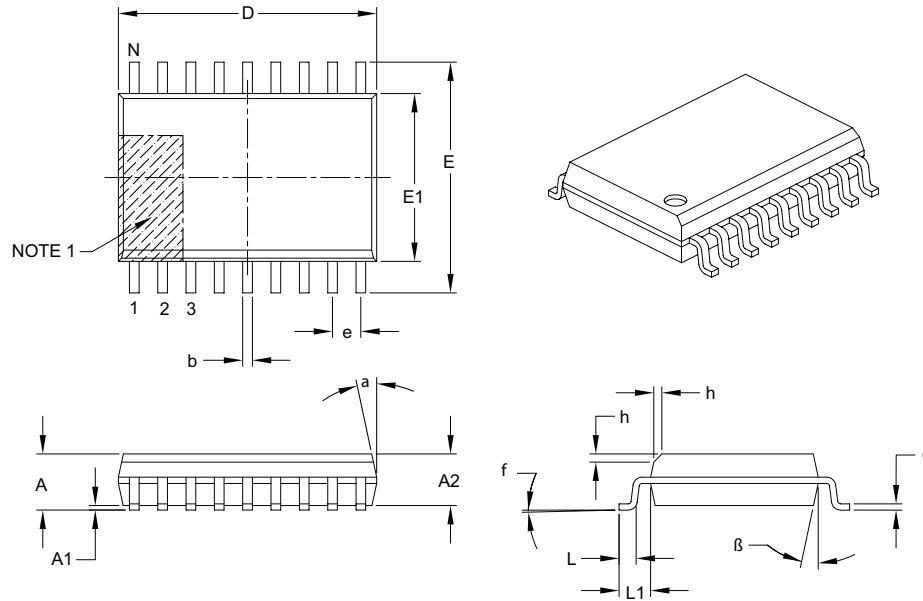
- Pin 1 visual index feature may vary, but must be located within the hatched area.
- § Significant Characteristic.
- Dimensions D and E1 do not include mold flash or protrusions. Mold flash or protrusions shall not exceed .010" per side.
- Dimensioning and tolerancing per ASME Y14.5M.

BS C: Basic Dimension. Theoretically exact value shown without tolerances.

Microchip Technology Drawing C04-00 7B

18引脚塑封宽条小外形封装 (SO) —— 主体 7.50 mm [SOIC]

注： 最新封装图请至<http://www.microchip.com/packaging>查看Microchip封装规范。



| Dimension Limits | Units | MILLIMETERS | | |
|--------------------------|-------|-------------|-----|------|
| | | MIN | NOM | MAX |
| Number of Pins | N | 18 | | |
| Pitch | e | 1.27 BSC | | |
| Overall Height | A | – | – | 2.65 |
| Molded Package Thickness | A2 | 2.05 | – | – |
| Standoff § | A1 | 0.10 | – | 0.30 |
| Overall Width | E | 10.30 BSC | | |
| Molded Package Width | E1 | 7.50 BSC | | |
| Overall Length | D | 11.55 BSC | | |
| Chamfer (optional) | h | 0.25 | – | 0.75 |
| Foot Length | L | 0.40 | – | 1.27 |
| Footprint | L1 | 1.40 REF | | |
| Foot Angle | f | 0° | – | 8° |
| Lead Thickness | c | 0.20 | – | 0.33 |
| Lead Width | b | 0.31 | – | 0.51 |
| Mold Draft Angle Top | a | 5° | – | 15° |
| Mold Draft Angle Bottom | β | 5° | – | 15° |

Notes:

- Pin 1 visual index feature may vary, but must be located within the hatched area.
- § Significant Characteristic.
- Dimensions D and E1 do not include mold flash or protrusions. Mold flash or protrusions shall not exceed 0.15 mm per side.
- Dimensioning and tolerancing per ASME Y14.5M.

BSC: Basic Dimension. Theoretically exact value shown without tolerances.

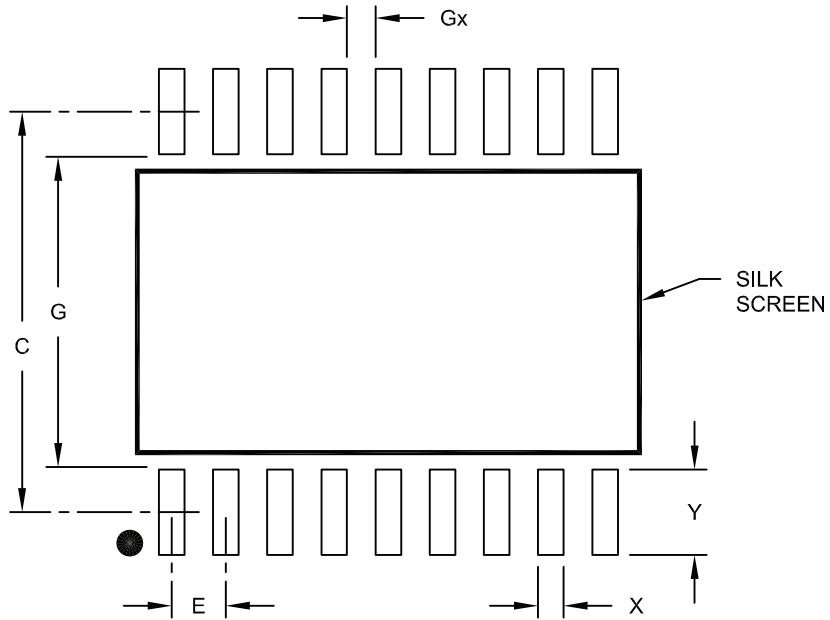
REF: Reference Dimension, usually without tolerance, for information purposes only.

Microchip Technology Drawing C04-051B

MCV18E

18引脚塑封宽条小外形封装（SO）——主体 7.50 mm [SOIC]

注：最新封装图请至<http://www.microchip.com/packaging>查看Microchip封装规范。



RECOMMENDED LAND PATTERN

| Dimension Limits | Units | MILLIMETERS | | |
|-----------------------|-------|-------------|------|------|
| | | MIN | NOM | MAX |
| Contact Pitch | E | 1.27 BSC | | |
| Contact Pad Spacing | C | | 9.40 | |
| Contact Pad Width | X | | | 0.60 |
| Contact Pad Length | Y | | | 2.00 |
| Distance Between Pads | Gx | 0.67 | | |
| Distance Between Pads | G | 7.40 | | |

Notes:

1. Dimensioning and tolerancing per ASME Y14.5M

BSC: Basic Dimension. Theoretically exact value shown without tolerances.

Microchip Technology Drawing No. C04-2051A

附录 A: 版本历史

版本 A (2009 年 10 月)

本数据手册的初始版本。

MCV18E

注:

索引

A

| | |
|-----------------------------|--------|
| A/D | |
| ADCON0 寄存器 | 11 |
| ADCON1 寄存器 | 12 |
| ADRES 寄存器 | 11 |
| 时序图 | 93 |
| 转换器特性 | 92 |
| ADC | 41 |
| 采集要求 | 47 |
| 参考电压 (VREF) | 42 |
| 端口配置 | 42 |
| 工作原理 | 44 |
| 计算采集时间 | 47 |
| 框图 | 41 |
| 模拟信号源阻抗 | 47 |
| 内部采样开关阻抗 (R _{ss}) | 47 |
| 配置 | 42 |
| 配置中断 | 44 |
| 特殊事件触发器 | 44 |
| 通道选择 | 42 |
| 相关的寄存器 | 49 |
| 休眠期间的操作 | 44 |
| 中断 | 43 |
| 转换步骤 | 44 |
| 转换时钟 | 42 |
| ADCON0 寄存器 | 11, 45 |
| ADCON1 寄存器 | 12, 46 |
| ADRES 寄存器 | 11 |

B

| | |
|----------------------------------|--------|
| BOR. 请参见欠压复位 | |
| 版本历史 | 99 |
| 比较模块. 请参见增强型捕捉 / 比较 / PWM (ECCP) | |
| 变更通知客户服务 | 7 |
| 捕捉 / 比较 / PWM (CCP) | |
| CCP1CON 寄存器 | 11 |
| CCP1 引脚配置 | 52 |
| CCPR1H 寄存器 | 11 |
| CCPR1L 寄存器 | 11 |
| PWM 模式 | 56 |
| PWM 频率和分辨率示例, 20 MHz | 58 |
| PWM 频率和分辨率示例, 8 MHz | 58 |
| 复位的影响 | 59 |
| 设置操作 | 59 |
| 系统时钟频率改变 | 59 |
| 休眠模式下的操作 | 59 |
| 占空比 | 57 |
| PWM 周期 | 57 |
| 比较模式 | 54 |
| CCP1 引脚配置 | 54 |
| Timer1 模式选择 | 52, 54 |
| 软件中断模式 | 52, 54 |
| 特殊事件触发器 | 54 |
| 标志 (CCP1IF 位) | 17 |
| 捕捉模式 | 52 |
| 设置 PWM 操作 | 59 |
| 时序图 | 91 |
| 与 PWM 相关的寄存器 | 64 |
| 与比较相关的寄存器 | 55 |
| 与捕捉相关的寄存器 | 53 |
| 预分频器 | 52 |
| 捕捉模块. 请参见增强型捕捉 / 比较 / PWM (ECCP) | |

C

| | |
|-------------------|------------|
| CCP1CON (增强型) 寄存器 | 51 |
| CONFIG 寄存器 | 66 |
| CPU 的特殊功能 | 65 |
| 程序存储器 | 9 |
| 程序存储器映射 | 9 |
| 分页 | 9, 19 |
| 复位向量 | 9 |
| 中断向量 | 9 |
| 程序计数器 | |
| PCLATH 寄存器 | 11, 19, 77 |
| PCL 寄存器 | 11, 19 |
| 复位条件 | 73 |
| 程序校验 | 80 |
| 从休眠状态唤醒 | 65, 79 |
| MCLR 复位 | 74 |
| WDT 复位 | 74 |
| 时序图 | 80 |
| 中断 | 73, 74 |
| 存储器构成 | |
| 程序存储器 | 9 |
| 数据存储器 | 9 |

D

| | |
|-----------------|--------|
| 代码保护 | 65, 80 |
| 代码示例 | |
| 初始化 PORTA | 21 |
| 初始化 PORTB | 23 |
| 改变捕捉预分频比 | 52 |
| 将预分频器分配给 Timer0 | 30 |
| 将预分频器分配给 WDT | 30 |
| 如何使用间接寻址清零 RAM | 20 |
| 电气特性 | 81 |
| 掉电模式. 请参见休眠 | |
| 定时器 | |
| Timer1 | |
| T1CON | 36 |
| Timer2 | |
| T2CON | 40 |
| 读者反馈 | 8 |
| 堆栈 | 19 |

E

| | |
|------------|----|
| ECCPAS 寄存器 | 61 |
|------------|----|

F

| | |
|---------------------------|--------|
| 分区, 数据存储器 | 9 |
| 分页, 程序存储器 | 9, 19 |
| 封装 | 95 |
| PDIP 详细信息 | 96 |
| 复位 | 65, 68 |
| MCLR 复位. 请参见 MCLR | |
| PCON 寄存器的复位条件 | 73 |
| WDT 复位. 请参见看门狗定时器 (WDT) | |
| 程序计数器的复位条件 | 73 |
| 欠压复位 (BOR). 请参见欠压复位 (BOR) | |
| 上电复位 (POR). 请参见上电复位 (POR) | |
| 时序图 | 89 |
| 状态寄存器的复位条件 | 73 |
| 复位的影响 | |
| PWM 模式 | 59 |

MCV18E

I

| | |
|-------------------------|--------|
| ID 存储单元 | 65, 80 |
| INTCON 寄存器 | 11, 15 |
| INT 中断 (RB0/INT)。请参见中断源 | |

J

| | |
|-------------------------------|------------|
| 寄存器 | |
| ADCON0 (ADC 控制 0) | 45 |
| ADCON1 (ADC 控制 1) | 46 |
| CCP1CON (增强型 CCP1 控制) | 51 |
| CONFIG (配置字) | 66 |
| ECCPAS (增强型 CCP 自动关闭控制) | 61 |
| INTCON 寄存器 | |
| RBIF | 23 |
| INTCON (中断控制) | 15 |
| OPTION_REG (选项) | 14 |
| PCON (电源控制寄存器) | 18 |
| PIE1 (外设中断允许 1) | 16 |
| PIR1 (外设中断寄存器 1) | 17 |
| PWM1CON (增强型 PWM 控制) | 64 |
| STATUS | 13 |
| T1CON | 36 |
| T2CON | 40 |
| 寄存器文件 | 10 |
| 寄存器文件映射 | 10 |
| 间接寻址 | 20 |
| FSR 寄存器 | 10, 11, 20 |
| INDF 寄存器 | 11 |
| 绝对最大值 | 81 |

K

| | |
|-----------------------|------------|
| 看门狗定时器 (WDT) | 65, 78 |
| RC 振荡器 | 78 |
| WDT 复位, 休眠 | 68, 73, 74 |
| WDT 复位, 正常工作 | 68, 73, 74 |
| 编程注意事项 | 78 |
| 超时周期 | 78 |
| 后分频器。请参见后分频器, WDT | |
| 使能 (WDTE 位) | 78 |
| 时序图 | 89 |
| 客户通知服务 | 7 |
| 客户支持 | 7 |
| 框图 | |
| ADC | 41 |
| ADC 传递函数 | 48 |
| CCP PWM | 56 |
| MCV18E | 7 |
| PORTA | 21, 22 |
| PORTB | 23 |
| RB1/T1OSO/T1CKI | 24 |
| RB2/T1OSI | 24 |
| RB3/CCP1/P1A | 25 |
| RB4 | 25 |
| RB5 | 26 |
| RB6/P1C | 26 |
| RB7/P1D | 27 |
| Timer1 | 33 |
| Timer2 | 39 |
| TMR0/WDT 预分频器 | 29 |
| 比较模式工作原理 | 54 |
| 看门狗定时器 (WDT) | 78 |
| 模拟输入模型 | 48 |
| 片上复位电路 | 70 |
| 中断源 | 76 |
| 自动关闭 | 60 |

| | |
|----------------------|----|
| (CCP) 捕捉模式工作原理 | 52 |
|----------------------|----|

M

| | |
|-----------------------|---|
| Microchip 因特网网站 | 7 |
| 模数转换器。请参见 ADC | |

N

| | |
|-----------------------------------|----|
| 内部采样开关阻抗 (R _{ss}) | 47 |
|-----------------------------------|----|

O

| | |
|----------------------|--------|
| OPTION_REG 寄存器 | 12, 14 |
|----------------------|--------|

P

| | |
|---------------------------------|--------|
| PCON 寄存器 | 18, 72 |
| PIE1 寄存器 | 12, 16 |
| PIR1 寄存器 | 11, 17 |
| CCP1IF 位 | 17 |
| PORTA | |
| PORTA 寄存器 | 11, 21 |
| TRISA 寄存器 | 12, 21 |
| 相关的寄存器 | 22 |
| PORTB | |
| PORTB 寄存器 | 11, 23 |
| RB0/INT 引脚, 外部 | 77 |
| RB7:RB4 电平变化中断标志 (RBIF 位) | 77 |
| RB 电平变化中断 | 77 |
| RB 电平变化中断允许 (RBIE 位) | 77 |
| TRISB 寄存器 | 12, 23 |
| 相关的寄存器 | 27 |
| POR。请参见上电复位 | |
| PWM1CON 寄存器 | 64 |
| 配置位 | 65 |

Q

| | |
|------------------|--------------------|
| 欠压复位 (BOR) | 65, 68, 69, 73, 74 |
| 时序图 | 89 |

R

| | |
|--------------------|----|
| RA | 21 |
| RA4/T0CKI 引脚 | 22 |
| RAM。请参见数据存储器。 | |
| RB0 引脚 | 23 |
| 熔丝。请参见配置位 | |

S

| | |
|-----------------------|----------------|
| 上电复位 (POR) | 65, 68, 73, 74 |
| 超时 (TO 位) | 68 |
| 电源控制 (PCON) 寄存器 | 72 |
| 掉电 (PD 位) | 68 |
| 上电复位电路, 外部 | 68 |
| 上电延时定时器 (PWRT) | 65, 69 |
| 上电延时时序 | 75 |
| 时序图 | 89 |
| 延时时序 | 72 |
| 振荡器起振定时器 (OST) | 65, 69 |
| 时序图 | |
| PWM 自动关闭 | |
| 固件重启 | 62 |
| 使能自动重启 | 62 |
| Timer1 递增边沿 | 35 |
| 半桥 PWM 输出 | 63 |
| 上电延时时序 | 75 |
| 通过中断将器件从休眠状态唤醒 | 80 |
| 时序图和规范 | 86 |
| A/D 转换 | 93 |
| CLKOUT 和 I/O | 88 |

| | |
|---------------------------|--------|
| Timer0 和 Timer1 | 90 |
| 捕捉 / 比较 / PWM (CCP) | 91 |
| 复位 | 89 |
| 看门狗定时器 (WDT) | 89 |
| 欠压复位 (BOR) | 89 |
| 上电延时定时器 (PWRT) | 89 |
| 外部时钟 | 86 |
| 振荡器起振定时器 (OST) | 89 |
| 数据存储 | 9 |
| 存储区选择 (RP 位) | 9 |
| 寄存器文件映射 | 10 |
| 特殊功能寄存器 | 11 |
| 通用寄存器 | 10 |
| 速度, 工作 | 3 |
| T | |
| T1CON 寄存器 | 11, 36 |
| T2CON 寄存器 | 11, 40 |
| Timer0 | |
| T0CKI | 30 |
| TMR0 寄存器 | 11 |
| 工作原理 | 29 |
| 上溢标志 (TOIF 位) | 77 |
| 上溢中断 | 77 |
| 时序图 | 90 |
| 外部时钟 | 30 |
| 相关的寄存器 | 31 |
| Timer1 | 33 |
| T1CON 寄存器 | 11 |
| TMR1H 寄存器 | 11, 33 |
| TMR1L 寄存器 | 11, 33 |
| 工作模式 | 33 |
| 工作原理 | 33 |
| 时序图 | 90 |
| 相关的寄存器 | 37 |
| 休眠期间的操作 | 34 |
| 异步计数器模式 | 34 |
| 读写 | 34 |
| 预分频器 | 34 |
| 振荡器 | 34 |
| 中断 | 34 |
| Timer2 | |
| PR2 寄存器 | 12 |
| T2CON 寄存器 | 11 |
| TMR2 寄存器 | 11 |
| 相关的寄存器 | 40 |
| 特殊功能寄存器 | 11 |
| 特殊事件触发器 | 44 |

V

VREF. 请参见 ADC 参考电压

W

| | |
|-----------------|----|
| W 寄存器 | 77 |
| WWW 地址 | 7 |
| WWW, 在线支持 | 5 |
| 外部上电复位电路 | 68 |

X

| | |
|-------------|------------|
| 休眠 | 65, 68, 79 |
| 选项寄存器 | 14 |

Y

| | |
|----------------------|----|
| 因特网地址 | 7 |
| 预分频器 | |
| 共用的 WDT/Timer0 | 30 |

| | |
|-----------------|----|
| 切换预分频器的分配 | 30 |
|-----------------|----|

Z

| | |
|-------------------------------|------------|
| 在线串行编程 (ICSP) | 65, 80 |
| 增强型捕捉 / 比较 / PWM (ECCP) | |
| 定时器资源 | 51 |
| 增强型 PWM 模式 | |
| 半桥应用示例 | 63 |
| 可编程死区延时 | 63 |
| 直通电流 | 63 |
| 自动关闭 | 60 |
| 自动重启 | 62 |
| 振荡器 | |
| 相关的寄存器 | 37 |
| 振荡器配置 | 65, 67 |
| HS | 67, 72 |
| LP | 67, 72 |
| RC | 67, 68, 72 |
| XT | 67, 72 |
| 振荡器, WDT | 78 |
| 直接寻址 | 20 |
| 直流特性 | 82, 83, 84 |
| 直通电流 | 63 |
| 指针, FSR | 20 |
| 中断 | |
| ADC | 44 |
| TMR1 | 34 |
| 中断源 | 65, 76 |
| RB0/INT 引脚, 外部 | 77 |
| TMR0 上溢 | 77 |
| 电平变化中断 (RB) | 23 |
| 中断, 标志位 | |
| CCP1 标志 (CCP1IF 位) | 17 |
| TMR0 上溢标志 (TOIF 位) | 77 |
| 电平变化中断 (RB) 标志 (RBIF 位) | 77 |
| 中断, 现场保护 | 77 |
| 中断, 允许位 | |
| 电平变化中断 (RB) 允许 (RBIE 位) | 77 |
| 全局中断允许 (GIE 位) | 76 |
| 主复位 (MCLR) | |
| MCLR 复位, 休眠 | 68, 73, 74 |
| MCLR 复位, 正常工作 | 68, 73, 74 |
| 状态寄存器 | 11, 13, 77 |
| PD 位 | 68 |
| TO 位 | 68 |

MCV18E

注:

MICROCHIP 网站

Microchip 网站 (www.microchip.com) 为客户提供在线支持。客户可通过该网站方便地获取文件和信息。只要使用常用的因特网浏览器即可访问。网站提供以下信息：

- **产品支持**——数据手册和勘误表、应用笔记和示例程序、设计资源、用户指南以及硬件支持文档、最新的软件版本以及存档软件
- **一般技术支持**——常见问题 (FAQ)、技术支持请求、在线讨论组以及 Microchip 顾问计划成员名单
- **Microchip 业务**——产品选型和订购指南、最新 Microchip 新闻稿、研讨会和活动安排表、Microchip 销售办事处、代理商以及工厂代表列表

变更通知客户服务

Microchip 的客户通知服务有助于客户了解 Microchip 产品的最新信息。注册客户可在他们感兴趣的某个产品系列或开发工具发生变更、更新、发布新版本或勘误表时，收到电子邮件通知。

欲注册，请登录 Microchip 网站 www.microchip.com，点击“变更通知客户 (Customer Change Notification)”服务后按照注册说明完成注册。

客户支持

Microchip 产品的用户可通过以下渠道获得帮助：

- 代理商或代表
- 当地销售办事处
- 应用工程师 (FAE)
- 技术支持

客户应联系其代理商、代表或应用工程师 (FAE) 寻求支持。当地销售办事处也可为客户提供帮助。本文档后附有销售办事处的联系方式。

也可通过<http://support.microchip.com>获得网上技术支持。

MCV18E

读者反馈表

我们努力为您提供最佳文档，以确保您能够成功使用 Microchip 产品。如果您对文档的组织、条理性、主题及其他有助于提高文档质量的方面有任何意见或建议，请填写本反馈表并传真给我公司 TRC 经理，传真号码为 86-21-5407-5066。

请填写以下信息，并从下面各方面提出您对本文档的意见。

致： TRC 经理 总页数 _____
关于： 读者反馈
发自： 姓名 _____
公司 _____
地址 _____
国家 / 省份 / 城市 / 邮编 _____
电话：(_____) _____ - _____ 传真：(_____) _____ - _____

应用 (选填)：

您希望收到回复吗？ 是 ___ 否 ___

器件： MCV18E 文献编号： DS41399A_CN

问题：

1. 本文档中哪些部分最有特色？

2. 本文档是否满足了您的软硬件开发要求？如何满足的？

3. 您认为本文档的组织结构便于理解吗？如果不便于理解，那么问题何在？

4. 您认为本文档应该添加哪些内容以改善其结构和主题？

5. 您认为本文档中可以删减哪些内容，而又不会影响整体使用效果？

6. 本文档中是否存在错误或误导信息？如果存在，请指出是什么信息及其具体页数。

7. 您认为本文档还有哪些方面有待改进？

产品标识体系

欲订货或获取价格、交货等信息，请与我公司生产厂或各销售办事处联系。

| | | | | |
|---|-----------------------|-----------------------|-----------------------|---|
| 器件编号 器件 | X 温度范围 | /XX 封装 | XXX 模式 | 示例: a) MCV18E - I/P = 工业级温度, PDIP 封装。 b) MCV18E - I/SO = 工业级温度, SOIC 封装。 |
| 器件: MCV18E 和 MCV18ET ⁽¹⁾ ; V _{DD} 范围为 2.0V 至 5.5V | | | | |
| 温度范围: I = -40°C 至 +85°C (工业级) | | | | 注 1: T = 卷带式, 仅限 SOIC 封装。 |
| 封装: SO = SOIC P = PDIP | | | | |

全球销售及服务中心

美洲

公司总部 **Corporate Office**
2355 West Chandler Blvd.
Chandler, AZ 85224-6199
Tel: 1-480-792-7200
Fax: 1-480-792-7277

技术支持:
<http://support.microchip.com>
网址: www.microchip.com

亚特兰大 Atlanta

Duluth, GA
Tel: 678-957-9614
Fax: 678-957-1455

波士顿 Boston

Westborough, MA
Tel: 1-774-760-0087
Fax: 1-774-760-0088

芝加哥 Chicago

Itasca, IL
Tel: 1-630-285-0071
Fax: 1-630-285-0075

克里夫兰 Cleveland

Independence, OH
Tel: 216-447-0464
Fax: 216-447-0643

达拉斯 Dallas

Addison, TX
Tel: 1-972-818-7423
Fax: 1-972-818-2924

底特律 Detroit

Farmington Hills, MI
Tel: 1-248-538-2250
Fax: 1-248-538-2260

科科莫 Kokomo

Kokomo, IN
Tel: 1-765-864-8360
Fax: 1-765-864-8387

洛杉矶 Los Angeles

Mission Viejo, CA
Tel: 1-949-462-9523
Fax: 1-949-462-9608

圣克拉拉 Santa Clara

Santa Clara, CA
Tel: 408-961-6444
Fax: 408-961-6445

加拿大多伦多 Toronto

Mississauga, Ontario,
Canada
Tel: 1-905-673-0699
Fax: 1-905-673-6509

亚太地区

亚太总部 Asia Pacific Office

Suites 3707-14, 37th Floor
Tower 6, The Gateway
Harbour City, Kowloon
Hong Kong
Tel: 852-2401-1200
Fax: 852-2401-3431

中国 - 北京

Tel: 86-10-8528-2100
Fax: 86-10-8528-2104

中国 - 成都

Tel: 86-28-8665-5511
Fax: 86-28-8665-7889

中国 - 香港特别行政区

Tel: 852-2401-1200
Fax: 852-2401-3431

中国 - 南京

Tel: 86-25-8473-2460
Fax: 86-25-8473-2470

中国 - 青岛

Tel: 86-532-8502-7355
Fax: 86-532-8502-7205

中国 - 上海

Tel: 86-21-5407-5533
Fax: 86-21-5407-5066

中国 - 沈阳

Tel: 86-24-2334-2829
Fax: 86-24-2334-2393

中国 - 深圳

Tel: 86-755-8203-2660
Fax: 86-755-8203-1760

中国 - 武汉

Tel: 86-27-5980-5300
Fax: 86-27-5980-5118

中国 - 厦门

Tel: 86-592-238-8138
Fax: 86-592-238-8130

中国 - 西安

Tel: 86-29-8833-7252
Fax: 86-29-8833-7256

中国 - 珠海

Tel: 86-756-321-0040
Fax: 86-756-321-0049

台湾地区 - 高雄

Tel: 886-7-536-4818
Fax: 886-7-536-4803

台湾地区 - 台北

Tel: 886-2-2500-6610
Fax: 886-2-2508-0102

台湾地区 - 新竹

Tel: 886-3-6578-300
Fax: 886-3-6578-370

亚太地区

澳大利亚 Australia - Sydney

Tel: 61-2-9868-6733
Fax: 61-2-9868-6755

印度 India - Bangalore

Tel: 91-80-3090-4444
Fax: 91-80-3090-4080

印度 India - New Delhi

Tel: 91-11-4160-8631
Fax: 91-11-4160-8632

印度 India - Pune

Tel: 91-20-2566-1512
Fax: 91-20-2566-1513

日本 Japan - Yokohama

Tel: 81-45-471-6166
Fax: 81-45-471-6122

韩国 Korea - Daegu

Tel: 82-53-744-4301
Fax: 82-53-744-4302

韩国 Korea - Seoul

Tel: 82-2-554-7200
Fax: 82-2-558-5932 或
82-2-558-5934

马来西亚 Malaysia - Kuala Lumpur

Tel: 60-3-6201-9857
Fax: 60-3-6201-9859

马来西亚 Malaysia - Penang

Tel: 60-4-227-8870
Fax: 60-4-227-4068

菲律宾 Philippines - Manila

Tel: 63-2-634-9065
Fax: 63-2-634-9069

新加坡 Singapore

Tel: 65-6334-8870
Fax: 65-6334-8850

泰国 Thailand - Bangkok

Tel: 66-2-694-1351
Fax: 66-2-694-1350

欧洲

奥地利 Austria - Wels

Tel: 43-7242-2244-39
Fax: 43-7242-2244-393

丹麦 Denmark - Copenhagen

Tel: 45-4450-2828
Fax: 45-4485-2829

法国 France - Paris

Tel: 33-1-69-53-63-20
Fax: 33-1-69-30-90-79

德国 Germany - Munich

Tel: 49-89-627-144-0
Fax: 49-89-627-144-44

意大利 Italy - Milan

Tel: 39-0331-742611
Fax: 39-0331-466781

荷兰 Netherlands - Druenen

Tel: 31-416-690399
Fax: 31-416-690340

西班牙 Spain - Madrid

Tel: 34-91-708-08-90
Fax: 34-91-708-08-91

英国 UK - Wokingham

Tel: 44-118-921-5869
Fax: 44-118-921-5820